

لهم اسْتَغْفِرُكَ





دانشکده مهندسی مکانیک

گروه حرارت و سیالات - تبدیل انرژی

بررسی مطالعه استفاده از روش آنالیز پینچ جهت صرفه جویی و کاهش صرف انرژی در کارخانه NGL400 شرکت ملی مناطق نفتخیز جنوب

غلامرضا قشوی (۸۹۰۳۶۲۴)

استاد راهنما:

دکتر محمود چهار طاقی

استاد مشاور دانشگاهی :

دکتر سالم بعنونی (دانشگاه شهید چمران اهواز)

پایان نامه جهت اخذ درجه کارشناسی ارشد

بهمن ۹۱

دانشگاه صنعتی شهرود

دانشکده : مهندسی مکانیک

گروه : مکانیک حرارت و سیالات - تبدیل انرژی

پایان نامه کارشناسی ارشد آقای غلامرضا قشوی

بررسی مطالعه استفاده از روش آنالیز پینچ جهت صرفه جویی و کاهش مصرف انرژی در کارخانه

NGL 400 شرکت ملی مناطق نفتخیز جنوب

در تاریخ توسط کمیته تخصصی زیر جهت اخذ مدرک کارشناسی ارشد مورد ارزیابی و با درجه مورد پذیرش قرار گرفت.

امضاء	اساتید مشاور	امضاء	اساتید راهنمای
	نام و نام خانوادگی : دکتر سالم بعنونی		نام و نام خانوادگی : دکتر محمود چهار طاقی

امضاء	نماينده تحصيلات تكميلي	امضاء	اساتيد داور
	نام و نام خانوادگی : دکتر علی سرور شته داری		نام و نام خانوادگی : دکتر محمود فرزانه گرد
			نام و نام خانوادگی : دکتر سيد مجيد هاشمييان
			نام و نام خانوادگی :
			نام و نام خانوادگی :

تعدیم:

تام تلاشکران

عرصه علم و صنعت ایران

ضمن تقدیر و تشکر از زحمات همیشگی پدر و مادرم و از حضور استاد راهنما و اساتید مشاور و مشاورین صنعتی جناب آقای مهندس سید حمید موسوی و جناب آقای مهندس ذوالفقاری، از کلیه عزیزان زیر که در انجام این کار به اینجانب یاری رساندند، کمال تشکر را دارم.

آقای مهندس رضایی

خانم مهندس بسطامی

خانم مهندس حسینی

تعهد نامه

- ۱ اینجانب غلامرضا قشونی دانشجوی دوره کارشناسی ارشد رشته مهندسی سیستم های انرژی

دانشکده مکانیک دانشگاه صنعتی شاهرود نویسنده پایان نامه مطالعه استفاده از روش آنالیز پیونج

جهت کاهش مصرف انرژی در کارخانه ۴۰۰ NGL شرکت ملی مناطق نفتخیز جنوب تحت

راهنمایی دکتر محمود چهار طاقی متعهد می شوم :

- تحقیقات در این پایان نامه توسط اینجانب انجام شده است و از صحت و اصالت برخوردار است .
- در استفاده از نتایج پژوهش‌های محققان دیگر به مرجع مورد استفاده استناد شده است .
- مطالب مندرج در پایان نامه تاکنون توسط خود یا فرد دیگری برای دریافت هیچ نوع مدرک یا امتیازی در هیچ جا ارائه نشده است .
- کلیه حقوق معنوی این اثر متعلق به دانشگاه صنعتی شاهرود می باشد و مقالات مستخرج با نام «دانشگاه صنعتی شاهرود » و یا « Shahrood University of Technology » به چاپ خواهد رسید .
- حقوق معنوی تمام افرادی که در به دست آمدن نتایج اصلی پایان نامه تأثیرگذار بوده اند در مقالات مستخرج از پایان نامه رعایت می گردد.
- در کلیه مراحل انجام این پایان نامه ، در مواردی که از موجود زنده (یا بافت‌های آنها) استفاده شده است ضوابط و اصول اخلاقی رعایت شده است .
- در کلیه مراحل انجام این پایان نامه، در مواردی که به حوزه اطلاعات شخصی افراد دسترسی یافته یا استفاده شده است اصل رازداری ، ضوابط و اصول اخلاق انسانی رعایت شده است .

تاریخ

امضای دانشجو

مالکیت نتایج و حق نشر

- کلیه حقوق معنوی این اثر و محصولات آن (مقالات مستخرج ، کتاب ، برنامه های رایانه ای ، نرم افزار ها و تجهیزات ساخته شده است) متعلق به دانشگاه صنعتی شاهرود می باشد . این مطلب باید به نحو مقتضی در تولیدات علمی مربوطه ذکر شود .
- استفاده از اطلاعات و نتایج موجود در پایان نامه بدون ذکر مرجع مجاز نمی باشد.



دانشکده مکانیک

پایان نامه کارشناسی ارشد

مطالعه استفاده از روش آنالیز پینچ جهت صرفه جویی و کاهش مصرف انرژی در کارخانه NGL 400 شرکت ملی مناطق نفتخیز جنوب

غلامرضا قشوئی (۸۹۰۳۶۲۴)

استاد راهنما:

دکتر چهار طاقی

استاد مشاور دانشگاهی :

دکتر بعنونی (دانشگاه شهید چمران اهواز)

بهمن ۹۱

چکیده :

حدود سه دهه است که کشور های صنعتی جهان ، استفاده از روش تکنولوژی پینچ را در طراحی سایت های کارخانه ها و شرکت هایی که مصرف انرژی حرارتی و سوختی بالایی دارند ، در دستور کار قرار داده اند. که البته در کشورهای جهان سوم نیز اقداماتی شده است ولی هنوز به جایگاه اصلی خود نرسیده است. با استفاده از این تکنولوژی نسبتاً نوین ، میزان مصرف انرژی را که به صورت یوتیلیتی های سرد و گرم مصرف می شود می توان به میزان چشمگیری کاهش داد.

این پروژه با استفاده از تکنولوژی پینچ (Pinch Technology) و بازیافت حرارت (Heat Recovery) توانست میزان مصرف انرژی از قبیل سوختی و الکتریکی را کاهش داده و هزینه های آلاینده ها نیز که نتیجه مصرف سوخت های فسیلی است کاهش چشمگیری داشته باشد. در این مطالعه ای امکان سنجی ، با استفاده از نرم افزار Aspen Plus به شبیه سازی سایت NGL 400 پرداخته و سپس با استفاده از نرم افزار Aspen Energy به استخراج داده ها از Aspen Plus و بررسی داده های استخراج شده جهت آنالیز پینچ پرداخته شد.

با مطالعه و بررسی انجام شده مشخص شد که در فرایند ها گرمای زیادی وجود دارد که هدر می رود و نیز گاز خروجی توربین گازی بدون استفاده به محیط زیست رها می شود. برای اینکه بتوان از گرما و سرمای موجود بهره کافی را برد، باید تا جای ممکن از انتقال حرارت فرایندی بجای انتقال حرارت یوتیلیتی بهره گرفت که با اصلاح شبکه ساختاری مبدل ها به این موضوع پرداخته شد.

در نهایت برای اینکه صرفه اقتصادی این کار مطالعاتی سنجیده شود، با توجه به صرفه جویی های انجام شده در بخش انرژی و مخارج و هزینه های طراحی مبدل های حرارتی، زمان بازگشت سرمایه انجام این پروژه محاسبه و بررسی شده است.

كلمات کلیدی :

تكنولوژی پینچ - نمودار ترکیبی - نمودار جامع - نمودار شبکه ای - زمان بازگشت سرمایه - مبدل حرارتی - یوتیلیتی سرد و گرم

Key Words :

pinch technology - composite curve – Grande Composit Curve – Grid Diagram – Payback Period – Heat Exchanger – Cold and Hot Utility

مقالات :

-1 مطالعه استفاده از روش آنالیز پینچ جهت کاهش مصرف انرژی در کارخانه

NGL 400 شرکت ملی مناطق نفتخیز جنوب

محمود چهار طاقی^{۱*} - غلامرضا قشوونی^{۲*} - سالم بعنونی - سید حمید موسوی - جواد ذوالفقاری

Study of using pinch analysis to decreasing energy consumption in NGL400 unit of NISOC

Mahmood Chahartaghi* -Gholamreza Ghoshooni * -Salem Banooni- Seyed Hamid
Mousavi - Javad zolfaghari

(Assistant prof of Energy Converntion* - MSC Engineering of Energy systems * - Assistant prof of
Energy Converntion – BSC of Chemical Process – MSC Economic of Energy)

Email : chahartaghi@iust.ac.ir - ¹
Email : mortymatlab65@gmail.com - ²

فهرست

۱	فصل اول
۱	آشنایی با فرایند کارخانه گاز و گاز مایع ۴۰۰
۲	۱-۱-مقدمه :
۴	۲-۱-فرآیند :
۴	۱-۲-۱: قسمت بازیابی NGL
۶	۱-۲-۲- عمل سرمایزایی در چیلرها :
۱۳	۱-۳-۲-۱- گاز غنی مرحله دوم :
۱۳	۱-۴-۲-۱- تقویت فشار مارون ۳ :
۱۳	۱-۵-۲-۱- گاز مارون ۴ :
۱۳	۱-۶-۲-۱- فرآیند گاز غنی مرحله دوم :
۱۴	۱-۷-۲-۱- برج متان زدایی :
۱۵	۱-۳-۱- محصول NGL :
۱۵	۱-۴- گاز خشک مرحله دوم :
۱۶	۱-۵- واحد تبرید :
۱۶	۱-۵-۱- واحد تبرید با مولد الکتریکی :
۱۷	۱-۵-۲- فرایند :
۱۷	۱-۶- واحد گلایکل:
۱۷	۱-۶-۱- کلیات :
۱۸	۱-۶-۲- فرایند تغليظ گلایکل :
۱۹	۱-۷- سیستم سوخت :
۱۹	۱-۸-۱- اهداف و کارهای انجام شده :
۱۹	۱-۸-۱- تاریخچه پیونج در ایران و جهان:
۲۲	۱-۸-۲- اقدامات انجام شده در این زمینه در ایران برای کارخانجات NGL

۱-۸-۳- اقدامات انجام شده در این زمینه در جهان برای کارخانجات NGL :	۲۳
۱-۴- اهداف و ضرورت های انجام این پروژه :	۲۳
۱-۵- وضعیت فعلی سایت که هدف است آن را بپرورد بخشد :	۲۴
۲۵ فصل دوم	۲۵
نحوه استخراج داده ها و انجام شبیه سازی نرم افزاری	۲۵
۱-۲- مقدمه :	۲۶
۲-۲- علل انجام این پروژه به صورت شبیه سازی :	۲۶
۲-۳- اولین مرحله اجرای شبیه سازی (داده برداری) :	۲۷
۲-۳-۱- داده برداری ها عبارتند از :	۲۸
۲-۴- مقدمه ای بر ASPEN Plus :	۲۹
۲-۴-۱- فرایند شبیه سازی در Aspen plus چیست؟	۲۹
۲-۴-۲- مراحل شبیه سازی یک فرایند در Aspen Plus :	۲۹
۲-۴-۳- معرفی اجزای مورد استفاده در شبیه سازی Aspen Plus :	۳۲
۲-۵- حالت فعلی سایت NGL400 و میزان مصرف انرژی آن در حال حاضر :	۳۴
۲-۶- معرفی نرم افزار Aspen B-Jac :	۳۶
۲-۶-۱- Aspen Hetran	۳۶
۲-۶-۲- Aspen Aerotran	۳۶
۲-۷- نتایج شبیه سازی :	۳۸
۳۹ فصل سوم	۳۹
۳۹- نتایج حاصل از انجام شبیه سازی و انجام آنالیز پینچ	۳۹
۳۹-۱- مقدمه :	۴۰
۳۹-۲- معرفی نرم افزار Aspen Energy Analyzer :	۴۰
۳۹-۳- معادلات حاکم بر نرم افزار :	۴۰
۳۹-۴- نحوه استخراج داده ها توسط Aspen Energy Analyzer :	۴۷
۳۹-۵- عملیات تکمیلی پس از استخراج داده ها :	۴۸

۵۶	۳-۵- آنالیز پینچ :
۶۷	۳-۶- محاسبات انرژی و اقتصادی و طراحی مبدل در نقطه پینچ :
۷۵	۳-۷- محاسبات انرژی بازیافت حرارت :
۷۵	۳-۱-۷- محاسبات مشعل گلایکول :
۷۹	۳-۲-۷- کمپرسورهای گاز غنی مرحله دوم (C-4407C) و (C-4407B) :
۸۶	۳-۳-۷- محاسبات پیش گرم کردن سوخت (گاز) ورودی توربین گاز C4407 :
۹۲	فصل چهارم
۹۲	۴-۱- مقدمه :
۹۳	۴-۲- استفاده از منابع انرژی و اثرات آن بر محیط زیست :
۹۳	۴-۳- برخی صدمات زیست محیطی استفاده از منابع انرژی تجدید ناپذیر:
۹۳	۴-۱-۳- نفت:
۹۴	۴-۲-۳- ۴- گاز طبیعی:
۹۵	۴-۴- تأثیر متقابل اقتصاد ، انرژی و محیط زیست :
۹۵	۴-۵- گردآوری مفاهیم مرتبط با هزینه های خارجی، اجتماعی و زیست محیطی:
۹۵	۴-۱-۵- مفهوم اثرات خارجی :
۹۶	۴-۲-۵- مفهوم اثرات خارجی منفی یا هزینه های خارجی بیرونی :
۹۶	۴-۳-۵- مفهوم هزینه های آشکار زیست محیطی :
۹۶	۴-۴-۵- مفهوم هزینه های سرمایه ای :
۹۶	۴-۵-۵- مفهوم هزینه های عملیاتی :
۹۶	۴-۶-۵- مفهوم هزینه های ضمنی زیست محیطی :
۹۷	۴-۷-۵- مفهوم هزینه های اجتماعی :
۹۷	۴-۶- محاسبات هزینه های آلینده ها :
۱۰۰	۴-۷- اقدامات پیشنهادی و بررسی شده در یک نگاه
۱۰۱	پیشنهادات

۱۰۲.....	پیوست ها
۱۰۳.....	مفاهیم و قوانین آنالیز پیونج
۱۴۱.....	فشار بخار پروپان در دماهای مختلف
۱۴۲.....	نمودار دانسیته هوا در دماهای مختلف
۱۴۳.....	آمار هوای شهر اهواز در سال ۸۹
۱۴۴.....	نتایج داده های شبیه سازی سایت NGL400 با اسپن پلاس (۱۰ صفحه)
۱۵۴.....	سایت NGL400 شبیه سازی شده با اسپن پلاس
۱۶۲.....	منابع
۱۶۵.....	چکیده انگلیسی

فهرست جداول :

جدول (۱-۲) : میزان مصرف انرژی در حالت اولیه سایت NGL 400	۳۵
جدول (۱-۳) : میزان هزینه ها در Δt_{min} های مختلف	۵۵
جدول (۲-۳) : لیست انواع مبدل طراحی شده به عنوان Second new به همراه قیمت مبدل	۶۹
جدول (۳-۳) : لیست انواع مبدل طراحی شده به عنوان First new به همراه قیمت مبدل	۷۱
جدول (۴-۳) : لیست انواع مبدل طراحی شده به عنوان third new به همراه قیمت مبدل	۷۳
جدول (۳-۵) : مشخصات گاز مصرفی مشعل های گلایکول	۷۶
جدول (۶-۳) : مشخصات فید ورودی و محصولات خروجی جوشاننده گلایکول	۷۷
جدول (۷-۳) : داده های جربان های ورودی به توربین گاز	۷۹
جدول (۸-۳) : مشخصات توربین ممیزی شده	۸۰
جدول (۹-۳) : لیست قیمت و انواع مبدل جهت بازیافت حرارت گاز خروجی توربین گاز	۸۶
جدول (۱۰-۳) : مبدل های پیشنهادی بازیافت حرارت گاز توربین برای پیش گرمایش گاز ورودی	۹۰
جدول (۱-۴) : هزینه های اجتماعی انواع سوخت های فسیلی در تولید برق بر حسب (centkwh)	۹۸
جدول (۴-۲) : جدول اقدامات پیشنهادی و بررسی شده در یک نگاه	۱۰۰

فهرست اشکال :

..... ۹ شکل (۱-۱) : نمای کلی سایت NGL
..... ۱۰ شکل (۲-۱) نمای شماره یک.....
..... ۱۱ شکل (۳-۱) نمای شماره دو.....
..... ۱۲ شکل (۴-۱) نمای شماره سه.....
..... ۳۱ شکل (۲-۱) نحوه انجام تنظیمات اولیه در شروع کار با برنامه Aspen Plus
..... ۴۷ شکل (۳-۱) : مراحل Extract کردن داده ها از Apen Plus
..... ۵۰ شکل (۲-۳) : جریان های فرایندی(Process Streams) در انرژی آنالیزر.....
..... ۵۱ شکل (۳-۳) جریان های یوتیلیتی(Utility Streams) در در انرژی آنالیزر.....
..... ۵۲ شکل (۴-۳) : نمودار CC جریان های سرد و گرم در حالت کار کرد فعلی سایت.....
..... ۵۲ شکل (۵-۳) : نمودار GCC جریان های سرد و گرم در حالت کار کرد فعلی سایت.....
..... ۵۳ شکل (۶-۳) : دمای نقطه پینج و انرژی هدف و سطح هدف در $\Delta t_{min} = 10^{\circ}\text{C}$
..... ۵۴ شکل (۷-۳) : نمایی از دیاگرام شبکه ای (Grid Diagram) سایت در حالت فعلی
..... ۵۵ شکل (۸-۳) : میزان جمع هزینه های انرژی و تجهیزات در Δt_{min} های مختلف.....
..... ۵۶ شکل (۹-۳) : دمای نقطه پینج و انرژی هدف و در $\Delta t_{min} = 9$
..... ۵۸ شکل (۱۰-۳) : نمودار شبکه ای و مشاهده Cross Pinch
..... ۵۹ شکل (۱۱-۳) : نمودار شبکه ای خط پینج و میزان انرژی عبوری از پینج.....
..... ۶۰ شکل (۱۲-۳) : سهم هر تجهیز در انتقال حرارت از نقطه پینج.....
..... ۶۱ شکل (۱۳-۳) : نمودار شبکه ای در بالای نقطه پینج.....
..... ۶۲ شکل (۱۴-۳) : نمودار شبکه ای اصلاح شده در بالای نقطه پینج.....
..... ۶۴ شکل (۱۵-۳) : نمایی از مبدل E4410 و new E4414 روی جریان 14-3 to 16-0 و نقطه پینج گرم...
..... ۶۴ شکل (۱۶-۳) : نمایی از مبدل E414 روی جریان kk to kk-1 و جریان سرد 41 to 41-00.....
..... ۶۶ شکل (۱۷-۳) : نمایی از مبدل Third New 60 to 60-0 روی جریان 41 to 41-00 و جریان سرد 60.....
..... ۶۶ شکل (۱۸-۳) : نمودار شبکه ای در حالتی که دیگر Cross Pinch وجود ندارد.....

۷۰Second New : دیتا شیت طراحی مبدل	شكل (۳-۱۹)
۷۲First New : دیتا شیت طراحی مبدل	شكل (۳-۲۰)
۷۴Third New : دیتا شیت طراحی مبدل	شكل (۳-۲۱)
۷۷ گلایکول : جوشاننده	شكل (۳-۲۲)
۷۹ (C-4407C) و (C-4407B) : کمپرسورهای گاز غنی مرحله دوم	شكل (۳-۲۳)
۸۵ گلایکول : مشعل استفاده از بجای جایگزین	شكل (۳-۲۴)
۹۱ گاز ورودی : پیش گرمایش مبدل طراحی شیت	شكل (۳-۲۵)

فصل اول

آشنایی با فرایند
کارخانه

گاز و گاز مایع ۴۰۰

۱-۱-مقدمه :

گاز طبیعی که از زیرزمین تا سرچشمه بالا آورده می شود کاملاً با گاز طبیعی مصرف کنندگان متفاوت است. اگرچه تصفیه گاز طبیعی در بسیاری از جنبه ها ساده‌تر از تصفیه و پالایش نفت

خام است، اما تصفیه آن قبل از استفاده توسط مصرف‌کنندگان، ضروری است. گاز طبیعی که توسط مصرف‌کنندگان استفاده می‌شود، بیشتر از متان تشکیل شده است. اگرچه گازی که در سرچشم می‌یافت می‌شود بیشتر ترکیبات آن متان است و نیاز به تصفیه زیادی ندارد. گاز طبیعی خام از سه نوع چاه استخراج می‌شود: چاه‌های نفت، چاه‌های گاز و چاه‌های متراکم.

گاز خروجی از چاه‌های گازی توسط خط لوله جریانی و شبکه جمع‌آوری، وارد منطقه تفکیک شده و در این تفکیک‌گرها، گاز، مایعات گازی و آب به صورت سه فاز از هم جدا می‌شود. گاز و مایعات گازی جدا شده توسط دو خط لوله معمولاً به کارخانه گاز و گاز مایع هدایت گردیده و آب جدا شده به سمت گودال سوخت (pit) جریان می‌یابد. گاز طبیعی که از چاه‌های گاز و متراکم می‌آید، که در آن هیچ نفت خامی وجود ندارد یا اگر وجود دارد بسیار اندک است و با نام «گاز همراه» شناخته می‌شود. چاه‌های گاز عموماً گاز طبیعی خام تولید می‌کنند در حالی که چاه‌های متراکم گاز طبیعی آزاد به همراه یک هیدروکربن نیمه مایع متراکم تولید می‌کنند. منبع گاز طبیعی هرچه که باشد، وقتی از نفت خام (در صورت وجود) جدا شد، معمولاً در ترکیب با دیگر هیدروکربن‌ها وجود دارد (عمدتاً اتان، پروپان، بوتان و پنتان). به علاوه، گاز طبیعی خام حاوی بخار آب، سولفید هیدروژن، دی‌اکسیدکربن، هلیوم، نیتروژن و دیگر اجزا است. تصفیه گاز طبیعی شامل جداسازی تمام هیدروکربن‌ها و مایعات مختلف از گاز طبیعی خالص است. به منظور تولید آن چه که گاز طبیعی خشک به کیفیت خطوط لوله نامیده می‌شود، خطوط لوله اصلی حمل و نقل اغلب مقرراتی دارند که براساس آن گاز طبیعی هنگام حمل و نقل با خطوط لوله باید ترکیبات و کیفیت خاصی داشته باشد. این بدین معناست که قبل از حمل و نقل، گاز طبیعی باید تصفیه شود یا این که در مراحل تصفیه و پالایش، اتان، پروپان، بوتان و پنتان باید از گاز طبیعی جدا شوند، اما این بدین معنا نیست که آن‌ها ضایعات هستند. در واقع، هیدروکربن‌های همراه که تحت عنوان «مایعات گاز طبیعی» شناخته می‌شوند (Natural Gas Liquids) NGL می‌توانند با محصولات حاصل از تصفیه گاز طبیعی بسیار

ارزشمند باشند. NGL ها شامل اتان، پروپان، بوتان، ایزو بوتان و بنزین طبیعی می باشند. این NGLها به طور جداگانه فروخته می شوند و مصارف متفاوتی دارند، مثل افزایش بازیافت نفت در چاه های نفت، فراهم آوردن مواد خام برای پالایشگاه های نفت یا نیروگاه های پتروشیمی به عنوان منابع انرژی.

در حالی که بعضی از اوقات تصفیه موردنیاز می تواند در سرچشمه یا نزدیکی آن (تصفیه حوزه) انجام شود، تصفیه کامل گاز طبیعی در یک نیروگاه تصفیه گاز طبیعی که معمولاً در منطقه تولیدی گاز طبیعی قرار دارد، انجام می شود.

عمل واقعی تصفیه گاز طبیعی به گاز طبیعی خشک، کیفیت خط لوله می تواند بسیار پیچیده باشد، اما معمولاً شامل چهار تصفیه اصلی است تا ناخالصی های مختلف از آن جدا بشود :

• از میان برداشت نفت و گاز متراکم

• از میان برداشت آب

• جداسازی مایعات گاز طبیعی

• از میان برداشت دی اکسید کربن و سولفور

علاوه بر چهار مرحله تصفیه بالا، هیترها و فیلترهایی معمولاً در سرچشمه یا در نزدیکی آن نصب می شوند. فیلتر ها در درجه اول برای برداشت شن و دیگر ناخالص های بزرگ به کار می روند. هیترها تضمین می کنند که درجه حرارت گاز زیاد پایین نیفتند. گاز طبیعی که حاوی حتی مقدادر بسیار کمی از آب باشد، هنگام افت درجه حرارت، هیدرات های گاز طبیعی در آن شکل می گیرند. این هیدرات ها دارای ترکیبات جامد یا نیمه جامدی می باشند که شبیه کریستال های یخ هستند. با شکل گیری هیدراتها در گاز طبیعی مانعی در راه، عبور گاز طبیعی از میان دریچه ها و سیستم های گردآوری ایجاد می شود. برای کاهش تشکیل هیدرات ها، واحدهای گرمایی با سوخت گاز طبیعی عموماً در امتداد خط لوله جمع آوری نصب می شوند. جایی که به نظر می رسد هیدرات ها ممکن است تشکیل شوند.

در این فصل به بررسی فرایند کارخانه گاز و گاز مایع و معرفی تجهیزات این کارخانه پرداخته می شود. برای اینکه بتوان به نتایج دلخواه در فصول بعد رسید باید به شناخت کافی از سایت و فرایند موجود پرداخت و با احاطه علمی بر فرایند تولید و نحوه کابرد و ترتیب تجهیزات به این مهم دست یافت.

۲-۱-۱- فرآیند کارخانه [1]: NGL400

فرآیند کارخانه گاز و گاز مایع ۴۰۰ همراه با کنترل عمومی آن در شکل شماره (۱-۱) در سه صفحه نشان داده شده است. کارخانه گاز و گاز مایع ۴۰۰ از دو بخش مرحله اول و دوم تشکیل شده است، که در هر مرحله گاز ورودی^۱ دارای مشخصات فیزیکی و شیمیایی متفاوتی است. در این فصل به بررسی فرایند در همین کارخانه پرداخته می شود.

۱-۱-۱- قسمت بازیابی NGL :

گاز مرحله اول:

به گاز های ورودی به کارخانه که حاوی انواع هیدروکربن های سبک و سنگین باشد و هنوز عملیات جداسازی NGL از آن صورت نگرفته باشد، گاز غنی^۲ می گویند و پس از اینکه عملیات جداسازی NGL از گاز غنی صورت گرفت به باقیمانده گاز، گاز ضعیف^۳ گفته می شود. گاز غنی مرحله اول با فشار bar 36 و درجه حرارت °C 66 ابتدا به مخزن V-4450 ظرف جداکننده ابتدایی^۴ وارد می شود. این ظرف برای جلوگیری از ورود مایعات نفتی همراه با گاز به داخل کارخانه طراحی شده است. گاز خروجی از V-4450 به جداکننده V-401^۵ فرستاده می شود.

Feed - ^۱
Rich gas - ^۲
Lean gas - ^۳
inlet separator - ^۴
inlet filter separator - ^۵

فیلترهای این ظرف از نوع «PECO FILTER» می باشد که قادر است علاوه بر مواد جامد همراه ذرات شن و ماسه، قطرات مایع را نیز از گاز جدا سازد. (در صورت ازدیاد افت فشار، فیلترها قابل تمیز کردن و یا تعویض می باشند).

گاز خروجی از V-401 پس از عبور از کولر هوایی E-401 با درجه حرارت 53.3°C به مبدل حرارتی E-402^۱ وارد می شود. گاز غنی مرحله اول در E-402 با گاز خشک مرحله اول تبادل حرارتی کرده و تا 31.6°C سرد می شود. از آنجاکه نقطه درجه حرارت هیدرات گاز مرحله اول 14.5°C می باشد خطر تشکیل هیدرات وجود ندارد و در نتیجه تزریق گلایکل ضروری نیست مگر در موارد لازم که تسهیلات آن موجود است.

درجه حرارت گاز خروجی از E-402 بوسیله کنترل کنار گذر گاز خشک صورت می گیرد. در این مرحله گاز غنی مرحله اول به جداکننده آب مرحله اول V-402^۲ وارد می شود. در این جداکننده تقریبا ۸۵٪ آب همراه با گاز غنی جدا شده با کنترل سطح مایع به گودال سوخت فرستاده می شود.

در طراحی قدیم، این ظرف بصورت یک جداکننده دو فاز عمل میکرده است. به این معنی که گاز و مایعات هیدروکربور آن با هم بقیه مسیر را طی میکرده اند. در جریان پژوهه «MOD» V-402 به یک جداکننده سه فاز تبدیل شده است. در این حالت مایعات هیدروکربور V-402 با کنترل سطح به ظرف جدید V-4451^۴ وارد می شوند که خود یک جداکننده سه فاز است.

Hot gas- gas exchanger - ^۱

WATER SEP - ^۲

- پژوهه ای است که پس از مدت چند سال از برداشت از مخازن مارون و افت فشار چاه ها جهت رفع افت فشار انجام گردید.

NGL-FLASH DRUM ^۴

مایعات ورودی در نتیجه افت فشار مقدار زیادی از گازهای سبک خود (C1, C2) را از دست می‌دهند. این گاز به گاز مرحله دوم ملحق شده و مایعات جمع شده به جوشاننده برج متان زدائی (E-409) فرستاده می‌شوند. آب جدا شده نیز با کنترل سطح تخلیه می‌شود (بسیار ناچیز).

گاز غنی از V-402 با درجه حرارت حرارت 32.6°C به مبدل حرارتی E-403^۱ وارد شده و بوسیله گاز خشک مرحله اول^۲ تا حرارت 7°C سرد می‌شود.

از آنجا که درجه حرارت 7°C کمتر از نقطه هیدرات گاز مرحله اول است تزریق گلایکل به گاز غنی ورودی ضروری می‌باشد. گلایکل پس از عبور از فیلتر بوسیله نازل‌هایی از جنس استینلس استیل بصورت یکنواخت در تمام قسمتهای گاز پخش می‌شود. نحوه تزریق گلایکل از اهمیت ویژه‌ای برخوردار است. برای مثال اگر گلایکل کاملاً پودر یا اتمیزه نشود بعلت جرم مخصوص بیشتر در لوله‌های مبدل حرارتی یکسان پخش نخواهد شد و این عمل خود باعث یخ‌زدگی در قسمت بالا خواهد شد که نتیجه آن افت فشار زیاد خواهد بود. گاز غنی از E-403 به چیلر^۳ E-404 وارد شده بوسیله تبخیر پروپان مایع در قسمت پوسته، به درجه حرارت 11°C می‌رسد. تزریق گلایکل در ابتدای ورود به چیلر نیز صورت می‌پذیرد. E-404 مستقیماً به مبدل حرارتی E-403 متصل شده است.

۱-۲-۲-۱ - عمل سرمایایی در چیلرهای :

Cold gas exchanger - ^۱

Shell Side - ^۲

First Stage – Gas Chiller - ^۳

چیلرها عموما از نوع کتری^۱ میباشند. پروپان مایع در قسمت پوسته بواسطه افت فشار و حرارت انتقالی از گاز غنی تبخیر شده، گرمای نهان تبخیر^۲ لازم توسط گاز غنی تأمین میشود. فضای اضافی قسمت پوسته این عمل را تسريع میکند.

عمل انتقال حرارت در چیلر با توجه به رابطه

$$(Q=h \cdot A \cdot \Delta T) \quad (1-1)$$

است که در آن

h : ضریب انتقال حرارت همرفتی

A : سطح انتقال حرارت بین سیال سرد و گرم در چیلر

ΔT : میزان اختلاف دمای بین ورودی و خروجی سیال سرد یا گرم

میباشد، بدست میآید. میزان انتقال حرارت انجام شده به h و ΔT بستگی دارد. با ثابت نگهداشت ΔT تنها راه اضافه کردن میزان انتقال حرارت افزایش h میباشد.

گاز غنی مرحله اول در آخرین مرحله فرآیند به دو جداکننده A/B V-403^۳ وارد میشود. عمل جداسازی در سه فاز صورت میگیرد، گاز خشک مرحله اول بعنوان عمدۀ محصول کارخانه، (فشار 33 bar درجه حرارت 50 °C) پس از عبور از E-403 و E-402 به شرکت گاز تحویل داده میشود.

NGL تولید شده در خنک کننده E-4403^۴ به درجه حرارت 17.7 °C میرسد و پس از افت فشار در شیر کنترلی که از کنترل کننده سطح NGL در V-403A/B دستور میگیرد، در

kettle - ¹
latent heat - ²
GLYCOL SEP - ³
NGL LIQUID COOLER - ⁴

27.2°C به مثابه خوراک سرد بالائی برج متان زدایی به سینی شماره ۶ برج وارد می‌شود.^۱

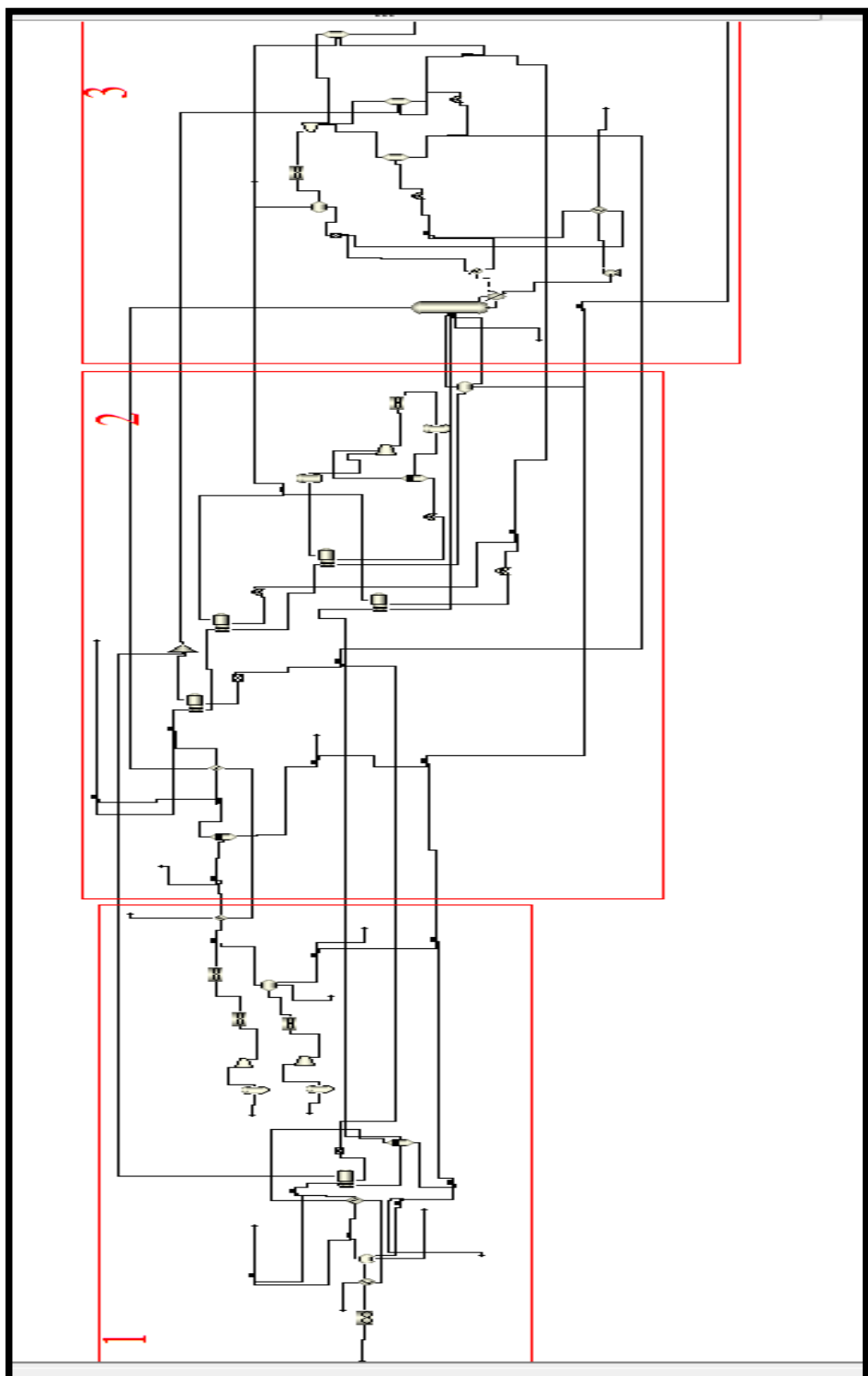
گلایکل جمع شده در جداکننده 403A/B- V با کنترل سطح مایع برای تغليظ به واحد گلایکل بازگردانده می‌شود.

شكل (۱-۱) نمای کلی سایت NGL400 را نشان می‌دهد که بخاربرگی سایت تصویر

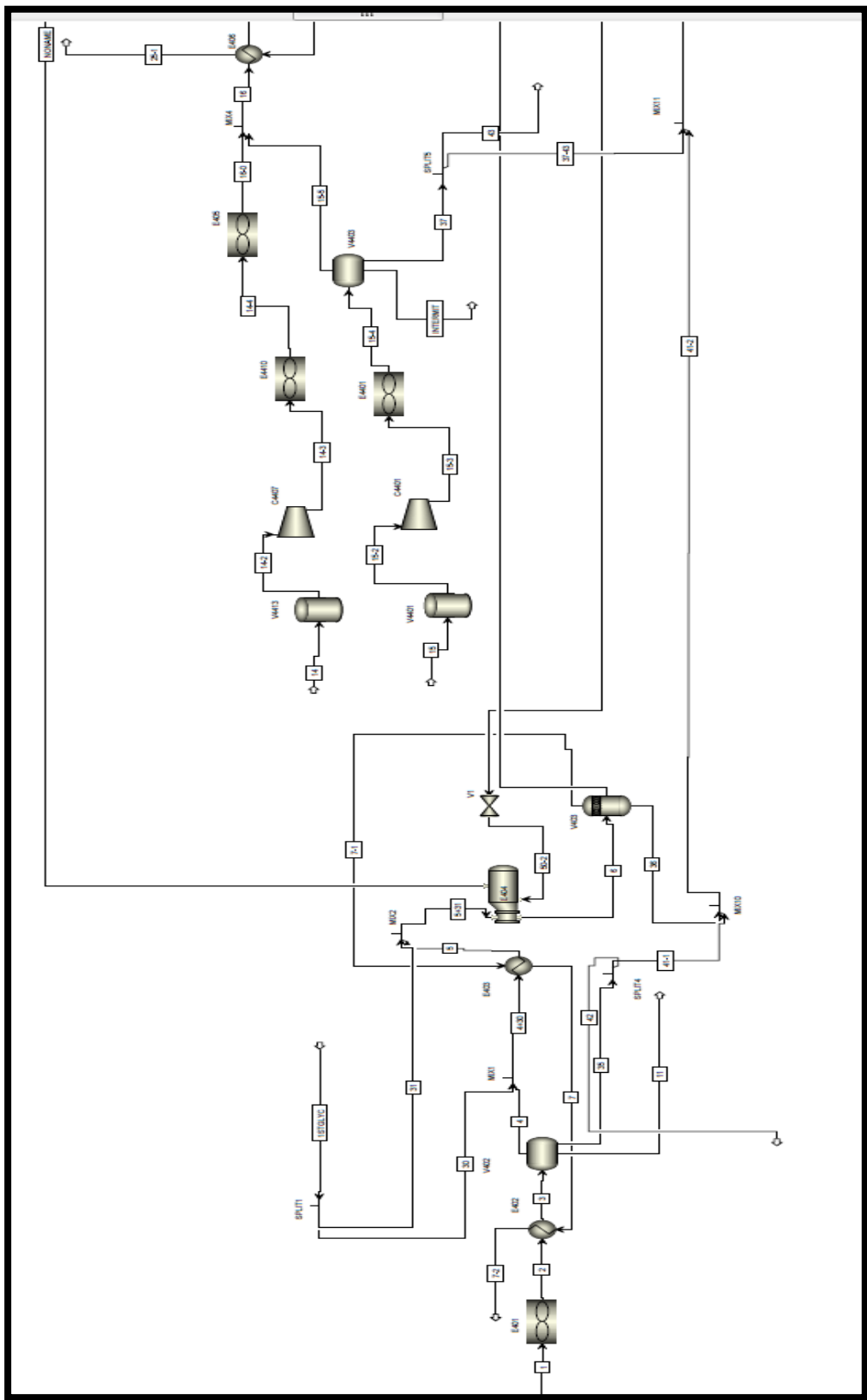
واضحی از تجهیزات و ترتیب آن‌ها مشخص نیست. به منظور مشاهده بهتر سایت، آن را به

سه ناحیه مختلف تقسیم نموده و هر کدام بصورت جداگانه نشان داده شده است.(شكل ۱ -

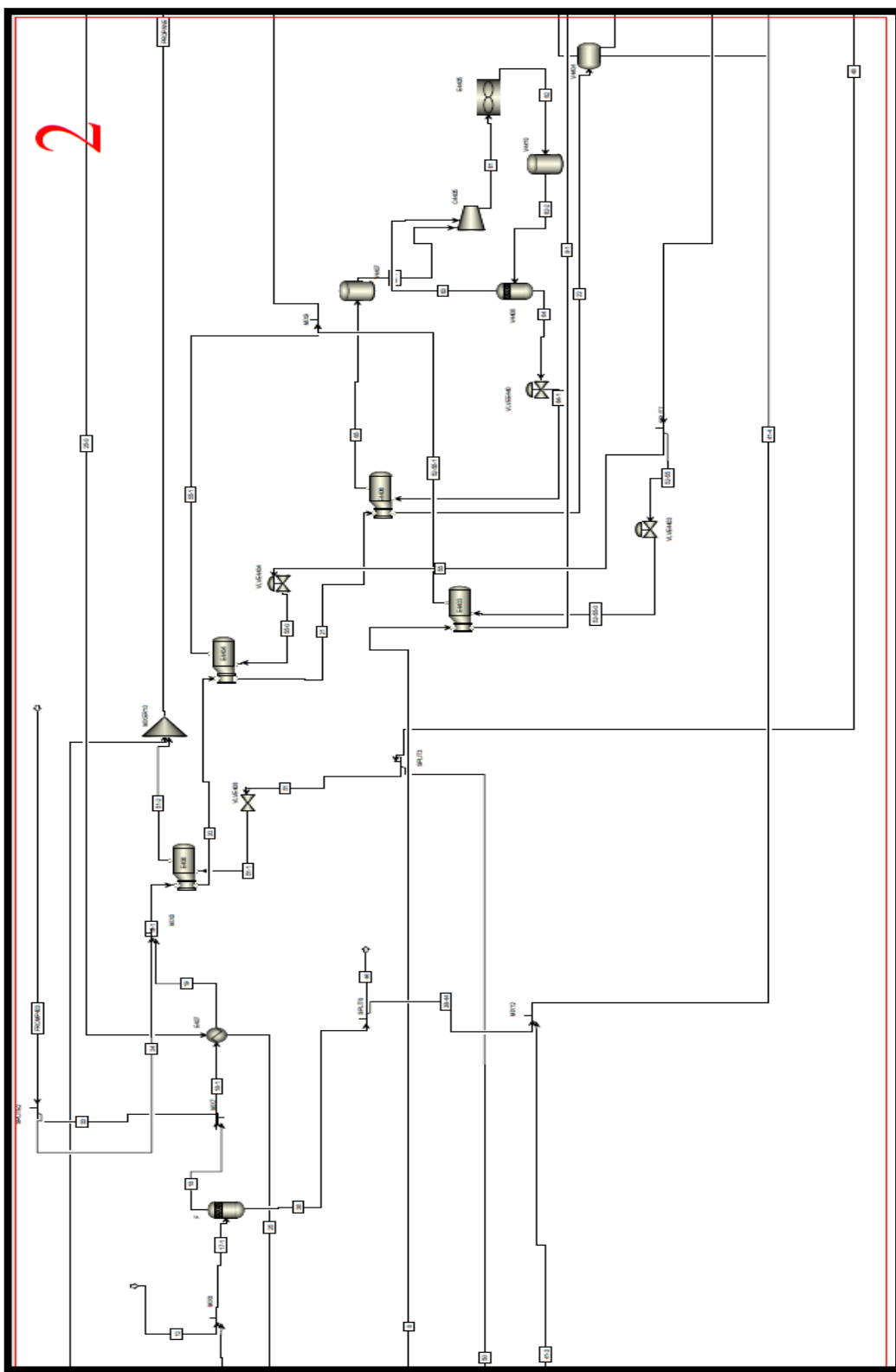
(۲) و (شکل ۱-۳) و شکل (۱-۴)



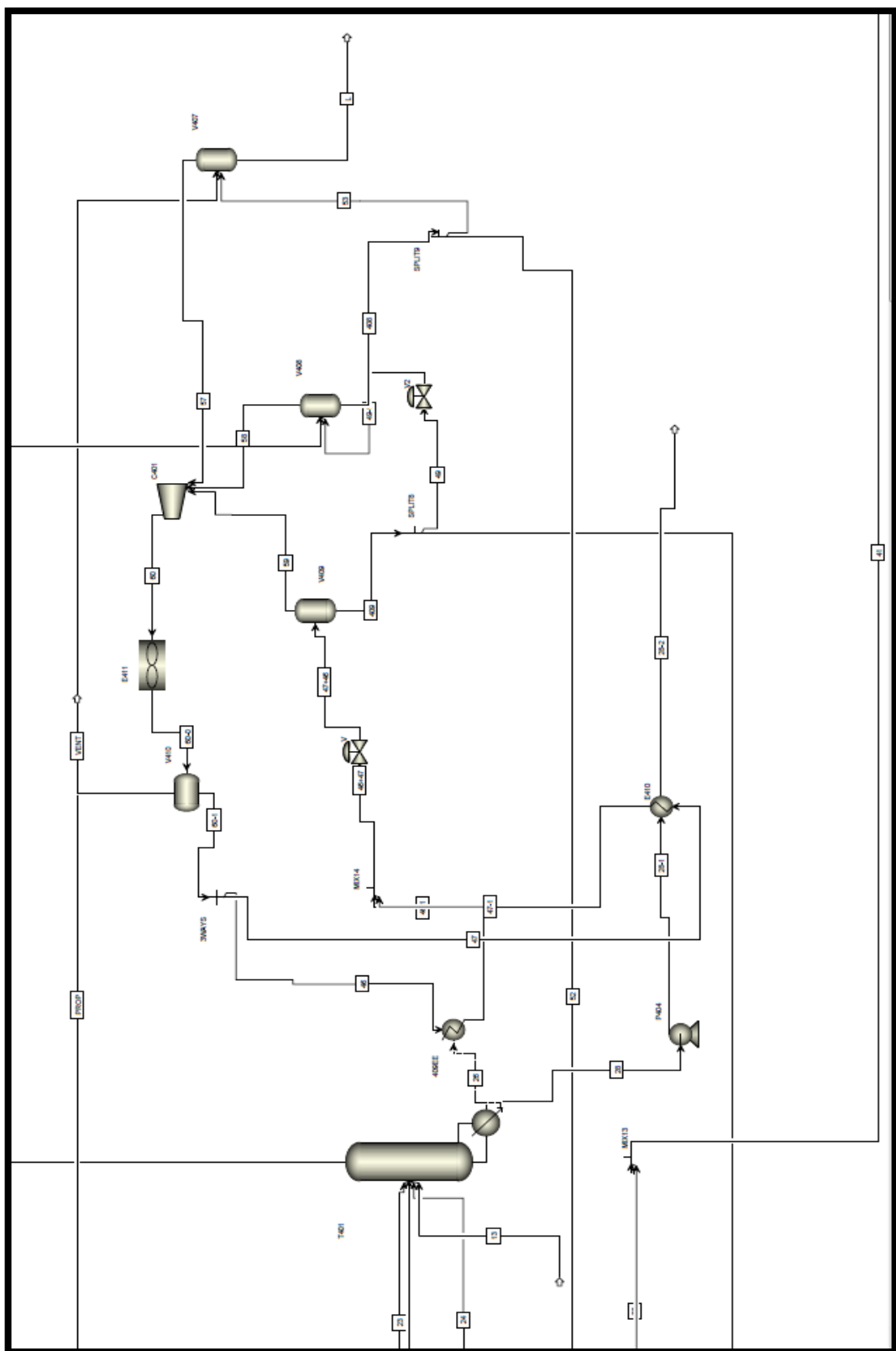
شکل (۱-۱) : نمای کلی سایت NGL400



شکل (۱-۲) سایت NGL 400 ناحیه شماره ۱



شكل (١-٣): سایت NGL 400 - ناحیه شماره ۲



۱-۲-۳- گاز غنی مرحله دوم :

منابع گاز غنی مرحله دوم عبارتند از : ۵۰ میلیون فوت مکعب گاز بهره برداری شماره ۳ و ۴۰ میلیون فوت مکعب گاز واحد بهره برداری شماره ۴.

فشار گاز مرحله دوم برابر است با فشار ۵.۸ bar درجه حرارت آن 62°C می باشد. لازم به ذکر است که فشار گاز در طراحی اولیه کارخانه ۱۶.۶ bar بوده است و در طراحی مجدد بجای تطبیق کارخانه با فشار جدید، گاز مرحله دوم توسط دو توربوفکمپرسور به فشار لازم ۱۶.۶ bar تقویت می شود. این عمل از کم شدن ظرفیت کارخانه به علت افزایش حجم گاز در نتیجه افت فشار جلوگیری می کند.

۱-۲-۴- تقویت فشار مارون ۳ :

تقویت فشار مارون ۳ توسط کمپرسور گازی سولار^۱ که به نوبه خود از سه توربین گازی نیرو می گیرند انجام می شود. هر سه کمپرسور دارای یک ظرف مکش مشترک می باشند. «V-4412» که از ورود مایعات همراه گاز به کمپرسور، جلوگیری می نماید. فشار خروجی کمپرسور برابر با ۶۵.۵ °C تا ۱۶.۶ bar می باشد. گاز خروجی از کمپرسورها در خنک کننده های هوایی E-4410 می باشد. خنک می شود.

۱-۲-۵- گاز مارون ۴ :

گاز مارون ۴ پس از تقویت فشار ۱۸.۷ bar از طریق خط لوله ای بطول تقریبی ۱۰ کیلومتر به کارخانه وارد شده و جهت جداسازی مایعات همراه به جدا کننده V-4403 فرستاده می شود. مایعات جمع شده به واحد بهره برداری شماره ۳ مارون فرستاده می شوند و گاز حاصل با گاز مرحله سوم مارون ۳ مخلوط شده و به پایین آمدن درجه حرارت آن کمک می نماید.

۱-۲-۶- فرآیند گاز غنی مرحله دوم :

گاز خروجی از E-4410 به جداکننده 404^۱ فرستاده می‌شود که عملی شبیه به 401^v انجام می‌دهد. گاز فیلتر شده خروجی از V-404 بوسیله کولر هوایی 405^E خنک شده و پس از آن با گاز مارون ^۴ مخلوط می‌شود.

مجموع گاز مرحله دوم با درجه حرارت 53°C در مبدل حرارتی E-406^۲ بوسیله گاز خشک مرحله دوم خنک شده، به ظرف جدا کننده آب مرحله دوم فرستاده می‌شود. درجه حرارت خروجی از E-406 توسط تغییر مقدار جریان کنار گذر گاز خشک مرحله دوم تنظیم می‌شود. برخلاف V-402^V یک جداکننده دوفاز است. آب جمع شده در این ظرف با کنترل سطح مایع جدا شده و مجموع گاز مایع و گاز مرحله دوم به مبدل حرارتی E-407^E فرستاده شده تا با دیگر بوسیله گاز خشک مرحله دوم خنک شود (27°C). در این مرحله تزریق گلایکل برای جلوگیری از یخزدگی باید صورت پذیرد. مبدل E-407 مستقیماً به اولین چیلر مرحله دوم E-408 متصل شده است که بوسیله تبخیر پروپان، گاز ورودی را تا 1.5°C - خنک می‌کند.

گاز مرحله دوم سرانجام در چیلر E-4404^۳ تا 28.8°C - خنک شده و به جداکننده گلایکل مرحله دوم V-4404^V فرستاده می‌شود.

تزریق گلایکل در ورودی هر دو چیلر ضروری است. گلایکل و آب جمع شده در V-4404 با کنترل سطح به واحد تغليظ گلایکل برگشت داده می‌شود. NGL خام مرحله دوم و گاز جدا شده در V-4404 به برج متان زدایی (سینی شماره ۳) فرستاده می‌شود.

۱-۲-۷- برج متان زدایی ^۳:

برج متان زدایی برجی است عمودی دارای ۶ سینی (طبقه) از نوع VALVE TRAY که از دو قسمت تحتانی جداکننده (استریپر)^۱ و قسمت فوقانی (یکسوکننده)^۲ تشکیل شده است.

2nd stage inlet filter sep - ^۱
2nd stage hot gas-gas exch - ^۲

T-401 DEMETHANIZER - ^۳

محصول قسمت فوقانی گاز خشک مرحله دوم است. خوراک اصلی برج مایع NGL مرحله دوم می‌باشد که روی سینی شماره ۳ می‌ریزد (28.3°C). مرحله اول (27.2°C) بعنوان خوراک سرد روی سینی شماره ۶ برج ریخته و بصورت جریان مایع برگشتی ^۳ عمل می‌کند.

متان و تا حدودی اتان موجود در مایع NGL مراحل اول و دوم در قسمت استریپر بوسیله بخارات تولید شده در جوشاننده برج E-409 جدا شده و NGL حاصل در ته برج به E-409 فرستاده می‌شود. گرمای لازم در جوشاننده از طریق پروپان خروجی از V-410 ^۴ با درجه حرارت 65.5°C تأمین می‌شود. بخارات حاصل در جوشاننده با درجه حرارت 15.5°C به پایین سینی شماره ۱ وارد می‌شوند.

۳-۱- محصول NGL :

محصول NGL از E-409 گرفته شده در دو مرحله بوسیله پمپ عمودی B&D به فشار 25 bar و سپس بوسیله P-404 A&C به فشار 92 bar تقویت می‌شود. سطح NGL در بوسیله شیر کنترل خروجی از پمپ کنترل می‌شود. در صورتیکه سطح مایع بالاتر برود مقداری از محصول به گودال سوخت فرستاده می‌شود. NGL با فشار بالا، در مبدل E-410 ^۵ که در قسمت تیوب ها جریان دارد با پروپان خروجی از V-410 تبادل حرارت کرده و بوسیله خط لوله به بندر ماہشهر منتقل می‌شود.

۴- گاز خشک مرحله دوم :

گاز خشک مرحله دوم پس از تبادل حرارت با گاز غنی در E-407 و E-406 از طریق خط لوله به ایستگاه تقویت فشار شرکت گاز تحويل می‌گردد. فشار گاز مرحله دوم و در نتیجه فشار برج

STRIPPER- ^۱

RECTIFIER ^۲

REFLUX - ^۳

REFRIGERANT ACC - ^۴

TUBE SIDE REFRIGERANT - ^۵

متان‌زدایی بوسیله PRC 412 کنترل می‌شوند که مازاد فشار را از طریق خط لوله ۲۰ اینچ به مشعل می‌فرستند (LOW PRESS FLARE) همچنین سوخت گازی مورد مصرف در کارخانه از طریق یک لوله ۳ اینچی به ظرف سوخت (FUEL GAS K.O. DRUM)V-411 منتقل می‌شود.

۱-۵- واحد تبرید^۱ :

واحد تبرید کارخانه گاز مایع ۴۰۰ از دو قسمت تشکیل یافته است :

- ۱- کمپرسورهای پروپان با مولد الکتریکی
- ۲- کمپرسورهای پروپان با مولد توربین گازی(این کمپرسورها در حال حاضر خارج از سرویس می‌باشد).

در هر دو سیستم پروپان نقش مبرد^۲ را داشته و هر یک سیستم بسته‌ای را تشکیل می‌دهند.

۱-۵-۱- واحد تبرید با مولد الکتریکی :

کمپرسورهای پروپان C-401 A,B,C از نوع گریز از مرکز دارای سه ظرف مکش و ۷ مرحله تقویت فشار می‌باشد. کمپرسور دارای یک مخزن روغن سه متر مکعبی مجهز به گرم‌کننده‌های برقی می‌باشد که در درجه حرارت کمتر از ۳۲ °C شروع بکار می‌کند. گردش روغن بوسیله پمپ اصلی روغن صورت می‌گیرد. در شرایط از کار افتادن پمپ اصلی، پمپ کمکی و در زمان قطع برق به مدت ۲ تا ۵ دقیقه پمپ اضطراری، روغن کمپرسور را به گردش در می‌آورد تا سیستم کاملاً بحالت ساکن درآید. انرژی لازم از طریق 240V, AC باتری‌های اضطراری تأمین شده بوسیله STATIC INVERTOR به برق تبدیل می‌گردد.

۲-۵- فرایند:

واحد تبرید با مولد الکتریکی مجموعاً ۵ مبرد را تغذیه می‌کند. گاز پروپان خروجی از کمپرسور با فشار 17.5 bar و درجه حرارت ۹۳ °C در E-411 مایع شده و به مخزن پروپان V-410^۱ وارد می‌شود. قسمتی از مایع پروپان V-410 از طریق یک شیر کنترل سه‌راهه به E-409 و قسمت دیگر به مبدل E-410 فرستاده شده، مجموع آن به ظرف مکش مرحله سوم V-409 ریخته که در نتیجه افت فشار و تبخیر قسمتی از پروپان تا ۱۰ °C خنک می‌شود.

سطح مایع در V-409 توسط تنظیم پروپان ورودی کنترل می‌شود. در صورت بالارفتن سطح پروپان، برای جلوگیری از ورود مایع، کمپرسورها از کار می‌افتدند. قسمتی از مایع V-409 مستقیماً به ظرف مکش مرحله دوم V-408 فرستاده می‌شوند. سطح مایعات جمع شده در V-408 توسط تنظیم مایع ورودی از V-409 کنترل می‌شود. پروپان مایع V-408 به مبردهای E-4403 و E-4404 رفته، بخارات حاصل به ظرف مکش مرحله اول V-407 فرستاده می‌شوند. گازهای حاصل در هر سه ظرف مکش به مراحل مربوطه خود در کمپرسور می‌روند.

۱-۶- واحد گلایکل:

۱-۶-۱- کلیات:

از آنجا که گاز غنی جهت آبگیری به درجه حرارتی پایین‌تر از نقطه هیدراتات^۲ آن می‌رسد، لازم است برای جلوگیری از یخ زدگی در اثر هیدراته شدن مولکول‌های گاز، نقطه تشکیل هیدرات آن پایین آورده شود. تحقق این هدف بوسیله تزریق محلول مشخصی از آب و گلایکل صورت

PROPANE ACC - ^۱
HYDRATE TEMP. - ^۲

می‌گیرد. از طرف دیگر محلول آب و گلایکل دارای نقطه یخ زدگی بسیار پایینی می‌باشد که سیستم را از خطر یخ زدگی مصون می‌دارد.

بهترین درصد گلایکل تزریقی ۷۵٪ می‌باشد که بصورت تجربی بدست آمده است. با خاطر قیمت نسبتاً زیاد گلایکل تزریق آن در یک سیستم بسته انجام می‌گیرد که بوسیله واحد تغليظ گلایکل مصرفی قابل بازیابی است.

۱-۶-۲- فرایند تغليظ گلایکل^۱ :

گلایکل غنی^۲ خروجی از جداکننده‌های گلایکل مراحل اول و دوم پس از عبور از دو صافی^۳ به قسمت تیوب مبدل حرارتی E-412 A,B وارد می‌شود و بوسیله گلایکل تزریقی (LEAN) گرم می‌شود. در این مرحله گلایکل غنی دو قسمت شده به واحدهای A و B (GLYCOL) فرستاده می‌شود. در این فرایند واحد B بررسی می‌شود. گلایکل غنی ورودی به واحد B ابتدا به لوله داخلی پنج مبدل حرارتی از نوع دولوله ای^۴ وارد شده بار دیگر بوسیله گلایکل خروجی از جوشاننده گرم می‌شود و سپس به جداکننده V-413XB وارد می‌شود. فشار طراحی جوشاننده ۰.۲ bar و درجه حرارت آن ۱۰۳ °C می‌باشد. گرمای لازم بوسیله سوخت گازی تامین می‌شود. سوخت ورودی از طریق مخزن سوخت V-411 پس از عبور از شیرهای تنظیم فشار REGULATOR با فشاری در حدود ۰.۷ bar به مشعل‌ها فرستاده می‌شود یک شاخه از این گاز به شعله راهنمای هدایت می‌شود. در صورتیکه شعله راهنمای خاموش شود سیستم سوخت بوسیله راهنمای شعله^۵ قطع می‌شود. کنترل درجه حرارت جوشاننده بوسیله کنترل کننده درجه حرارت، از طریق تغییرات مقدار سوخت صورت می‌پذیرد. گلایکل تغليظ شده پس از

GLYCOL RECONCENTRATION - ^۱

RICH GLYCOL - ^۲

STRAINER - ^۳

DOUBLE PIPE - ^۴

FLAME DIRECTOR - ^۵

تبدال حرارتی با گلایکل غنی در E-414XB به ظرف ذخیره V-414XB وارد می‌شود. برای جلوگیری از نفوذ اکسیژن به داخل ظرف از گاز سوخت بعنوان گاز پوششی^۱ استفاده می‌شود.

۷-۱- سیستم سوخت :

کارخانه دارای دو سیستم سوخت اصلی و کمکی می‌باشد. گاز سوخت مصرفی در واحدهای گلایکل و شعله‌های راهنمای گودال سوخت، از طریق سیستم اصلی سوخت^۲ و گاز سوخت مصرفی در تقویت فشار گاز مرحله دوم و سیستم تبرید با مولد توربین گازی از طریق سیستم کمکی^۳ تامین می‌شود.

فشار سیستم اصلی در 5bar کنترل می‌شود که از طریق گاز خشک مرحله دوم (در موقع اضطراری گاز غنی مرحله دوم) تامین می‌شود.

فشار سیستم کمکی در 12.5 bar کنترل می‌شود و بوسیله گاز خشک مرحله دوم و یا گاز غنی مرحله اول تامین می‌شود.

۸-۱- اهداف و کارهای انجام شده :

اکنون پس از آشنایی مختصر با فرایند سیکل به تاریخچه پینچ و کارهای انجام شده و اهداف مورد نظر در این مطالعه پرداخته می‌شود.

۸-۱-۱- تاریخچه پینچ در ایران و جهان:

پس از اینکه بحث آنالیز پینچ و منافع استفاده از آن توسط لینهف مطرح شد، بکارگیری این تکنولوژی روز به روز افزایش یافت و پژوهش‌های علمی و عملی زیادی در این راستا صورت گرفت.

BLANKET GAS - ^۱

FUEL GAS K.O. DRUM V-411 - ²

FUEL GAS K.O. DRUM V-4414 - ³

استفاده از آنالیز پینچ جهت بهینه سازی مصرف انرژی در پالایشگاه های نفت و گاز، شرکت های پتروشیمی، نیروگاه های بخار و گاز و تمامی کارخانجاتی که مصرف کننده انرژی های سوخت فسیلی و کارخانجاتی که با تولید حرارت و مصرف آن در ارتباط هستند قابل استفاده بوده و کارهای بسیاری هم در این زمینه ها در سطح دنیا انجام شده است.

در ایران نیز اقداماتی جهت کاهش مصرف انرژی و افزایش راندمان کارخانه ها با استفاده از آنالیز پینچ توسط تعدادی از کارشناسان و متخصصان این امر صورت پذیرفته است. بهینه کردن نیروگاه شازند اراک توسط پنجه شاهی (۲٪ افزایش راندمان و ۵٪ کاهش مصرف سوخت) از جمله اقدامات در این راستاست. [2] پنجه شاهی در این تحقیق نشان داده است که چگونه با بکارگیری تکنولوژی پینچ و استفاده از مفاهیم تحلیل اکسرژی در طراحی تأسیسات نیرو و با اضافه شدن چهار هیتر مطابق با نمودار جریانی واحد اصلاح شده با کاهش مصرف سوخت هر واحد نیروگاه به میزان ۵.۳۴٪ منجر گردید. کاهش ۴۲۴۰ مترمکعبی در مصرف سوخت، صرفه جویی قابل توجهی در هزینه های جاری نیروگاه ایجاد نموده است علاوه بر افزایش ۲.۱۱٪ در راندمان سیکل، آنچه بیش از همه می تواند در سیکل اصلاح شده نیروگاه حائز اهمیت باشد، کاهش بارحرارتی کندانسور به میزان ۱۸.۷ MW است که خود بیانگر افزایش کارایی برج خنک کن اصلی ورفع محدودیت تولید این نیروگاه در فصول گرم سال می باشد.

از دیگر کارهای انجام شده به بهینه سازی مصرف سوخت و تحلیل پینچ - اکسرژی در برج های تقطیر توسط روح الله آذرنوش و فرهاد شهرکی می توان اشاره نمود. شهرکی در تحقیق انجام شده توسط خود بیان می کند که با بهینه سازی و اصلاح نسبت برگشتی در برج ها و با تغییر در شرایط خوراک (دما و ورودی فید به برج) و همچنین با استفاده از پمپ می توان به میزان مطلوبی میزان مصرف انرژی را کاهش داد. [3]

محمد رضا جعفری نصر همچنین با توسعه روش ترکیبی تکنولوژی پینج و فن آوری افزایش انتقال حرارت در مرحله هدفگذاری اصلاح شبکه مبدل‌های حرارتی و با استفاده از نرم‌افزار تدوین شده PINCH-HTE، تاثیر استفاده از روش ترکیبی فوق بر کاهش سطح انتقال حرارت نقطه هدف، در پروژه اصلاح شبکه مبدل حرارتی پیش گرمکن برج تقطیر اتمسفریک پالایشگاه تهران را مورد بررسی قرار داده است. که البته علاوه بر اصلاح شبکه ای مبدل‌ها با بکارگیری یک وسیله افزاینده (یک نوع تیوب فین‌دار خاص) باعث کاهش سطح انتقال حرارت به میزان ۹٪ شده است. [4]

پرویز شیروانی به کمک سپهر صنایع با بررسی کاربرد روش بهینه سازی پینج در نیروگاه بخار، عملکرد نیروگاه بخار شهید منظر قائم و ویسکانسین را مورد ارزیابی قرار داده‌اند. از آنجا که کاربرد تحلیل سیکل در هر دو نیروگاه ذکر شده است نتایج یکسانی حاصل گردیده است. در این تحقیق با استفاده از این روش در نیروگاه‌های سیکل ترکیبی همزمان با طراحی، یا برای نیروگاه در حال فعالیت، روش گزینه‌ای برای افزایش راندمان معرفی می‌نماید. عنوان نمونه کاربرد روش در یک نمونه نیروگاه سیکل ترکیبی افزایش راندمانی معادل ۰.۸۲٪ بهمراه داشته است. [5]

رقیه لطفی و فرناز سنندجی در یک مورد مطالعاتی برروی نیروگاه حرارتی تبریز با کاربرد آنالیز ترکیبی پینج و اکسرژی در مورد افزایش توان نیروگاه تحقیق و بررسی کردند. در این پژوهش علاوه بر ترکیب پینج و اکسرژی، فشار زیرکش توربین‌ها به عنوان یک متغیر موثر جهت افزایش توان نیروگاهها معرفی شده است. در این تحقیق مشخص شد که کاهش فشار زیرکش‌ها نسبت به حالت مبنا منجر به کاهش اتلاف اکسرژی در پیش گرمکن‌ها می‌شود که نتیجه این بهینه سازی افزایش توان تولیدی و کاهش مصرف سوخت می‌گردد. [6]

۱-۸-۲- اقدامات انجام شده در این زمینه در ایران برای کارخانجات :

NGL

تاکنون در ایران هیچ اقدامی در راستای کاهش مصرف انرژی با استفاده از تکنولوژی پینج در کارخانجات گاز و گاز مایع صورت نگرفته است.

اما مهدی مهر پویا و همکارانش با هدف بهینه سازی مصرف انرژی در شرکت NGL1300 به موفقیت هایی دست یافته‌اند. واحد NGL1300 در بی بی حکیمه استان خوزستان واقع شده است. این واحد به منظور بازیافت ۱۸۰۰ تن NGL شیرین در روز از ۱۸۰ میلیون استاندارد فوت مکعب گاز ترش جمع آوری شده در روز و ۴۵۰۰ بشکه مایع ترش حاصله از چاههای نفت منطقه بی بی حکیمه طراحی شده است. پس از مطالعات و بررسی‌های انجام شده بر فرایندهای مختلف واحدهای بازیافت NGL 1300 به وسیله نرم افزار HYSYS شبیه سازی و نتایج حاصل با داده‌های واقعی مقایسه شد. سپس رفتار فرایند نسبت به تغییرات عوامل موثر در عملکرد واحد بررسی شد. بدین وسیله قسمت‌هایی از فرایند که از نظر عملیاتی و ساختاری دچار مشکل بودند و یا به عبارت دیگر بهبود آن امکان پذیر بود شناسایی شدند. برای بهینه سازی واحد بازیافت NGL تابع هدفی از جنس سود تعریف شد. بهینه سازی در دو حالت مختلف، بدون اعمال تغییرات ساختاری و با اعمال تغییرات ساختاری در فرایند انجام شد. روش بهینه‌سازی استفاده از تکنیک الگوریتم ژنتیک بوده است. در نهایت با اعمال شرایط بهینه در حالتی که فرایند، بدون اعمال تغییرات ساختاری بهینه شده بود مقدار سود حاصله ۱۴ درصد افزایش پیدا کرد. با اعمال شرایط بهینه در حالتی که فرایند با اعمال تغییرات ساختاری بهینه شده بود مقدار سود ۲۸ درصد افزایش پیدا کرد [7].

۱-۸-۳- اقدامات انجام شده در این زمینه در جهان برای کارخانجات :

NGL

برای افزایش بازده سایت و کاهش مصرف انرژی و پایین آوردن هزینه های عملیاتی در کارخانه جداسازی گاز طبیعی در کشور تایلند، از روش آنالیز پینچ استفاده شد که آقای supason و همکارانش توانستند اقدامات مفیدی را انجام دهند. در این پروژه با اصلاح شبکه ساختاری مبدل ها، مشخص شد که تعداد ۵ هیتر در پایین نقطه پینچ قرار گرفته است که خلاف قوانین پینچ بوده است. با رفع این مشکل و اصلاح قرارگیری آنها میزان موفقیت در کاهش مصرف انرژی به میزان ۲۷,۵٪ برای یوتیلیتی های گرم و ۷,۴۶٪ برای یوتیلیتی سرد بوده است. این صرفه جویی بدون نیاز به افزودن هیچ مبدلی صورت گرفت. در پروژه های retrofit زمان برگشت سرمایه برای ابزارهای جدید اضافه شده محاسبه می گردد که در این پروژه نتایج نشان داده است که زمان برگشت سرمایه حدود ۳ سال است.^[8]

۱-۸-۴- اهداف و ضرورت های انجام این پروژه :

شرکت ملی مناطق نفتخیز جنوب، بزرگترین شرکت تولید کننده نفت و گاز کشور محسوب می شود و با توجه به تعداد و تنوع کارخانجات آن، خود یکی از مصرف کننده های عمده انرژی کشور می باشد. از جمله کارخانجات پر مصرف و انرژی بر، کارخانجات گاز و گاز مایع می باشد که با توجه به نوع فرایند و تجهیزات آن، پتانسیل صرفه جویی انرژی زیادی دارد که صرفه جویی مصرف انرژی در کارخانجات مذکور را با اهمیت می نماید.

با توجه به واقعی ترشدن قیمت حامل های انرژی، کاهش هزینه های عملیاتی از جمله هزینه های مصرف انرژی کارخانجات پر مصرف و انرژی بر، دارای ارزش اقتصادی بالایی است. طبق برآورد، با استفاده از تکنولوژی پینچ در کارخانجات مذکور و با توجه به میزان اتلاف انرژی در سیکل مورد نظر، امید بدان است که بتوان تا حد قابل قبولی در مصرف سوخت آن صرفه جویی کرده

و از طرف دیگر آلودگی زیست محیطی ناشی از مصرف را انرژی را کاهش داد که خود باعث کاهش هزینه‌های آلاینده نیز می‌شود.

۱-۸-۵- وضعیت فعلی سایت که هدف است آن را بهبود بخشید:

۱- سایت دارای یک توربین گاز است که دود خروجی با دمای بالا بدون استفاده وارد محیط می‌شود.

۲- اصلاح شبکه ساختاری مبدل‌ها که با تکمیل داده برداری باید بررسی شود که آیا اکنون در حالت مناسبی قرار دارد یا باید تغییر کند.

فصل دوم

**نحوه استخراج داده ها و انجام
 شبیه سازی نرم افزاری**

۱-۲- مقدمه:

در روند اجرای پروژه، یکی از مراحل بسیار مهم و تاثیرگذار که زمان زیادی هم به خود اختصاص داد استخراج داده‌ها از منابع مختلف و اجرای شبیه‌سازی با نرم‌افزار **Aspen Plus** بود که در این فصل به نحوه اجرای آن پرداخته می‌شود.

۲-۲- علل انجام این پروژه به صورت شبیه‌سازی :

شاید در ابتدا این سوال مطرح باشد که هدف اصلی از شبیه‌سازی فرایند با این نرم افزار چه بوده است؟

جهت روشن شدن پاسخ این سوال ابتدا باید به این نکته اشاره کرد که شبیه‌سازی به شما اجازه پیش‌بینی رفتار یک فرایند را به وسیله روابط پایه‌ای از قبیل موازنۀ جرم و انرژی، معادلات حالت و شیمیایی می‌دهد. می‌توان با استفاده از داده‌های ترمودینامیکی قابل اطمینان، شرایط عملیاتی واقعی و تجهیزات، رفتار واقعی را شبیه‌سازی نمود. فرایند شبیه‌سازی شده به کاربر اجازه اجرا واحد، تجزیه و تحلیل، مطالعه حساسیت و بهینه سازی را می‌دهد. با استفاده از شبیه‌سازی می‌توان در جهت سوددهی بهتر، فرایند را طراحی کرد.[9]

مواد شیمیایی هیدروکربنی که به عنوان سیال ورودی (Feed) و یا محصولات این فرایند (Product) می‌باشند، در دمایا و فشارهای مختلف، خصوصیات فیزیکی آن‌ها نظیر چگالی و ظرفیت حرارتی ویژه تغییر می‌کند، که در جواب نهایی و نحوه محاسبات مربوط به بخش انرژی و نهایتاً محاسبات اقتصادی تاثیر زیادی می‌گذارد. ولی از آنجاکه این نرم افزار کتابخانه بسیار کاملی از خصوصیات مواد هیدروکربنی و آلی و معدنی دارد در تمام دمایا و فشارها می‌تواند با دقیق‌ترین معادلات حالت، خصوصیات فیزیکی این مواد را در محاسبات در نظر بگیرد و با رسم دقیق نمودار آن خصوصیت برای ماده دلخواه در شرایط مختلف، نحوه تغییر رفتار آن را در اختیار کاربر قرار دهد.

اما هدف اصلی از انجام شبیه‌سازی این است علاوه بر اینکه تمام مواد با تغییر دما خصوصیاتشان تغییر پیدا می‌کند مشکل مهمتر این است که سیال‌های ورودی به مبدل یا فیلترها و یا مخازن (feed) و سیال‌های خروجی از آن‌ها (product) عموماً ترکیبی از ۱۵ ماده مختلف با چگالی‌ها و آنتالپی‌ها و ظرفیت‌حرارتی مختلف می‌باشند که بدست آوردن بار حرارتی این مخلوط بسیار سخت است ولی نرم افزار Aspen plus می‌تواند ترکیب‌های مختلفی را از نظر فیزیکی و شیمیایی تحلیل نماید.

از دیگر علل استفاده از شبیه‌سازی نرم‌افزار اسپن پلاس این است که برنامه شبیه‌سازی شده Aspen Energy Analyzer که محصول همان شرکت Aspen است، قابل خواندن می‌باشد و می‌تواند از داده‌ها خروجی گرفته و نمودار شبکه‌ای (Diagram) را رسم نماید که با بهترین دقیقت این کار را انجام می‌دهد. رسم نمودار شبکه‌ای سیال‌هایی که ترکیبی از مواد مختلفی هستند به صورت دستی کاری مشکل، طاقت فرسا و پرخطا می‌باشد.

۳-۲- اولین مرحله اجرای شبیه سازی (داده برداری) :

اولین مرحله در اجرای شبیه سازی داده برداری از سایت مورد نظر بود. مشکلاتی که کار داده برداری از سایت را سخت می‌کرد عبارتند از :

۱- تغییر شرایط کارکرد کارخانه در طول سالیان بهره‌برداری :

مخازن منطقه مارون اهواز در طی سالیان دراز بهره‌برداری باعث شده تا فشار کاری این مخازن و میزان استخراج نفت و گاز از این مخازن کاهش یابد که این سبب شده است برخی از اطلاعات در دسترس مربوط به شرایط فعلی نباشد و در واقع داده‌های نقشه‌های PFD با حالت عملیاتی سازگاری کامل ندارد.

- ۲- در دسترس نبودن اطلاعات کاملاً صحیح از برخی پارامترهای مهم و نبود نقشه و PFD
- های درست و نبود اطلاعات از میزان دبی و فشار و دمای سیال برخی نقاط سایت
- ۳- فرسوده شدن اسناد قدیمی به مرور زمان و غیر قابل استفاده بودن
- ۴- تغییر شرایط کاری در روزهای مختلف و بر اساس نیاز کارخانه‌ها
- ۵- محرومانه بودن بسیاری از اطلاعات و انجام مکاتبات اداری جهت در اختیار قرار دادن
- این اطلاعات به پژوهشگر
- ۶- به خاطر عدم احاطه کامل بر موضوع در ابتدای امر توسط اینجانب، گاهی در مسیر شبیه سازی پی برده می‌شد که تمام اطلاعات مورد نیاز جمع آوری نشده است و اطلاعات کافی نمی‌باشند که مجدداً برای دریافت اطلاعات به واحد مربوطه مراجعه به عمل می‌آمد.

۱-۳-۲- داده‌برداری‌ها عبارتند از :

۱-۱-۳-۲- داده‌های جریانی :

الف) اطلاعات ترکیبات تشکیل دهنده سیال‌های ورودی و خروجی هر جریان

ب) دما، فشار، حالت فازی (مایع یا گاز) و درصد جرمی و مولی ترکیبات

۲-۱-۳-۲- داده‌های تجهیزات موجود :

الف) انواع کولر هوایی، نوع فین‌های لوله‌های آن، ظرفیت حرارتی کولر و تعداد کولرهای در مسیر جریان

ب) مبدل‌های حرارتی پوسته و لوله، تعداد آن‌ها و ظرفیت حرارتی آن‌ها

ج) انواع فیلترها و دمای کارکرد آن‌ها

د) مشخصات کمپرسورهای توربینی و میزان مصرف گاز در آن‌ها

ه) مشخصات کمپرسور برقی و میزان مصرف انرژی توسط آن

و) مشعل‌های گلایکول جهت جوشش و تغليظ گلایکول

(داده‌های استخراج شده در فایل اسپن پلاس شبیه‌سازی شده موجود می‌باشد و عکس‌های برنامه شبیه‌سازی شده نیز در ابتدای فصل اول اضافه شده است.)

پس از داده‌برداری‌های لازم نوبت به مرحله شبیه‌سازی می‌رسد.

۴-۲- مقدمه‌ای بر **ASPEN Plus**

Aspen Plus یک سیستم فرآگیر جهت طراحی، اجرا و شبیه‌سازی فرایند‌های شیمیایی است. در این بخش سعی برآن است که هم به بخشی از توانایی‌ها و کاربردهای این نرم افزار پرداخته شده و هم نحوه اجرای برنامه‌ی شبیه‌سازی انجام شده این پروژه مختصراً توضیح داده شود.

[9]

۴-۱- فرایند شبیه‌سازی در **Aspen plus** چیست؟

یک فرایند شامل اجزایی است که در واحد‌های عملیاتی، مخلوط، جداسازی، گرم و سرد و تبدیل می‌شوند. این اجزا از طریق خطوط جریان بین تجهیزات جابجا می‌شوند.

۴-۲- مراحل شبیه‌سازی یک فرایند در **Aspen Plus**

الف) توصیف ساختار صفحه جریان : برای توصیف این مرحله باید :

• واحدهای عملیاتی را توصیف کرد .

• خطوط فرایند بین واحدهای عملیاتی را توصیف کرد .

• انتخاب مدل عملیاتی از کتابخانه Aspen

ب) توصیف خواص شیمیایی در فرایند، که می‌توان مواد را از بانک داده‌های Aspen گرفت و یا آن‌ها را تعریف نمود.

ج) انتخاب مدل‌های ترمودینامیکی قابل دسترس در Aspen که محاسبات مخلوط اجزا در فرایند را در اختیار قرار می‌دهد.

د) تعیین دبی جریان اجزا و شرایط ترمودینامیکی خطوط خوراک در فرایند

ه) تعیین شرایط عملیاتی برای واحدهای عملیاتی در صفحه جریان

وقتی این خواص تعریف گردید می‌توان مدل فرایند خود را شبیه‌سازی نمود. می‌توان با استفاده از مدل‌های شبیه‌سازی Aspen plus رفتار فرایند خود را پیش‌بینی کرد.

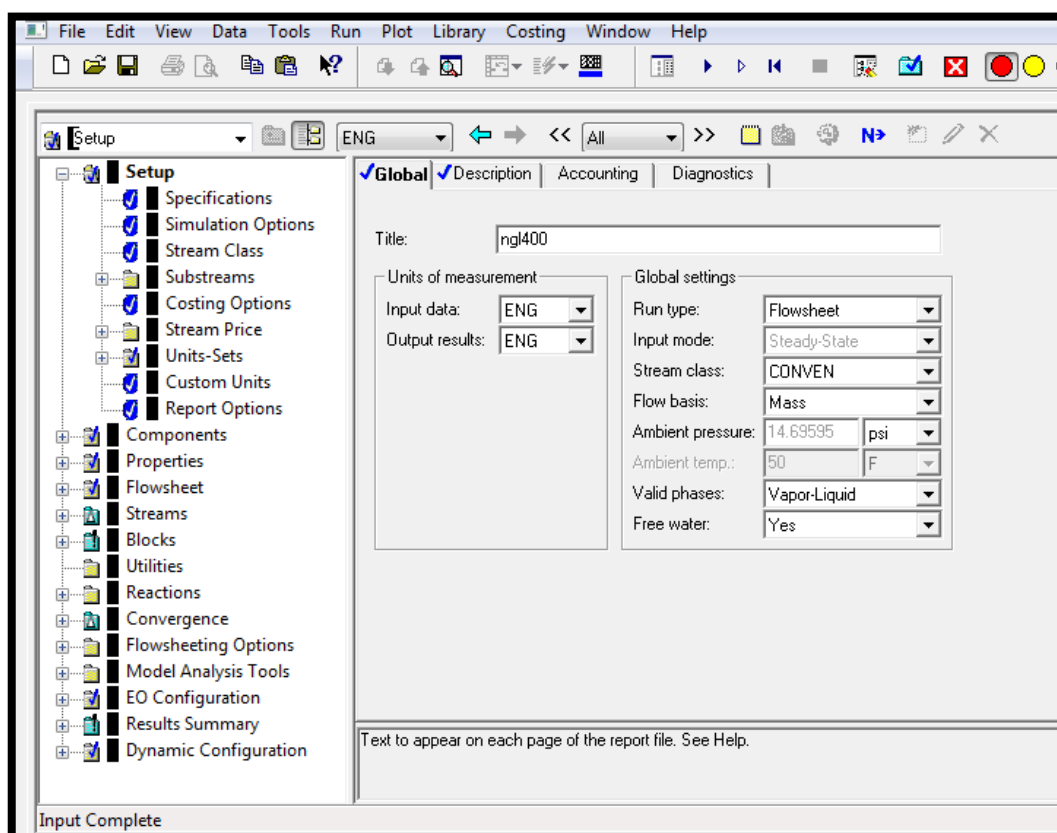
در مجموع برای فرایند شبیه‌سازی، کارهایی از قبیل تخمین و پیش‌بینی خواص فیزیکی، نمودارهای مختلف، جداول خروجی و داده‌های مناسب جهت شبیه‌سازی مدل، تخمین هزینه واحد، بهینه‌سازی فرایند و نتایج را به صورت صفحات گسترده در اختیار کاربر قرار می‌دهد.

تنظیمات اولیه‌ای که برای این پروژه در نظر گرفته شده است در شکل (۱-۲) قابل مشاهده است .

در این قسمت بیان می‌شود که چگونه می‌توان برنامه شبیه‌سازی شده را اجرا کرد و اینکه با تغییر یک پارامتر جواب‌های جدید را مشاهده نمود.

فرض می‌شود که برنامه Aspen plus را اجرا نموده و برنامه شبیه‌سازی شده اکنون باز می‌باشد. هر یک از خطوط جریان به صورت خطوط پیکان‌دار مشاهده می‌شوند. اگر فلوشیت به صورت PFD تنظیم شده باشد نتایج داده‌ها (دما و فشار) درون کادری بر روی هر خط جریان

قابل مشاهده می‌باشد. در غیر این صورت در حالتی که لازم باشد تمام جزئیات نتایج^۱ مشاهده شود میتوان موس را بر روی هر کدام از خطوط جریان قرار داد و کلیک راست نمود و گزینه Result را انتخاب نمود تا صفحه نتایج باز شده و تمام جزئیات این جریان از قبیل دما، فشار، دبی جرمی، دبی حجمی، درصد جرمی اجزا، جرم کل جریان و... را مشاهده نمود.



شکل (۱-۲) نحوه انجام تنظیمات اولیه در شروع کار با برنامه **Aspen Plus**
 حال اگر لازم باشد داده‌هایی را به عنوان ورودی^۲ تغییر دهید، با کلیک راست بر روی هر خط جریان (جریان ورودی که نتیجه جریان دیگر نباشد!!) یا هر تجهیزی^۳ و انتخاب گزینه input مشاهده می‌شود که صفحه ورودی داده‌ها باز شده و داده مورد نظر را می‌توان وارد نمود و یا

Result - ^۱
 input - ^۲
 Block - ^۳

تغییر داد و پس از اعمال تغییر با زدن دکمه "بعدی"^۱ برنامه اجازه اجرا شدن می خواهد که با زدن دکمه OK دیده می شود که برنامه اجرا شده و پس از چند لحظه محاسبات به اتمام رسیده و نتایج جدید مشاهده می گردد و در صورتی که برنامه خطایی نداشته باشد جوابها ارائه می شوند.

۳-۴-۲- معرفی اجزای مورد استفاده در شبیه‌سازی Aspen Plus :

الف) ایرکولرها^۲ :

کولرهای هوایی که سیال گرم با عبور از درون لوله های آن، با کاهش دما همراه خواهد بود. سیال خنک در این کولرها هوای محیط است که از طریق یک یا چند فن به لوله ها که از نوع فین اکسترود^۳ (Applied fin) یا فین امبدد (Embedded fin) یا فین اپلاید (Extrude Fin) می باشند دمیده می شود.

ب) مبدل های پوسته و لوله^۴ :

دمای سیال با عبور از این مبدل های حرارتی تغییر می کند. مبدل های حرارتی در واقع نقش بهینه سازهای مصرف انرژی را بر عهده دارند. نحوه چیدمان شبکه مبدل ها در میزان مصرف انرژی، تعداد نیاز مبدل ها و نیز میزان سطح انتقال حرارتی تاثیر بسزایی دارد. که در این پروژه قصد داریم در صورت نیاز به بررسی نحوه اصلاح شبکه ساختاری مبدل ها بپردازیم.

ج) مخازن^۵:

NEXT - ^۱
Air Cooler - ^۲
Heat Exchanger Sell & Tube - ^۳
Vessel - ^۴

مخازنی که سیال‌ها در آن جا ذخیره می‌گردد که تعداد آن‌ها در شبیه سازی بسیار محدود می‌باشد.

د) فیلترها^۱ :

برای جداسازی ذرات معلق و شن و ماسه و یا آب از سیال‌های نفتی و یا جداسازی فازهای گاز از فازهای مایع از فیلتراسیون مختلفی استفاده می‌شود.

ه) شیرهای اختناق و فشار شکن^۲ :

جهت افت فشار درمبرد که اینجا پروپان است و کاهش دمای آن در سیکل تبرید استفاده می‌شود.

و) جداکننده‌ها و مخلوط کننده‌ها^۳ :

برای ترکیب خطوط جریانی و یا انشعاب‌گیری از آن‌ها استفاده می‌شود.

ز) برج تقطیر^۴ :

برای تقطیر و جداسازی سیالات هیدروکربنی سبک و سنگین از یکدیگر استفاده می‌شود.

ح) پمپ‌ها و کمپرسورها و توربو کمپرسورها:

از پمپ‌ها برای تقویت فشار سیال مایع بکار می‌رود. برای افزایش فشار گاز ورودی و یا افزایش فشار پروپان از کمپرسورها استفاده می‌شود. کمپرسورهای برقی برای واحد پروپان و توربو کمپرسورها برای تقویت فشار گاز ورودی مرحله دوم استفاده می‌شود.

Filters - ^۱

Pressure Changer - ²

Mixers & splits - ³

Distillate column - ⁴

ط): خطوط جریان فرایند^۱ :

رسم خطوط جریانی به عنوان pipe line که مسیر سیال را بین تجهیزات نشان می‌دهد. در ابتدا ترکیب اجزای Stream Line را تعیین می‌کنیم و در ادامه با تعیین شرایط، درصد اجزا در مسیر مشخص می‌گردد.

۲-۵-حالت فعلی سایت NGL400 و میزان مصرف انرژی آن در حال حاضر :
شرکت‌های گاز و گازمایع که خود از مصرف کننده‌های کلان انرژی محسوب می‌شوند در فرایند تولید محصول نیاز به سرمایش و گرمایش متعدد دارند. کارخانه NGL400 که در سال ۱۳۴۸ شمسی و در واقع قبل از طرح پیشنهادی لینهف، طراحی و ساخته شده است و اصولاً قواعد و قوانین پینچ در آن در نظر گرفته نشده است. اما استفاده فراوان از مبدل‌های حرارتی، نقش بسیار مهمی در کاهش هزینه‌های انرژی و عملیاتی این شرکت در تمام این سال‌ها داشته است.
حال اگر بنا باشد در این پژوهه نقش استفاده از تکنولوژی پینچ در کاهش هزینه‌های انرژی در کارخانه NGL400 به عنوان یک مورد مطالعاتی بررسی شود باید ابتدا دید که میزان مصرف انرژی در حالت فعلی چگونه است؛ تا در نهایت در صورتی که امکان اصلاح و صرفه‌جویی وجود داشته باشد، با ارائه راهکار مناسب و انجام اقدامات و محاسبات لازم بتوان میزان کاهش هزینه‌های انرژی و همچنین مزیت کارهای انجام شده را در حالت مطلق و در حالت نسبی مقایسه ای) سنجید.

مصرف انرژی در این کارخانه به دو قسمت اصلی تقسیم می‌شود :

۱- انرژی الکتریکی (شبکه برق سراسری)

۲- انرژی سوختی (گاز ضعیف Lean Gas)

از انرژی الکتریکی جهت استفاده از کمپرسورهای برقی واحد پروپان، پمپ‌ها، فن‌های ایرکولرهای روشناهی و استفاده می‌شود.

از انرژی سوختی نیز با سوزاندن گاز Lean Gas در توربو کمپرسورهای افزایش فشار گاز مرحله دوم و همچنین در واحد گلایکول جهت بویلر گلایکل استفاده می‌شود.

نکته : لازم به ذکر است که تحلیل پینج برای کاهش مصرف انرژی حرارتی است و نقش آن برای کاهش مصرف انرژی بر روی تجهیزات برقی به طور مستقیم صفر است. به طور واضح‌تر اینکه شاید بتوان با استفاده از تکنولوژی پینج مصرف انرژی حرارتی یک تجهیز (مثلایک مبدل حرارتی) را کاهش داد که با این کاهش، بار یک تجهیز مرتبط دیگر که با انرژی برق کار می‌کند نیز به میزان مشخصی کم شود. بنابراین در این پژوهه احتمال اینکه بتوان مصرف انرژی الکتریکی را به طور قابل ملاحظه‌ای کاهش داد کم است.

میزان مصرف انرژی در حالت کلی و قبل از انجام عملیات بهینه سازی به قرار زیر است:

جدول (۲-۱): میزان مصرف انرژی در حالت اولیه سایت NGL 400

ردیف	محل مصرف انرژی	نوع انرژی مصرفی	میزان انرژی مصرفی
۱	توربو کمپرسورهای گازی	سوخت	$1.648E9^{kj/day}$
۲	بویلر گلایکول	سوخت	$471 E6^{kj/day}$
۳	توربو کمپرسورهای واحد پروپان	برق	$193.4 Mwh/day$
۴	مجموع فن ایرکولر ها	برق	$19.2 Mwh/day$

۶-۲-۱-[9]: معرفی نرم افزار Aspen B-Jac

می توان گفت که B-JAC یک نرم افزار کامل در جهت طراحی حرارتی و مکانیکی مبدل های حرارتی می باشد. از این نرم افزار می توان طراحی، محاسبات و شبیه سازی مبدل های حرارتی در جهت کاهش هزینه های ثابت و تسريع ساخت مبدل های حرارتی استفاده نمود. این نرم افزار به کمک نرم افزار Aspen plus در جهت کاهش هزینه های عملیاتی، حداقل کردن زمان های ساخت و افت زمان تلفات در هنگام اجرای پروژه استفاده می شود. از دیگر مزیت این نرم افزارها ارتباط آنها به یکدیگر و قابلیت انتقال داده های B_Jac به Aspen Plus می باشد.

برنامه B_Jac از چند قسمت تشکیل می شود که مهمترین آن ها به قرار زیر است:

۶-۲-۱-۲ : Aspen Hetran

این برنامه برای طراحی، محاسبات و تخمین، و شبیه سازی مبدل های پوسته و لوله استفاده می شود.

۶-۲-۲-۲ : Aspen Aerotran

این برنامه برای طراحی، تخمین و محاسبات و شبیه سازی انواع کولرهای هوایی استفاده می شود.

استفاده از برنامه B-JAC به سه صورت امکان پذیر می باشد:

۱- طراحی^۱ : که در این حالت با وارد کردن داده های مورد نیاز از این برنامه می خواهیم که با توجه به شرایط موجود، مبدل یا کولرهای هوایی خاصی را طراحی کند. بسته به داده هایی که توسط کاربر به عنوان قید و شرط ها وارد می شود، برنامه به محاسبات می پردازد و در محدودیت تعیین شده نمونه هایی را معرفی می کند که از نظر سایز و

اندازه و قیمت و تعداد لوله‌ها و یا قطر پوسته و... تفاوت می‌باشد ولی همگی دارای ظرفیت حرارتی یکسانی هستند.

۲- ارزیابی کردن^۱: در این حالت کاربر می‌خواهد از طریق نرم افزار محاسبه کند که دمای سیال مورد نظر پس از انتقال حرارت با سیال دیگر به دمای مورد نظر می‌رسد یا نه!

۳- شبیه سازی^۲: در این حالت با وارد کردن داده‌هایی که دمای ورودی و دبی‌های سیال‌های سرد و گرم را نشان می‌دهد می‌توان به داده‌های خروجی دست یافت. از این حالت برای شبیه‌سازی مبدل‌های موجود و یا شبیه سازی حالتی استفاده می‌شود که می‌خواهند با تغییر یک پارامتر نتیجه تغییرات را در کل دستگاه مشاهده نمایند.

در واقع تفاوت Rating با Simulation در این است که مثلا در حالت کاربر دمای ورودی و دبی هر دو سیال را تعیین می‌کند و با تعیین مشخصات مبدل، نرم افزار، دمای خروجی هر دو سیال را تخمین می‌زند و کاربر در تعیین دمای خروجی نقشی ندارد اما در حالت کاربر تعیین می‌کند که مثلا می‌خواهد دمای سیال گرم مورد نظر با دبی مشخص تا درجه خاصی کاهش یابد در این صورت نرم افزار محاسبه می‌کند که آیا سیال سرد با دبی داده شده این ظرفیت را دارد که دمای سیال گرم را تا آن درجه کاهش دهد یا نه! اگر ظرفیت حرارتی سیال سرد بیشتر از سیال گرم باشد به محض اینکه دمای سیال گرم به مقدار تعیین شده رسید از بقیه ظرفیت آن استفاده نمی‌شود و در صورتی که ظرفیت حرارتی آن کمتر باشد به کاربر پیغام می‌دهد که ظرفیت حرارتی سیال سرد کافی نیست و نمی‌تواند تمام سرمایش را تأمین کند.

Rating - ^۱
Simulation - ^۲

۷-۲-نتایج شبیه‌سازی :

نتایج خطوط جریان پس از انجام شبیه سازی سایت NGL400 توسط نرم افزار Aspen plus راستای انجام همین پروژه در پیوست آمده است. با مقایسه داده ها با PFD موجود، صحت داده قابل درک می‌باشد.

فصل سوم

**نتایج حاصل از انجام شبیه سازی
و انجام آنالیز پینچ**

۱-۳- مقدمه :

در این فصل به بررسی نتایج شبیه‌سازی انجام شده در فصل قبل و انجام محاسبات پرداخته می‌شود. تا بررسی شود که آیا در این سایت امکان بهینه‌سازی انرژی وجود دارد یا نه! که اگر امکان بهینه‌سازی انرژی وجود نداشته باشد در این صورت سایت در بهترین وضعیت مصرف انرژی قرار دارد.

۲-۳- معرفی نرمافزار : Aspen Energy Analyzer

نرمافزار Aspen Pinch Energy Analyzer که به تازگی جایگزین نرم افزار Aspen شده است نرمافزاری کاملاً مهندسی- اقتصادی جهت محاسبات انرژی و کاهش هزینه‌های تجهیزات و سرمایه‌گذاری^۱ و هزینه‌های عملیاتی^۲ می‌باشد.

اصول کار این نرمافزار این است که با وارد کردن اطلاعات مربوط به جریان‌های سرد و گرم و اطلاعات آنتالپی و یا ظرفیت حرارتی آن‌ها، نمودار ترکیبی سرد و گرم رسم شده و نقطه پینچ بدست می‌آید. سپس با وارد کردن اطلاعات جریان‌های یوتیلیتی، نمودار دیاگرام شبکه ای و تمام مبدل‌های موجود بین جریان‌ها به دست می‌آید. تعیین درست حداقل اختلاف دما (Δt_{min}) و بدست آوردن نقطه پینچ جدید و ارائه راهکارها و اصلاح شبکه ساختار مبدل‌ها از جمله اقداماتی است که می‌توان جهت کاهش مصرف انرژی کل سایت انجام داد و با هر تغییر در داده‌ها، میزان کل انرژی مصرفی به سرعت محاسبه شده و در اختیار کلبر قرار می‌گیرد.

۳-۱- معادلات حاکم بر نرم افزار :

برای استفاده از نرم‌افزار ابتدا باید دانست که نرم‌افزار در محاسبات خود و نتایجی که ارائه می‌کند از چه معادلاتی استفاده کرده و از چه راهی به جواب‌های نهایی داده شده می‌رسد. از جمله معادلات مورد استفاده مربوط به محاسبات آنتالپی و میزان انتقال حرارت در مبدل‌های

capital cost - ^۱
operating cost - ^۲

حرارتی پوسته و لوله و محاسبات سطح مبدل‌های حرارتی و همچنین محاسبات هزینه‌های سرمایه‌گذاری و هزینه‌های عملیاتی می‌باشد که به توضیح آن‌ها پرداخته می‌شود.

برای تشکیل شبکه مبدل‌های حرارتی^۱ تعدادی متغیر باید تعریف گردد متغیرها حاوی اطلاعاتی پیرامون جریان‌های دارای انرژی است. نظیر جریان‌های فرایندی و جریان‌های یوتیلیتی و پارامترهای اقتصادی که بر محاسبات اقتصادی حکم فرما هستند.

الف- جریان‌های فرایندی: شامل جریانی است که حاوی سیالی است که می‌خواهیم گرم یا سرد شود. حداقل اطلاعات مورد نیاز برای این جریان‌ها عبارت است از: اسم جریان- دمای ورودی و دمای خروجی جریان- و ظرفیت گرمایی جریان ($M \cdot Cp$) یا آنتالپی جریان .

ظرفیت گرمایی: ظرفیت گرمایی از ظرفیت گرمایی ویژه و دبی جرمی جریان فرایندی طبق رابطه زیر بدست می‌آید :

$$M \cdot C_p = dH/dT \quad (1-4)$$

dH = تغییرات تدریجی در آنتالپی جریان فرایندی

dT = تغییرات تدریجی در دمای جریان فرایندی

پارامترهای آنتالپی: وقتی یک جریان فرایندی وارد شبکه مبدل‌های حرارتی شده و خارج می‌شود حتماً آنتالپی آن تغییر کرده است. برای جریان‌هایی که گرم (سرد) شده‌اند، تغییرات آنتالپی برابر است با میزان دریافت (پرداخت) حرارت مورد نیاز برای اینکه بتوان از دمای اولیه به دمای هدف رسید.

جريان سرد : جريانی است که دمای ورودی آن به HEN کمتر از دمای خروجی آن باشد. يعني دمايش افزایش يابد.



جريان گرم : جريانی است که دمای ورودی آن به HEN بیشتر از دمای خروجی آن باشد. يعني دمايش کاهش يابد.



ديگر پaramترهاي که در محاسبات استفاده می شود به قرار زير می باشنند:

HTC: ضريب انتقال حرارت محلی برای هر جريان منحصرا بدهست می آيد.

ظرفیت گرمایی ویژه موثر^۱: ظرفیت حرارتی ویژه جريان می باشد. Aspen Energy Analyzer این مقدار را بر اساس متغیرهای ذکر شده در بالا و حداقل نرخ جريان جرمی که مشخص شده است محاسبه می کند.

ب) جريان های یوتیلیتی : جريان هایی که حاوی سیال سرد کننده یا گرم کننده است که توسط یوتیلیتی تامین شود. برای ارضا کردن جريان های فرایندی ارضا نشده استفاده می شود. حداقل اطلاعات مورد نیاز برای جريان های یوتیلیتی شامل اسم های جريان، دمای ورودی و دمای خروجی جريان است. به علاوه باید ارزش هر انرژی از یوتیلیتی ها که استفاده می شود را جهت محاسبات هزينه های عملیاتی انتقال حرارت وارد نمود.

Aspen Energy Analyzer شامل لیستی از انواع یوتیلیتی ها با قیمت های تعیین شده اولیه، ارائه داده است که در صورت نیاز از آن ها استفاده می شود.

در ادامه معادلاتی که اسپن انرژی آنالیزر برای انجام محاسبات پaramترهای مختلف نظیر HTC و

و ... داده شده است :

Effective Cp - ^۱

For shell side (hot stream):

$$\frac{h \times D}{k} = 0.36 Re^{0.55} \times Pr^{\frac{1}{3}} \left(\frac{\mu}{\mu_w} \right)^{0.14} \quad (2-4)$$

For tube side (cold stream)

$$\frac{h \times D}{k} = 0.023 Re^{0.80} \times Pr^{\frac{1}{3}} \left(\frac{\mu}{\mu_w} \right)^{0.14} \quad (3-4)$$

Reynolds Number:

$$Re = \frac{D \times \rho \times v}{\mu} \quad (4-4)$$

Prandtl Number:

$$Pr = \frac{C_p \times \mu}{k} \quad (5-4)$$

Assume:

$$\left(\frac{\mu}{\mu_w} \right)^{0.14} = 1 \quad (6-4)$$

که در آن ها :

H= ضرایب انتقال حرارت

D= قطر سطح جریان

K= ضریب انتقال حرارت رسانشی

ρ = چگالی سیال جریان

V= سرعت جریان

μ = ویسکوزیته جریان

Cp= ظرفیت گرمایی مخصوص موثر

نکته اینکه : مقدار HTC محاسبه شده برای جریان‌های داده شده می‌تواند برای جریان‌هایی هم که از چندین مبدل حرارتی عبور می‌کنند لحاظ شود.

ج - پارامترهای اقتصادی :

پارامترهای اقتصادی برای محاسبات هزینه‌های سرمایه‌گذاری انجام شده جهت هزینه‌های شبکه مبدل‌های حرارتی استفاده می‌شود.

مبدل‌های تعریف شده در اسپن انرژی آنالیزر در دو نوع می‌باشد :

۱- مبدل‌های حرارتی از نوع پوسته و لوله که از هم رفت برای انتقال حرارت بین سیال سرد و گرم استفاده می‌شود. هزینه محاسبه شده برای آن‌ها بر اساس میزان سطح انتقال حرارت می‌باشد.

۲- مبدل‌ها از نوع هیترها^۱ : این نوع مبدل، انتقال حرارتی از نوع تشعشعی دارند.

د- متریال و مواد مصرفی در ساخت:

گسترده‌گی نوع متریال مصرفی در ساخت مبدل‌های حرارتی بسیار زیاد است که این تنوع، باعث ایجاد تغییر در هزینه‌های سرمایه‌گذاری می‌شود. می‌توان جنس متریال مصرفی در ساخت مبدل‌های حرارتی را متفاوت با حالت اولیه (پیش فرض) انتخاب نمود. برای اینکار را می‌توان با تغییر پارامترهای موثر در میزان هزینه‌های مبدل‌ها، انجام داد.

اسپن انرژی آنالیزر تمام پیش فرض‌ها برای مبدل حرارتی پوسته و لوله را از جنس کربن استیل در نظر گرفته است.

از آنجا که این پروژه یک پروژه به روز کردن پس از طراحی است، و جنس بسیاری از مبدل های موجود در سرویس از متریال مرغوبتر از کربن استیل نظیر SS-316 یا SS-304 می باشد؛ بنابراین نیازی به تعویض آن ها با مبدل با جنس ضعیفتر نمی باشد؛ پس تغییری در ضرایب هزینه ها داده نمی شود.

هزینه های سرمایه گذاری :

هزینه های سرمایه گذاری شامل هزینه های خرید تجهیزات جدید و نصب مبدل های حرارتی است. همانطور که گفته شد مبدل های حرارتی در دو نوع پوسته ولوله و یا نوع هیتر. که هر کدام معادله خاصی برای تعیین میزان هزینه های سرمایه گذاری دارند:

Shell & Tube:

$$CC = a + b \left(\frac{Area}{N_{shell}} \right)^c \times N_{shell} \quad (V-3)$$

Fired Heater:

$$CC = a + b(Duty)^c \quad (A-3)$$

$CC =$ هزینه سرمایه گذاری مبدل حرارتی نصب شده (U\$)

$a =$ هزینه نصب مبدل حرارتی (U\$)

$$b, c = \frac{\text{بار حرارتی}}{\text{مساحت}}$$

$Area =$ سطح تبادل حرارت مبدل حرارتی

$N_{shell} =$ تعداد پوسته های مبدل حرارتی در مبدل حرارتی

$duty =$ میزان انرژی منتقل شده در مبدل حرارتی

اگر واحد این ضرایب تغییر داده شود، تغییر بعضی پارامترها باعث ایجاد خطا در پارامتر b

می‌شود چون این ضریب کاملاً بی‌بعد نمی‌باشد.

هزینه‌های عملیاتی:

هزینه‌های عملیاتی هزینه‌های وابسته به زمان است که نشان دهنده هزینه انرژی است جهت راه انداختن تجهیزات. اسپن انرژی آنالیزر روش زیر را برای بدست آوردن این هزینه استفاده می‌کند:

$$OC = \sum C_{hu} * Q_{hu,min} + \sum C_{cu} * Q_{cu,min} \quad (9-3)$$

$OC =$ هزینه‌های عملیاتی (\$/yr)

$Q_{hu,min}$ = میزان انرژی هدف مورد نیاز از یوتیلیتی گرم (\$/kw)

C_{hu} = هزینه‌های یوتیلیتی برای یوتیلیتی گرم (\$/kw yr)

C_{cu} = هزینه‌های یوتیلیتی برای یوتیلیتی سرد (\$/kw yr)

$Q_{cu,min}$ = میزان انرژی هدف مورد نیاز از یوتیلیتی سرد (\$/kw)

از مزیت‌های Aspen Plus Energy Analyzer این است که این نرم افزار با نرم افزارهای و Aspen Hysys قابل اتصال بوده و می‌تواند برنامه‌های شبیه سازی شده با این نرم افزارها را استخراج اطلاعاتی کرده^۱ و نمودار شبکه‌ای آن‌ها رسم نماید.

در این پروژه به این خاطر که سیال فرایندی گاز غنی می‌باشد که خود متشکل از انواع هیدرو-

کربن و مواد دیگر است(شامل ۱۵ ماده) و هر کدام دارای جزء مولی و جرمی متفاوتی می‌باشند، لذا وارد کردن داده‌ها به صورت دستی، کاری بسیار مشکل و طاقت فرساست؛ از طرفی به دلیل اینکه اجزای سیال در دمای‌های مختلف دارای ظرفیت حرارتی متفاوتی می‌باشند، و با توجه به اینکه نمودار آنها در بانک اطلاعاتی نرم‌افزار موجود است بنابراین استخراج داده‌ها از شبیه‌سازی انجام شده با Aspen Plus، باعث افزایش دقت خواهد شد.

۳-۳- نحوه استخراج داده‌ها توسط Aspen Energy Analyzer

: [10]

پس از بازکردن برنامه Aspen Energy Analyzer Case H.I' گزینه را انتخاب کرده تا صفحه‌ای جهت وارد کردن خطوط جریان به صورت دستی ظاهر گردد. ولی چون مقصود این است که خود برنامه انرژی آنالیز از برنامه اسپن پلاس داده‌ها را استخراج کند، برای این امر گزینه (Data Extraction Icon) را انتخاب کرده تا پنجره زیر ظاهر گردد.



شکل (۱-۳) : مراحل Extract داده‌ها از Apen Plus

در ادامه گزینه NEXT را انتخاب نموده و از گزینه‌های انتخاب نرم‌افزار مبدأ، گزینه Aspen Plus را انتخاب کرده و مسیر ذخیره اطلاعات را داده و کاربر تنظیمات بعدی را به دلخواه انتخاب می‌نماید (بسته به اهمیت دقت RUN) و هر مرحله گزینه NEXT را زده و فلوشیت و یوتیلیتی‌های مورد نیاز و هیترها و کولرها را انتخاب می‌نماید و نهایتا Finish زده تا داده‌های داده شده در فایل ذخیره گردیده و عملیات به اتمام برسد.

حال می‌توان فایل جدید را با فرمت (hch) باز کرده و جریان‌های فرایندی و جریان‌های یوتیلیتی و نمودارهای CC (Composite Curve) و نمودارهای GCC (Grand Composite) را مشاهده نمود.

با انتخاب Δt_{min} میزان حرارت مورد نیاز و سرمایش مورد نیاز که قبلاً محاسبه شده است را می‌توان تغییر داد. از قبل تر می‌دانیم که هرچه Δt_{min} کاهش یابد، نمودارهای سرد و گرم به هم نزدیکتر و میزان مصرف و هدررفت انرژی کمتر می‌شود و هرچه Δt_{min} بیشتر باشد به سرمایش و گرمایش بیشتری نیاز است.

۳-۴- عملیات تکمیلی پس از استخراج داده‌ها :

در اینجا لازم است ترتیب مراحل انجام کار پس از استخراج داده‌ها از نرم‌افزار اسپن پلاس شرح داده شود:

مرحله اول: پس از اینکه در محیط نرم‌افزار A.E.A از نرم‌افزار Aspen Plus خروجی گرفته شد، طبق برنامه‌ی روند اجرای پروژه که از قبل پیش‌بینی شده باید به بررسی صحت داده‌های استخراج شده پرداخت. از آنجا که همیشه برنامه شبهه سازی شده با حالت عملیاتی سایت یا PFD‌های طراحی به میزان جزئی اختلاف‌هایی دارد، باید به تصحیح آن‌ها پرداخت که البته این قابلیت در A.E.A وجود دارد که بتوان داده‌های استخراج شده نظیر (دماهی ورودی، دماهی

خروجی و میزان دبی جریان توسط کاربر تغییر داده شود) که طبق داده های موجود در PFD این کار صورت پذیرفت و داده ها به داده های PFD تبدیل گشت.

مرحله دوم : در ادامه بررسی صحت نحوه قرارگیری مبدل های حرارتی بین جریان های سرد و گرم و اطمینان از صحت میزان انتقال حرارت (بار حرارتی) مبدل ها بود.

مرحله سوم : تعریف جریان های یوتیلیتی سرد (نظیر جریان های پروپان در چیلرها) و ایرکولرها و جریان های یوتیلیتی گرم (مشعل های گلایکول)

مرحله چهارم : رسم هیترها (یوتیلیتی گرم) و کولرها (یوتیلیتی سرد) بین جریان ها در نمودار دیاگرام شبکه ای

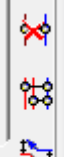
مرحله پنجم : تعدیل بارهای حرارتی بین جریان ها و ثبت آن ها

در شکل زیر جریان های مشاهده می شوند که توسط Aspen Energy Analyzer از برنامه استخراج شده است. در اینجا مشاهده می شود که تعداد جریان ها کاهش یافته است. چون خود برنامه انرژی آنالیزر قوانین پینچ را در مورد تعریف جریان رعایت کرده است؛ آنجا که می گوید خط جریان تغییر نمی کند تا زمانی که یا انشعابی از آن گرفته شود یا به انشعاب دیگری بپیوندد و یا تغییر شیمیایی پیدا کند. بنابراین جریان هایی که در Aspen Plus چند اسم داشتند در اینجا به یک خط جریان تبدیل شده اند.

و در ادامه جریان هایی وجود دارد که نقش یوتیلیتی را در فرایند دارند. این جریان ها یا هوا محیط هستند که در ایر کولرها استفاده می شود و یا جریان گازهای داغ مشعل های گلایکول و گاز توربین های گازی است. شکل (۳-۳) جریان های یوتیلیتی را نشان می دهد .

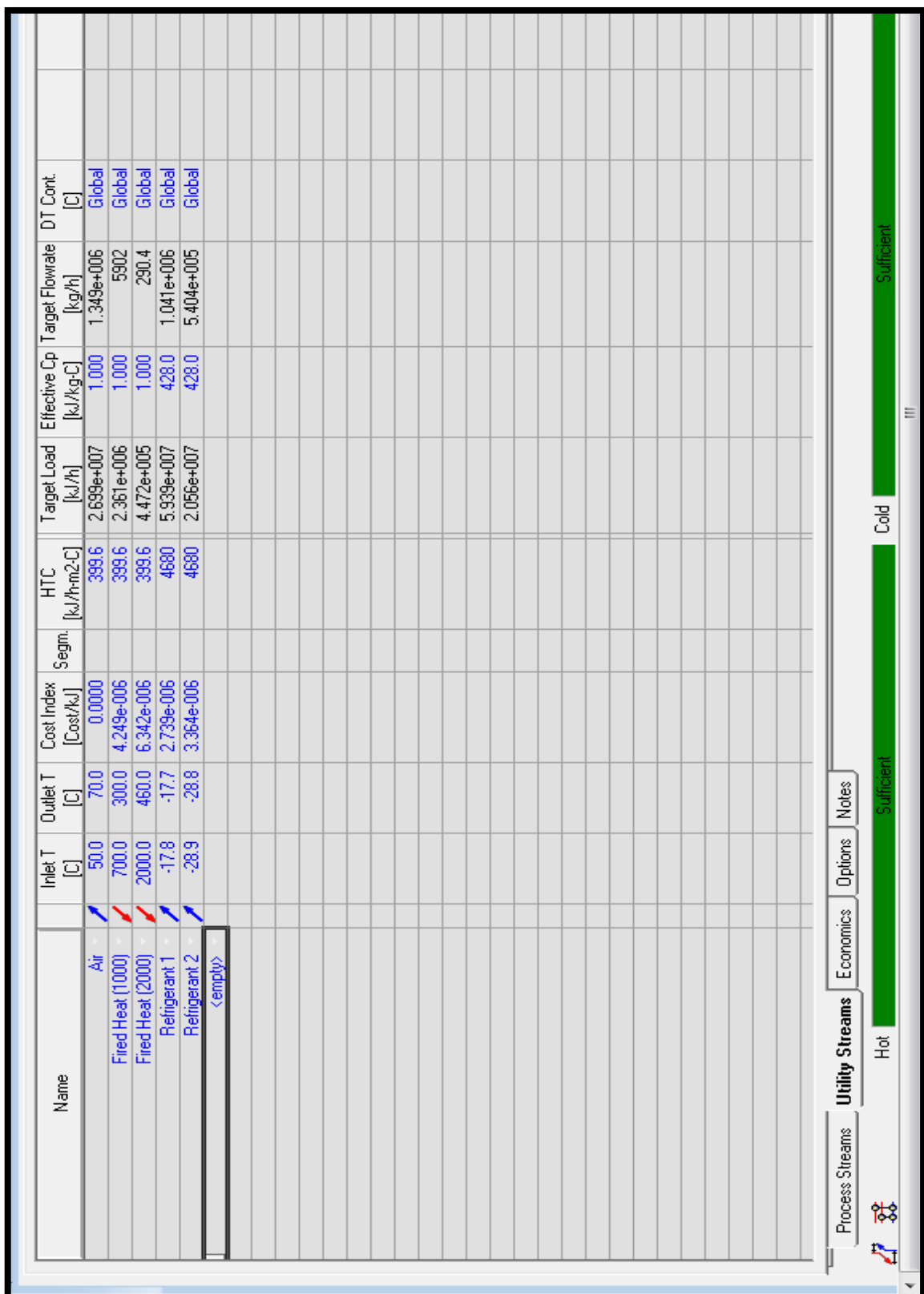
Name	Inlet T [C]	Outlet T [C]	MCp [kJ/C·h]	Enthalpy [kJ/h]	Segm. [kJ/m²·C]	HTC	Flowrate [kg/h]	Effective Cp [kJ/kg·C]	DT Cont. [C]
19-1_To_22	26.7	-28.3	...	3.462e+007	✓	...	1.431e+001	...	Global
28_To_28-2	-14.4	45.3	2.710e+005	1.619e+007	...	5750.0	1.081e+001	2.506	Global
16_To_17	53.3	42.8	...	3.904e+006	✓	...	1.432e+001	...	Global
KK_To_KK-1	126.7	71.4	1.621e+004	8.958e+005	...	8914.2	4962	3.266	Global
7-0_To_7-2	-10.6	49.7	9.126e+005	5.496e+007	...	723.2	3.855e+001	2.367	Global
8_To_8-2	-10.6	-17.8	3.979e+004	2.874e+005	...	4167.5	3.399e+001	1.171	Global
60_To_60-0	105.6	65.6	5.057e+005	2.023e+007	...	801.8	2.185e+001	2.315	Global
47_To_47-1	65.6	39.2	3.059e+005	8.062e+006	...	4289.9	9.069e+000	3.373	Global
46_To_46-1	59.7	41.1	4.383e+005	8.133e+006	...	4284.0	1.278e+001	3.429	Global
25-0_To_25-1	-24.4	47.5	...	1.253e+007	✓	...	8.221e+000	...	Global
41_To_41-00	-13.5	85.0	2.272e+004	2.237e+016	...	4179.4	6985	3.252	Global
5+31_To_6	7.2	-10.6	1.358e+006	2.415e+007	...	720.0	4.232e+001	3.210	Global
1_To_3	66.1	31.7	...	4.028e+007	✓	...	4.258e+001	...	Global
4+30_To_5	33.3	7.2	...	2.975e+007	✓	...	4.243e+001	...	Global
18-1_To_19	44.5	26.3	...	8.631e+006	✓	...	1.472e+001	...	Global
40_To_40-1	71.1	-1.2	1.854e+004	1.341e+006	...	6895.8	6141	3.020	Global
14-3_To_16-0	142.9	53.3	2.008e+005	1.799e+007	...	517.2	8.869e+001	2.264	Global
glycole reboiling	103.0	103.2	4.071e+007	8.142e+006	...	720.0	3587	1.135e+004	Global
lean glycole reboiling steam(glycole)	103.0	126.0	1.996e+004	4.590e+005	...	720.0	7092	2.814	Global
	103.0	65.5	1.032e+004	3.869e+005	...	720.0	2468	4.180	Global
New									

Process Streams Utility Streams Economics Options Notes



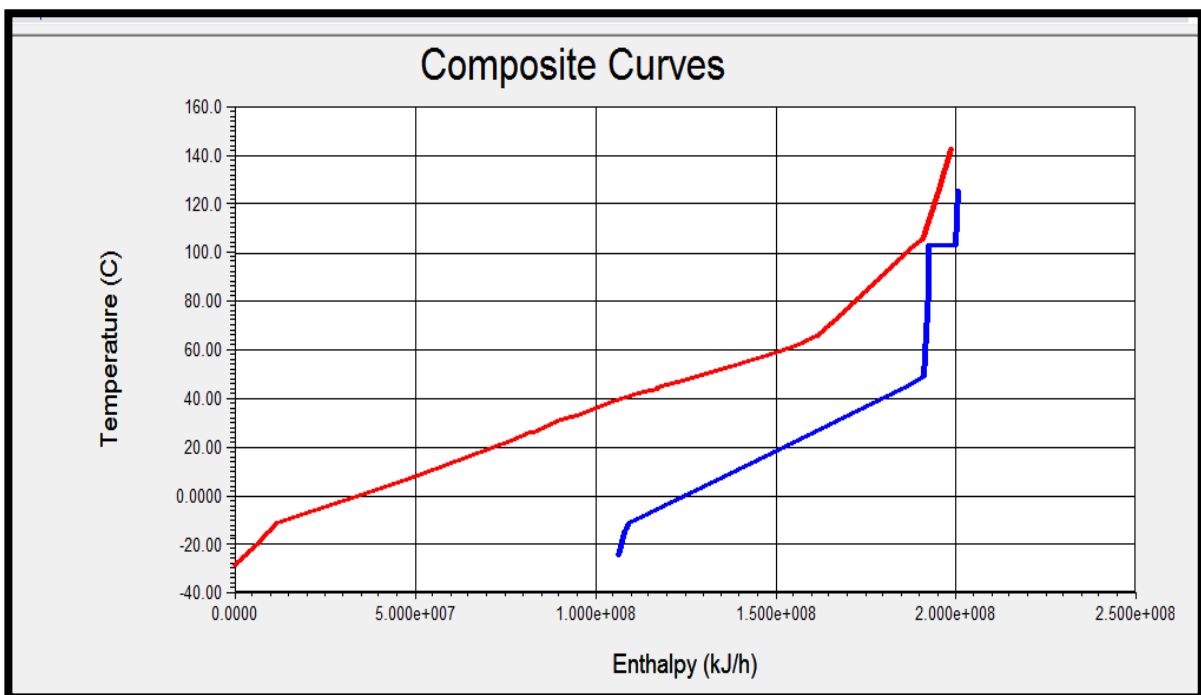
شکل (۲-۳) : جریان های فرایندی (Process Streams) در انرژی آنالیز

50

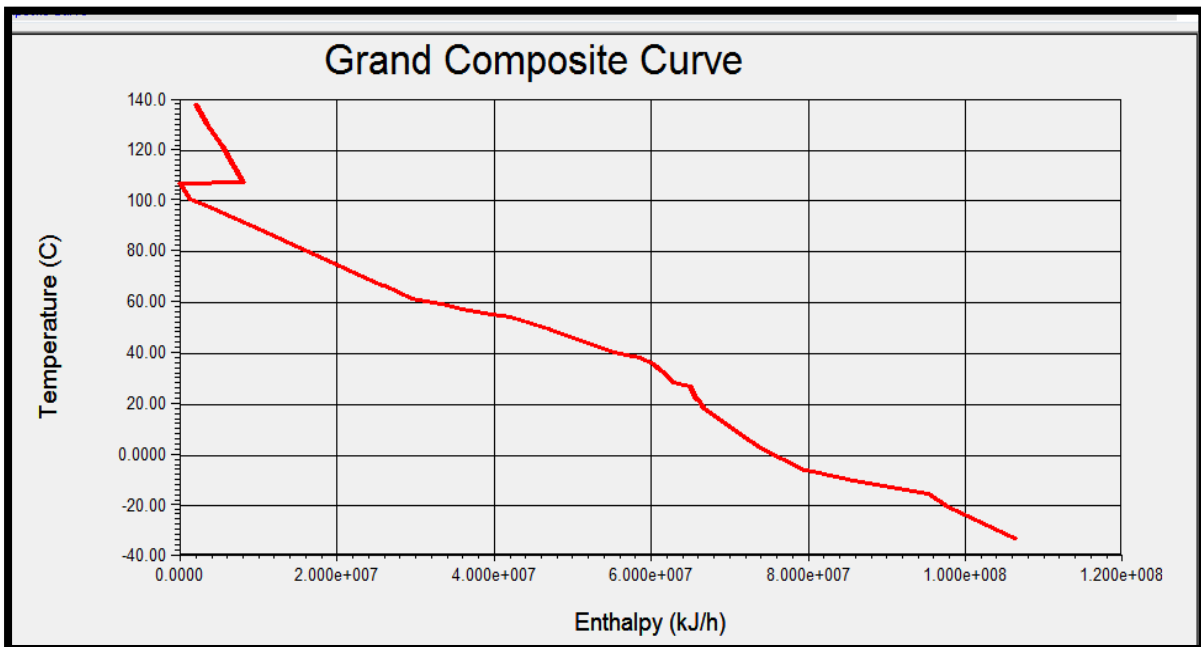


شکل (۳-۲) جریان های یوتیلیتی (Utility Streams) در انرژی آنالیز.

و نمودار CC و نمودار GCC برای سایت در حالت اولیه، در زیر مشاهده می شوند؛ که از آن ها مشخص است که میزان یوتیلیتی مصرفی سرد بسیار بیشتر از یوتیلیتی مصرفی گرم است.



شکل (۴-۳) : نمودار (Composite Curve) CC جریان های سرد و گرم در حالت کارکرد فعلی



شکل (۵-۳) : نمودار (Grand Composite Curve) GCC جریان های سرد و گرم در حالت کارکرد فعلی

در شکل بالا هم نمودار ترکیبی جامع سرد و گرم را در حالت فعلی سایت مشاهده می کنیم.

پس از انجام مراحل پنجمگانه بالا همانطور که در شکل زیر دیده می شود در زیر نمودار Grid

عبارت درون کادر سیز مشاهده می شود که بیان کنندهی کامل بودن جریان‌ها و

مبدل‌ها و ارتباط بین آن هاست. نمودار دیاگرام شبکه‌ای که در شکل زیر مشاهده می شود.

شکل زیر میزان حرارت مورد نیاز هدف^۱ و سرمایش مورد نیاز هدف^۲ را نشان می دهد که با

توجه به Δt_{min} تغییر می کند. این پارامترها میزان گرمایش و سرمایش مورد نیاز سایت را

نشان می دهند که باید توسط یوتیلیتی خارجی تامین گردد و از تبادل حرارت فرایندی نمی

تواند بدست آید. همچنین نقطه پینچ سایت در حالت فعلی برابر 108°C محاسبه شده است

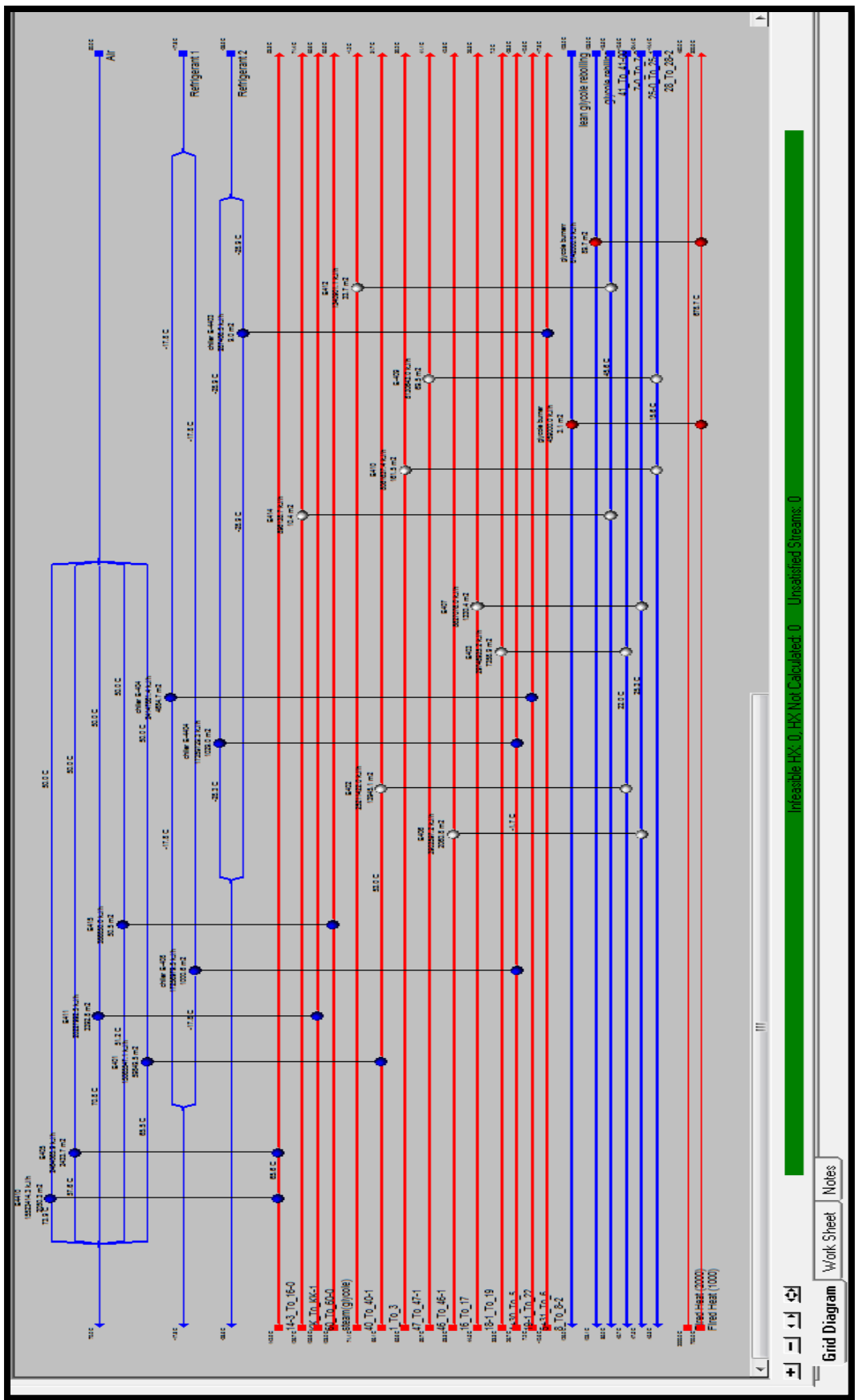
که با توجه به اینکه در حالت فعلی $\Delta t_{min} = 10^{\circ}\text{C}$ در نظر گرفته شده است پینچ در نقطه

پایین 103°C و در نقطه بالا 113°C می باشد.

Energy Targets		Area Targets		Pinch Temperatures	
Heating [kJ/h]	2.374e+006	Counter Current [m ²]	2.1546e+04	Hot	Cold
Cooling [kJ/h]	1.065e+008	1-2 Shell & Tube [m ²]	2.6693e+04	113.0 C	103.0 C
Number of Units Targets		Cost Index Targets			
Total Minimum	24	Capital [Cost]	5.560e+006		
Minimum for MER	14	Operating [Cost/s]	6.350e-002		
Shells	33	Total Annual [Cost/s]	0.1203		

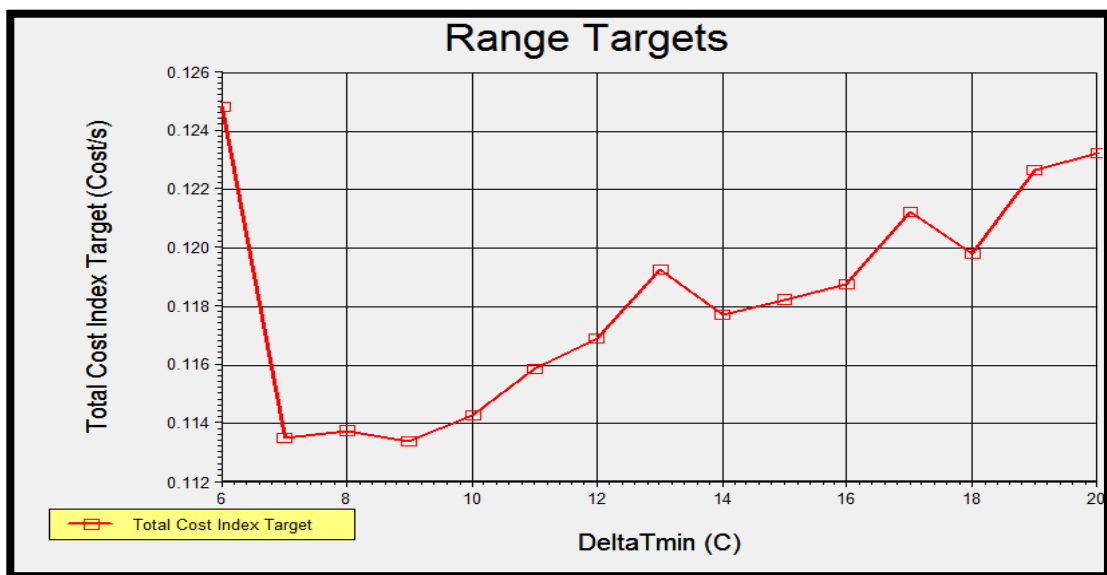
شکل (۶-۳) : دمای نقطه پینچ و انرژی هدف و سطح هدف در 10°C

Heating Target Value - ^۱
Cooling target Value - ^۲



شکل (۷-۳) : نمایی از دیاگرام شبکه ای (Grid Diagram) سایت در حالت فعلی

حال باید دید که سایت در چه میزان از Δt_{min} از نظر هزینه‌های عملیاتی و انرژی آوردن مناسبترین عدد باید از پارامترهای دقیق هزینه‌های سرمایه‌گذاری (Capital Cost) و هزینه‌های سرمایه‌گذاری (Operating Cost) به صرفه‌تر است. برای بدست استفاده کرد که در



شکل (۸-۳) : میزان جمع هزینه های انرژی و تجهیزات در Δt_{min} های مختلف

جدول (۱-۳) : میزان هزینه ها در Δt_{min} های مختلف

Δt_{min} [C]	Heating [kJ/h]	Cooling [kJ/h]	Area 1 - 1 [m ²]	Area 1 - 2 [m ²]	Units	Shells	Cap. Cost Index [Cost]	Op. Cost Index [Cost/s]	Total Cost Index [Cost/s]
6.0	1.506e+006	1.056e+008	2.2357e+0	2.8005e+0	14	35	6.188e+006	6.165e-002	0.1249
7.0	1.723e+006	1.059e+008	1.5242e+0	1.8601e+0	14	28	4.326e+006	6.937e-002	0.1136
8.0	1.940e+006	1.061e+008	1.5125e+0	1.8466e+0	14	28	4.302e+006	6.984e-002	0.1138
9.0	2.157e+006	1.063e+008	1.4348e+0	1.7457e+0	14	29	4.106e+006	7.149e-002	0.1134
10.0	2.374e+006	1.065e+008	1.4755e+0	1.8065e+0	14	29	4.230e+006	7.111e-002	0.1143
11.0	2.591e+006	1.067e+008	1.3604e+0	1.6540e+0	21	31	4.145e+006	7.356e-002	0.1159
12.0	2.808e+006	1.069e+008	1.3423e+0	1.6351e+0	23	51	4.172e+006	7.432e-002	0.1169
13.0	3.025e+006	1.072e+008	1.2974e+0	1.5776e+0	30	49	4.274e+006	7.563e-002	0.1193
14.0	3.242e+006	1.074e+008	1.3041e+0	1.5913e+0	23	49	4.089e+006	7.595e-002	0.1177
15.0	3.459e+006	1.076e+008	1.3005e+0	1.5898e+0	23	31	4.089e+006	7.650e-002	0.1183
16.0	3.676e+006	1.078e+008	1.2857e+0	1.5731e+0	23	51	4.057e+006	7.732e-002	0.1188
17.0	3.893e+006	1.080e+008	1.2517e+0	1.5294e+0	30	49	4.186e+006	7.851e-002	0.1213
18.0	4.110e+006	1.082e+008	1.2676e+0	1.5539e+0	23	49	4.023e+006	7.874e-002	0.1198
19.0	4.327e+006	1.085e+008	1.2360e+0	1.5133e+0	31	32	4.188e+006	7.993e-002	0.1227
20.0	4.544e+006	1.087e+008	1.2247e+0	1.5003e+0	31	50	4.163e+006	8.076e-002	0.1233

جريان‌های یوتیلیتی باید شاخص هزینه‌های انرژی را که بر حسب (\$/kw.yr) است تنظیم و محاسبه نمود. برای هزینه‌های سرمایه‌گذاری طبق رابطه (۳-۷) عمل نموده و با فرض هزینه نصب مبدل برابر \$30800 و ضرایب B و C به ترتیب برابر 750 و 0.81 فرض شده است [11]. که با انجام عملیات Range Target در بازه دمایی 6°C تا 20°C و با گام 1°C نتایج زیر بدست می‌آید.

از نمودار و جدول بالا این نکته بدست می‌آید که بهترین $\Delta t_{min} = 9^{\circ}\text{C}$ می‌باشد که مجموع هزینه‌ها در آن مینیمم است. نتایج میزان هزینه‌ها در Δt_{min} های مختلف در جدول بالا آورده شده است.

Energy Targets		Area Targets		Pinch Temperatures	
Heating [kJ/h]	2.157e+006	Counter Current [m ²]	1.7629e+04	Hot	Cold
Cooling [kJ/h]	1.063e+008	1-2 Shell & Tube [m ²]	2.1847e+04	112.0 C	103.0 C
Number of Units Targets		Cost Index Targets			
Total Minimum	24	Capital [Cost]	4.678e+006		
Minimum for MER	14	Operating [Cost/s]	5.894e-002		
Shells	31	Total Annual [Cost/s]	0.1067		

شکل (۹-۳) : دمای نقطه پینچ و انرژی هدف و سطح هدف در $\Delta t_{min} = 9^{\circ}\text{C}$

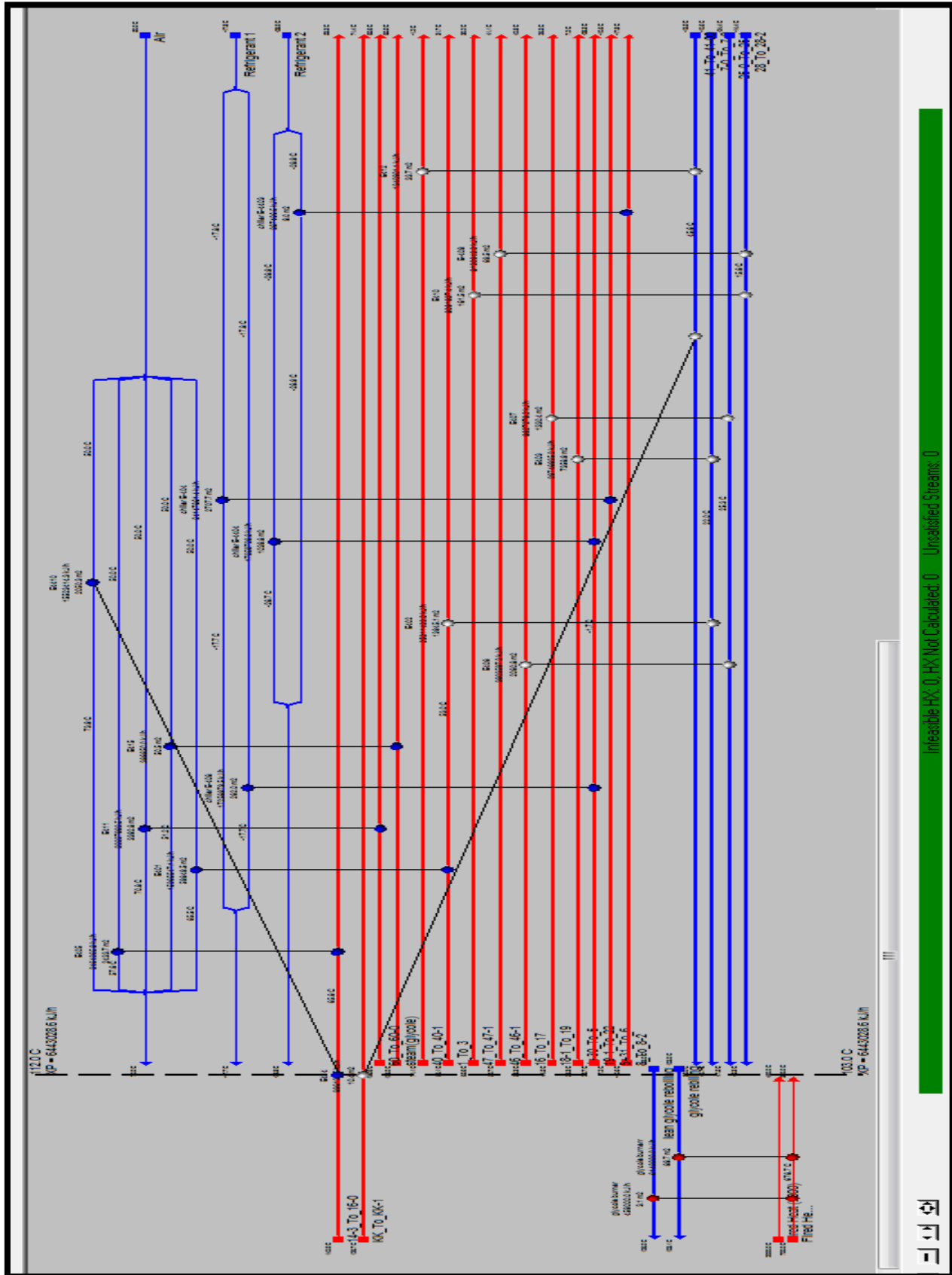
۳-۵- آنالیز پینچ :

همانطور که از قبل در مورد قوانین پینچ اطلاع دارید و در پیوست هم به آن کامل پرداخته شده است، قوانین طلایی پینچ قوانینی هستند که اگر فرایند سایت از آن‌ها پیروی کند، کمترین میزان مصرف انرژی را به دنبال خواهد داشت. این قوانین عبارت بودند از:

- ۱- هیچ حرارتی از نقطه پینچ نباید عبور کند.
- ۲- از هیچ یوتیلیتی گرمی در پایین پینچ نباید استفاده شود.
- ۳- از هیچ یوتیلیتی سردی در بالای پینچ نباید استفاده شود.

حال باید بررسی شود که آیا فرایند سایت موجود از این قوانین پیروی می‌کند؟

- با بررسی کامل سایت و تمام دماهای جریان‌ها و بررسی یوتیلیتی‌های گرم، اطمینان حاصل می‌شود که از یوتیلیتی‌های گرم که از دمای نقطه پینچ بسیار بالاتر است فقط برای جوشاندن گلایکول استفاده می‌شود که دمایش 103°C است که بالای نقطه پینچ است. پس قانون دوم رعایت شده است.



شكل (۳-۱۰) : نمودار شبکه ای و مشاهده

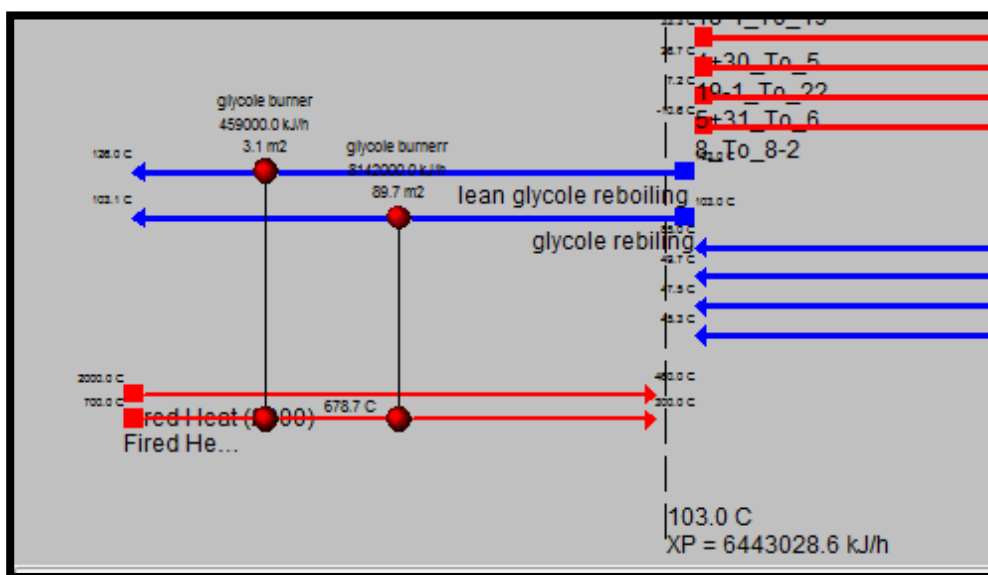
- اما در بالای پینچ ۲ یوتیلیتی سرد استفاده شده است که ناقض قانون سوم پینچ

است. (مبدل E414 و ایرکولر E4410)

در شکل (۱۰-۳) می بینیم که دو مبدل E414 و ایرکولر E4410 ایجاد کراس پینچ نموده اند. نقطه پینچ را قطع کرده اند. که این به معنی انتقال حرارت از نقطه پینچ می باشد.

میزان انتقال حرارت عبوری از نقطه پینچ 6443028.6 kJ/hr می باشد. این انرژی عبوری از نقطه پینچ در واقع باعث می شود که به همان میزان یوتیلیتی سرد اضافه لازم است تا بتوان آن را از فرایند دفع کرد و بالعکس اگر از جنس سرما باشد به همان میزان یوتیلیتی گرم اضافه لازم است تا بتوان آن را از فرایند دفع کرد. (مراجعه به فصل اول پیوست-آشنایی با قوانین

(پینچ)



شکل (۱۱-۳) : نمودار شبکه ای خط پینچ و میزان انرژی عبوری از پینچ

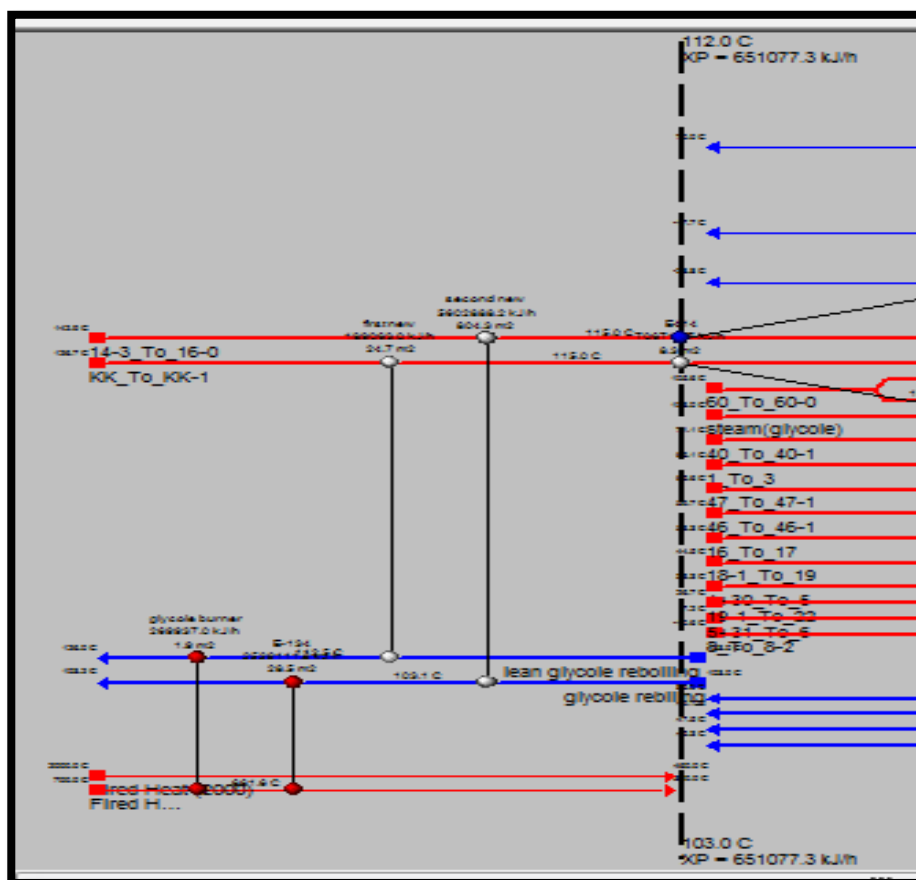
این انرژی که میزان کمی هم نیست، برایندی از انرژی های سرمایی و گرمایی است که قصد عبور از نقطه پینچ را دارند. که در اینجا می بینیم مربوط به دو مبدل E414 و E4410 می باشد.

	112.00 C / 103.00 C
Total Network Cross Pinch Load [kJ/h]	6.443e+006
E4410 [kJ/h]	6.205e+006
E414 [kJ/h]	2.377e+005
E403 [kJ/h]	0.0000
chiller E-4404 [kJ/h]	0.0000
glycole burnerr [kJ/h]	0.0000
E402 [kJ/h]	0.0000
E412 [kJ/h]	0.0000
E406 [kJ/h]	0.0000
chiller E-4403 [kJ/h]	0.0000
E415 [kJ/h]	0.0000
chiller E-408 [kJ/h]	0.0000
E-409 [kJ/h]	0.0000
E411 [kJ/h]	0.0000
E401 [kJ/h]	0.0000
glycole burner [kJ/h]	0.0000
E410 [kJ/h]	0.0000
E405 [kJ/h]	0.0000
E407 [kJ/h]	0.0000
chiller E-404 [kJ/h]	0.0000

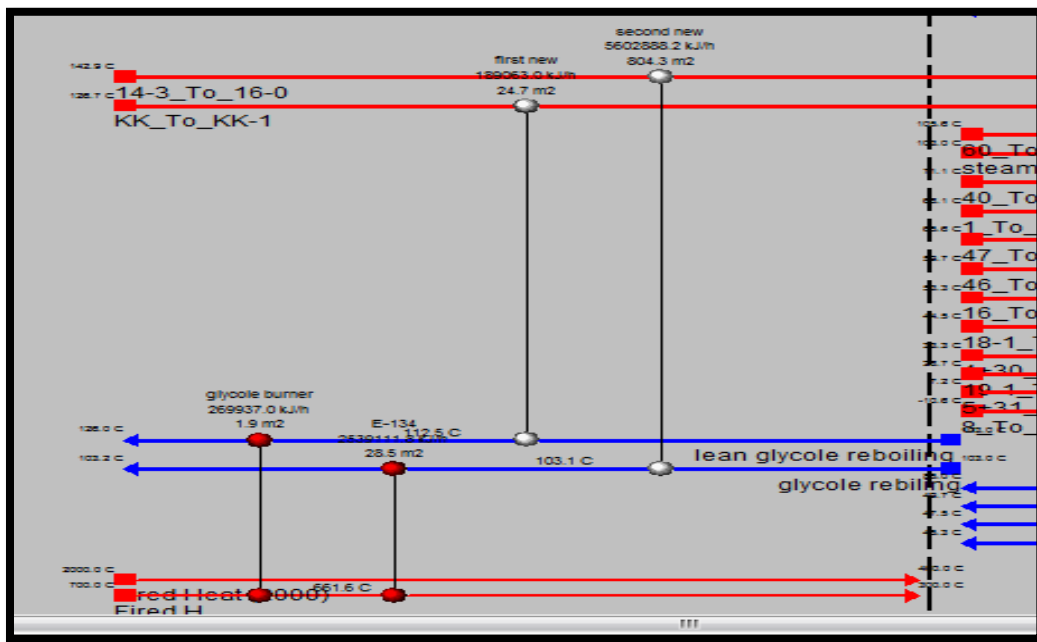
شکل (۱۲-۳) : سهم هر تجهیز در انتقال حرارت از نقطه پینچ
حال باید به این مطلب پرداخت که چگونه می توان قانون نقض شده را برطرف نمود و فرایند پینچ را تکمیل نمود. همانطور که مشاهده می شود طبق اشکال زیر می توان نمودار شبکه ای را به ۲ قسمت بالای پینچ و پایین پینچ تقسیم نمود.

ایرکولر E4410 دمای جریان 14-3 to 16-0 (جریان 14-3 to 16-0) را که پس عبور از توربومپرسور و افزایش فشار به 143°C رسیده است را به دمای 65.6°C می رساند که اتلاف انرژی زیادی را به همراه دارد و مبدل E414 نیز جریان خروجی از مبدل E412 را

که حاوی گلایکول است را با Lean Glycol سرد می‌کند. برای رفع این ایراد واردہ و اصلاح شبکه ساختاری مبدل‌ها به روش زیر عمل شده است :



شکل (۳-۳) : نمودار شبکه ای در بالای نقطه پینچ



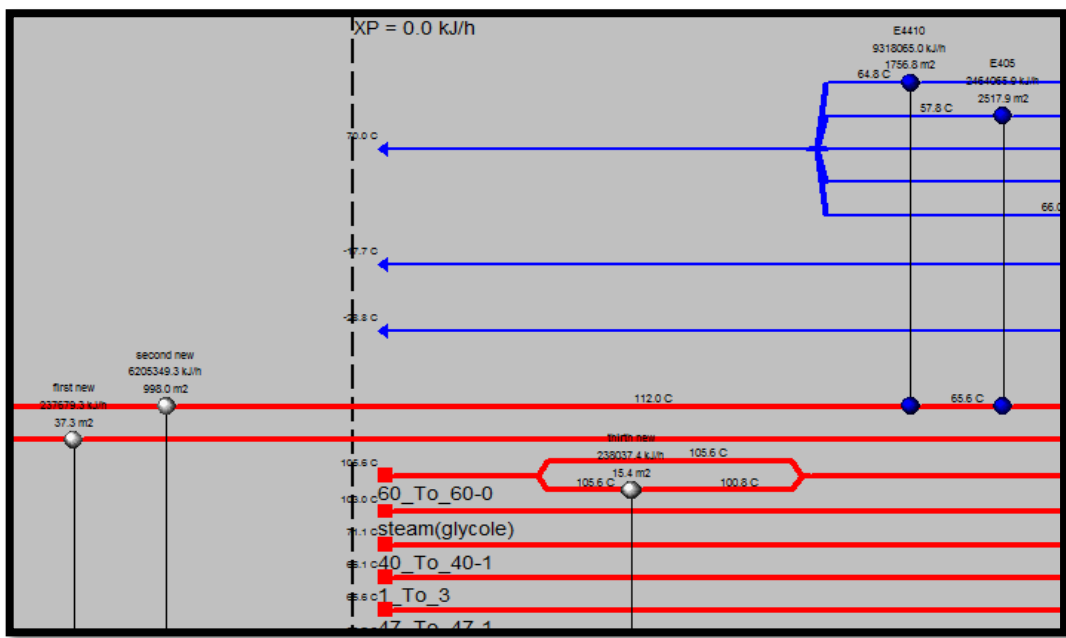
شکل (۳-۱۴) : نمودار شبکه ای اصلاح شده در بالای نقطه پینچ

برای اینکه در نقطه پینچ انتقال حرارتی توسط جریان ها بوجود نیاید، باید دمای جریان ها را در این نقطه به دمای پینچ رساند؛ یعنی دمای جریان قبل از رسیدن به نقطه پینچ و پس از عبور از نقطه پینچ برابر دمای نقطه پینچ باشد. در اینجا چون دمای نقطه پینچ جریان های گرم ۱۱۲°C و دمای پینچ جریان های سرد ۱۰۳°C است پس برای اینکه انتقال حرارتی در پینچ نداشته باشد، جریان های گرم با دمای بیش از دمای پینچ را ابتدا تا دمای پینچ، سرد نموده ۱۰۳°C (و جریان های سرد را که تا دمای بالای پینچ قرار است گرم شوند، تا دمای ۱۱۲°C) گرم می شوند تا جریان هنگام عبور از پینچ با پینچ همدمبا بوده و حرارتی در آن نقطه منتقل نشود. پس از اینکه جریان عبوری از نقطه پینچ با همان نقطه پینچ همدمبا شد دیگر حرارتی عبور نخواهد کرد و جریان ها را پس از عبور از پینچ را میتوان مجددا سرد و یا گرم کرد.

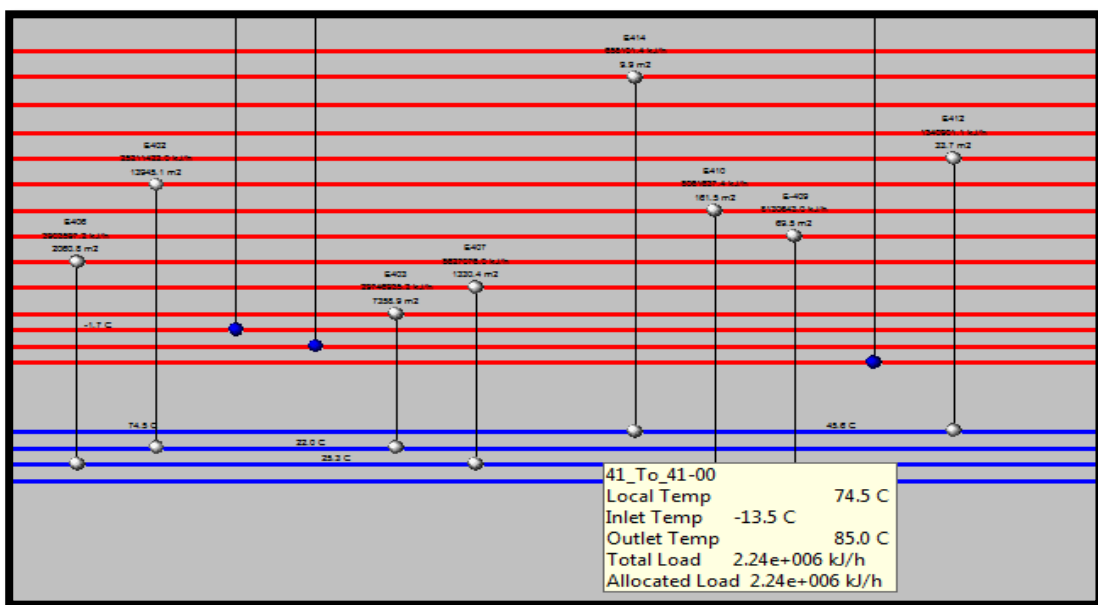
الف) اصلاح شبکه مبدل ها در بالای پینچ :

جريان گرم *KK to kk-1* (جريان خروجی از مبدل E412 و ورودی به E414) که دمای 126.7 °C دارد را با یک مبدل **First New** (به جريان Lean Glycol با دمای 103°C متصل کرده تا دمای جريان گرم به 112°C رسیده و دمای جريان سرد هم به 114.9 °C می‌رسد و جريان سرد بقیه حرارت مورد نیاز جهت گرمایش را از مشعل‌ها دریافت می‌کند. (بار مشعل هم در نتیجه کم شده است چون در حالت اولیه، تمام گرما از مشعل دریافت می‌شد). (شكل ۱۳-۳)

و جريان گرم *14-3 to 16-0* که دمایش 143°C است را با یک مبدل **Second New** (به جريان سرد Glycol reboiling که دمای 103.1°C داشته، وصل نموده تا دمای جريان گرم به 112°C رسیده و دمای جريان سرد به 103.2 °C برسد (بخار آب خروجی از ریبویلر گلایکول است که علت تغییر دمای ناچیز گرمای نهان آب می‌باشد). (شكل ۱۳-۳)



شکل (۱۵-۳) : نمایی از مبدل **E4410** و **Second new** روى جريان **14-3 to 16-0** و نقطه پینچ گرم



شکل (۱۶) : نمایی از مبدل **E414** روى جريان سرد **41 to 41-00** و جريان هرگز

ب) اصلاح شبکه مبدل ها در پایین پینچ :

در پایین پینچ هم مبدل E4410 که تا کنون می‌بایست دمای جریان گرم 14-3 to 16-جریان (Rich Gas Second Stage) را از 143°C به 65.6°C برساند اکنون بار کمتری دارد و باید از دمای

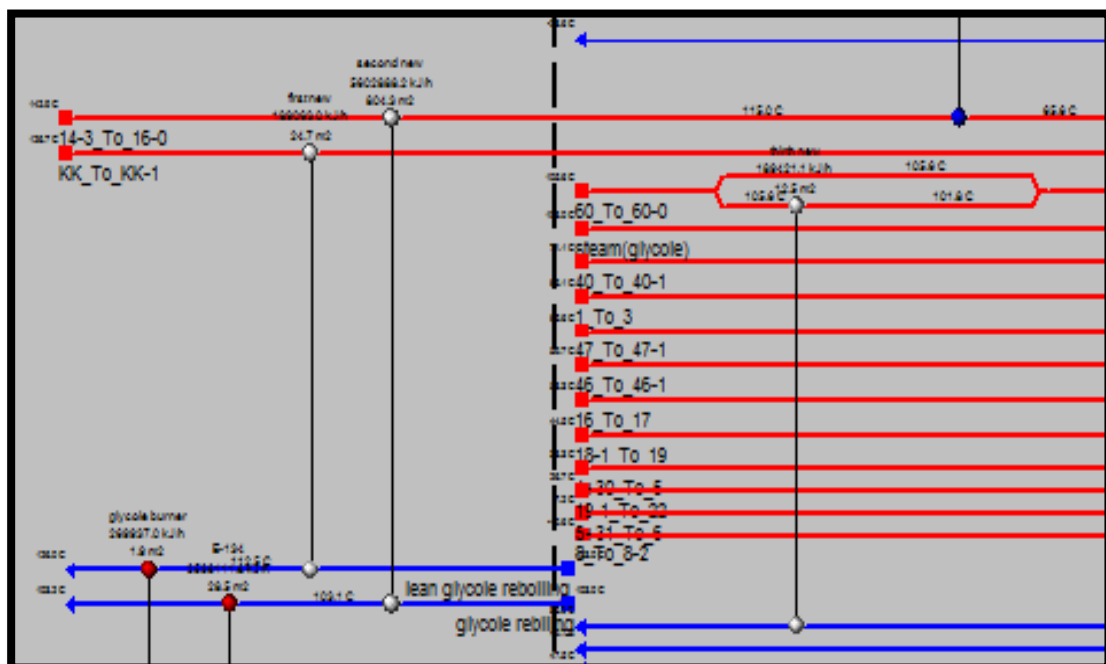
112°C به دمای 65.6°C برساند (چون قبل تر مبدل Second New در بالای پینچ دما را به 112°C رسانده بود).

و مبدل E414 هم که در حالت اولیه دمای جریان گرم (جریان خروجی از مبدل E412 و ورودی به $E414$) را از 71.4°C به 126.7°C می‌رساند، اکنون بار کمتری دارد و باید از دمای 112°C

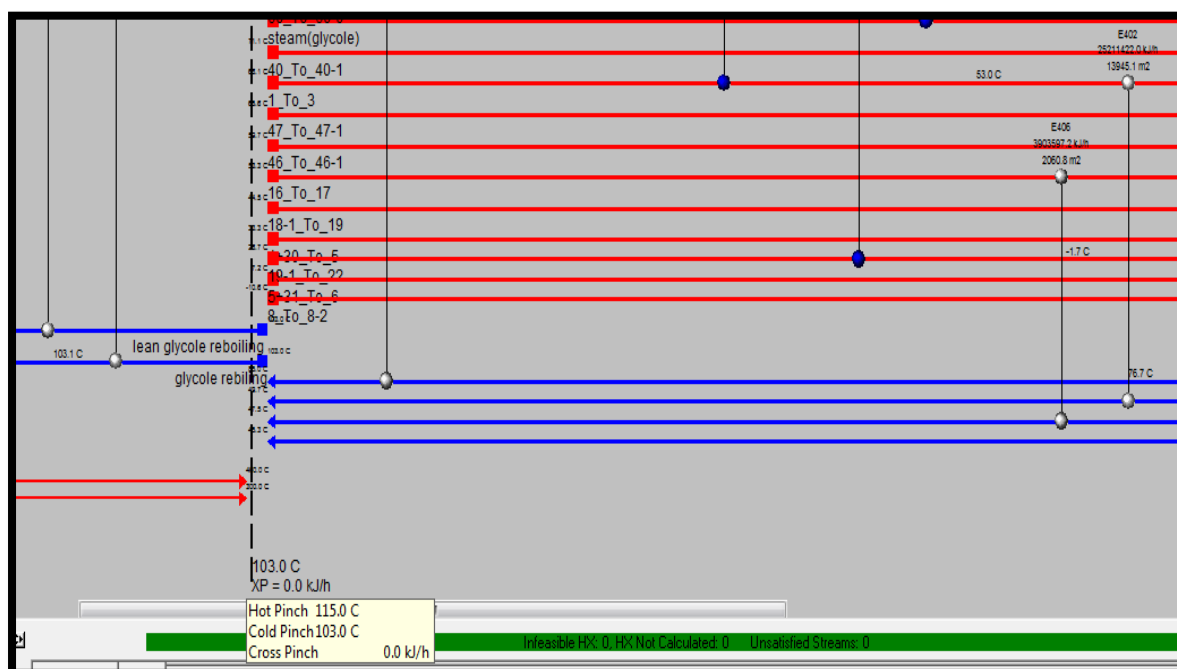
دمای جریان سرد (چون قبل تر مبدل First New در بالای پینچ دما را به 112°C رسانده بود) و دمای جریان سرد $41-00$ را از 45.6°C به 74.5°C می‌رساند.

در حالت قبل چون بار مبدل E414 بیشتر بود می‌توانست دمای جریان سرد $41-00$ را از 45.6°C به 85°C برساند اما اکنون جریان سرد دمایش کمتر است. برای جبران این حالت باید از یک مبدل دیگر استفاده کرد. اما اگر دقت شود دریافتیه می‌شود که جریان گرم $60-00$ که مبدل E411 در مسیر آن قرار دارد و گاز پروپان را پس از کمپرسور خنک می‌کند باید از دمای 105.6°C به 65.6°C برساند که می‌توان از گرمای این جریان بهره برد. با قرار دادن مبدل Third New می‌توان دمای جریان $41-00$ را به 85°C رساند که بار ایرکولر E411 را به میزان $238037 \frac{kj}{hr}$ کاهش می‌دهد.

با این تغییرات مشاهده می‌شود که اکنون Cross Pinch به عدد صفر می‌رسد چون دیگر هیچ حرارتی از نقطه پینچ عبور نمی‌کند. (شکل ۱۸-۳)



شکل (۱۷-۳) : نمایی از مبدل Third New روی جریان 60 to 60-0 و جریان سرد 41 to 41-00



شکل (۱۸-۳) : نمودار شبکه ای در حالتی که دیگر Cross Pinch وجود ندارد

۳-۶- محاسبات انرژی و اقتصادی و طراحی مبدل در نقطه پینچ :

با توجه به محاسبات انجام شده و میزان صرفه‌جویی‌هایی که با قرار دادن مبدل‌های جدید در فرایند حاصل شد اکنون باید به بررسی اقتصادی بودن این امکان‌سنجی بپردازیم.

استفاده از گرمای فرایندی جریان گرم 14-3 to 16-0 (جریان گاز غنی ورودی مرحله دوم) بود که از 142.9°C به 112°C می‌رسد. در بخش قبل گفته شد که سرمایش این گاز از دمای 142.9°C تا دمای 65.6°C تماماً بر عهده ایرکولر E4410 بوده که اکنون با کاهش دمای سیال به 115°C ، بار این ایر کولر به میزان 40% کاهش یافته (از $15523414 \frac{kJ}{hr}$ به $9318065 \frac{kJ}{hr}$ کاهش داشته است).

مجموعه ایرکولر E4410 دارای ۴ فن به قدرت 22kw می‌باشد که با توجه به اینکه بار مبدل کاهش یافته می‌توان یک یا دو عدد از فن‌ها را از مدار خاموش کرد. با فرض اینکه ۱ فن تمام وقت و یک فن نیمه وقت خاموش شود و اینکه قیمت هر کیلووات ساعت انرژی الکتریکی برابر 1200IRR باشد، داریم :

$$P_1 = \text{Electric price}$$

$$= 1.5 * 22 \text{ kw}(fan power) * \frac{1200(IRR)}{kwh} * 24 \text{ hr} \\ * 330 \text{ days} = 313 * 10^6 \text{ Rials}$$

همچنین از این میزان حرارت دفع شده از جریان که توسط مبدل second new که در جای دیگری استفاده شده است، میزان انرژی گرمایی صرفه‌جویی شده برابر است با $6205349 \frac{kJ}{hr}$ که طبق محاسبات زیر معادل 148 m^3 گاز می‌باشد.

(ارزش حرارتی گاز بر اساس آمار آنالیز آزمایشگاه برابر است با $10055 \frac{\text{k cal}}{\text{m}^3}$)

$$10055 \text{ } k\text{cal}/m^3 * 4.18 \text{ } kj/kcal = 42030 \text{ } kj/m^3$$

$$\frac{6205349 \text{ } kj/hr}{42030 \text{ } kj/m^3} = 148 \text{ } m^3/\text{hr}$$

با فرض ارزش هر متر مکعب گاز برابر ۲۰۰۰ ریال داریم :

$$\begin{aligned} P2 = Gas price &= 148 \text{ } m^3/\text{hr} * \frac{2000(IRR)}{m^3} * 24 \text{ hr} * 330 \text{ days} \\ &= 2.344 * 10^9 IRR \end{aligned}$$

$$Total Price = P1 + P2 = 2.657 * 10^9 IRR$$

حال باید هزینه ساخت مبدل Second New را که توانسته این حرارت را بازیابی کند بدست آورد، تا بتوان نرخ بازگشت سرمایه را تخمین زد.

با توجه به طراحی انجام شده، گزینه های مختلف طراحی با قیمت های متفاوتی وجود دارد که گزینه انتخابی قیمتی معادل \$ 41990 می باشد . با فرض قیمت هر دلار برابر ۲۴۵۰۰ ریال، داریم :

$$41990 * 24500 = 103 * 10^7 IRR$$

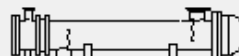
که بازگشت سرمایه مطابق زیر محاسبه می شود:

$$P.B = \frac{103 * 10^7}{2.657 * 10^9} = 0.38 \text{ year} = 141 \text{ day} \cong 5 \text{ month}$$

جدول (۴-۲) : لیست انواع مبدل طراحی شده به عنوان Second new به همراه قیمت مبدل

Current selected case:		30								Select		
	Shell	Tube Length		Pressure Drop		Baffle		Tube		P	S	Total
	Size	Actual	Reqd.	Shell	Tube	Spacing	No.	Pass	No.			Price
	mm	mm	mm	bar	bar	mm						Dollar(US)
1	700	6000	2371.4	1.02499*	0.90006*	640.08	8	8	484	1	1	41910
2	750	6000	2075.1	0.99186*	0.63474*	618.74	8	8	573	1	1	47860
3	750	5500	2041.9	1.10649*	0.59325*	544.58	8	8	573	1	1	46430
4	750	5000	2114.3	0.73395*	0.55155*	662.43	6	8	573	1	1	44980
5	750	4500	2075	0.83356*	0.51005*	561.85	6	8	573	1	1	43600
6	800	6000	1891.9	0.92585*	0.46761*	615.7	8	8	664	1	1	53370
7	800	5500	1861.2	1.03453*	0.43707*	540.51	8	8	664	1	1	51790
8	800	5000	1929.2	0.68584	0.40672*	657.35	6	8	664	1	1	50180
9	800	4500	1891.3	0.77704*	0.37617*	557.78	6	8	664	1	1	48810
10	800	4000	1888.2	0.87606*	0.34569*	457.2	6	8	664	1	1	47270
11	800	3500	1938	0.5261	0.31527*	596.39	4	8	664	1	1	45610
12	800	3000	1950.6	0.63132	0.2848*	429.77	4	8	664	1	1	44130
13	850	6000	1723.4	0.86002*	0.34825*	612.65	8	8	766	1	1	59300
14	850	5500	1697.4	0.95942*	0.32556*	539.5	8	8	766	1	1	57790
15	850	5000	1755	0.64028	0.30321*	655.32	6	8	766	1	1	55760
16	850	4500	1724.5	0.72728*	0.28052*	555.75	6	8	766	1	1	54250
17	850	4000	1728.1	0.81513*	0.25795*	455.17	6	8	766	1	1	52550
18	850	3500	1766.2	0.50045	0.23547*	592.33	4	8	766	1	1	50710
19	850	3000	1788.5	0.59632	0.21292*	425.7	4	8	766	1	1	49060
20	900	6000	1601.3	0.78846*	0.26445*	610.62	8	8	876	1	1	65940
21	900	5500	1578.5	0.88099*	0.24727*	536.45	8	8	876	1	1	64260
22	900	5000	1630.8	0.58456	0.23046*	651.26	6	8	876	1	1	62030
23	900	4500	1604.3	0.66605	0.21328*	550.67	6	8	876	1	1	60360
24	900	4000	1610.3	0.74547*	0.19625*	451.1	6	8	876	1	1	58680
25	900	3500	1643.1	0.45556	0.17928*	585.22	4	8	876	1	1	56450
26	900	3000	1669.2	0.54508	0.16227*	418.59	4	8	876	1	1	54770

Heat Exchanger Specification Sheet

1	2	3	4	5
6	Size 930 - 4500	mm	Type AES	hor Connected in 1 parallel 1 series
7	Surf/unit(eff.) 272.2	m ²	Shells/unit 1	Surf/shell (eff.) 272.2 m ²
PERFORMANCE OF ONE UNIT				
9	Fluid allocation	Shell Side		Tube Side
10	Fluid name	gas		water
11	Fluid quantity, Total	kg/s	24.6361	0.9963
12	Vapor (In/Out)	kg/s	24.6361	0.7774
13	Liquid	kg/s		0.9963 0.2189
14	Noncondensable	kg/s		
15				
16	Temperature (In/Out)	°C	143 112.82	103 103.08
17	Dew / Bubble point	°C		37
18	Density	kg/m ³	13.73 14.95	956.54 0.66
19	Viscosity	mPa s	0.0134 0.0126	0.2768 0.0124
20	Molecular wt, Vap			
21	Molecular wt, NC			
22	Specific heat	kJ/(kg K)	2.399 2.293	4.197 2.09
23	Thermal conductivity	W/(m K)	0.0432 0.0389	0.6792 0.0248
24	Latent heat	kJ/kg		2243.9 2243.7
25	Pressure	bar	17	1.15
26	Velocity	m/s	11.24	43.71
27	Pressure drop, allow./calc.	bar	0.68948 0.61676	0.0575 0.16622
28	Fouling resist. (min)	m ² K/W		
29	Heat exchanged	1500000 kcal/h	MTD corrected	
30	Transfer rate, Service	297.4	Dirty 943.6	Clean 943.6 W/(m ² K)
CONSTRUCTION OF ONE SHELL				
31		Sketch		
32		Shell Side	Tube Side	
33	Design/Test pressure	bar	7.92637 / /Code	
34	Design temperature	°C	176.67 137.78	
35	Number passes per shell		1 8	
36	Corrosion allowance	mm	1.59 1.59	
37	Connections	In	457.2/300 ANSI 50.8/150 ANSI	
38	Size/rating	Out	457.2/300 ANSI 203.2/150 ANSI	
39	mm /	Intermediate	/300 ANSI /150 ANSI	
40	Tube No. 992	OD 20	Tks-avg 1.65 mm Length 4500 mm Pitch 25 mm	
41	Tube type Plain		Material CS	Tube pattern 30
42	Shell CS	ID	OD 950 mm	Shell cover CS
43	Channel or bonnet CS			Channel cover CS
44	Tubesheet-stationary CS			Tubesheet-floating CS
45	Floating head cover CS			Impingement protection None
46	Baffle-crossing CS	Type single seg	Cut(%d) 25 hor	Spacing: c/c 546.61 mm
47	Baffle-long		Seal type	Inlet 942.22 mm
48	Supports-tube	U-bend	Type	
49	Bypass seal		Tube-tubesheet joint	groove/expand
50	Expansion joint		Type	
51	RhoV2-Inlet nozzle	1946	Bundle entrance 2255	Bundle exit 3845 kg/(m ² s)
52	Gaskets - Shell side		Tube Side	
53	Floating head			
54	Code requirements	ASME Code Sec VIII Div 1		TEMA class B
55	Weight/Shell	7420.5	Filled with water 11017.5	Bundle 4129.2
56	Remarks			

شكل(٣-١٩) : دیتا شیت طراحی مبدل Second New

در ادامه با انجام همان مراحل برای مبدل First New اقتصادی بودن یا نبودن این پروژه هم بررسی می شود. انرژی بازیافت شده در این مبدل برای اینکه جریان KK to KK-0 را از دمای

$$126.7^{\circ}\text{C} \text{ به دمای } 112^{\circ}\text{C} \text{ برساند برابر } 237679.3 \frac{kj}{hr} \text{ می باشد که :}$$

$$\frac{237679 \frac{kj}{hr}}{42030 \frac{kj}{m^3}} = 5.7 \text{ m}^3/\text{hr} = 45150 \text{ m}^3/\text{year}$$

که ارزشی معادل با 90,000,000 IRR/ year می باشد.

با توجه به طراحی انجام شده، هزینه ساخت مبدل برابر \$ 7180 می باشد که بازگشت سرمایه به قرار زیر خواهد بود.

$$P = 7180 * 24500 = 175.9 M IRR$$

$$P.B = \frac{175.9 M IRR}{90 M IRR} \cong 2 \text{ year}$$

جدول (۳-۳) : لیست انواع مبدل طراحی شده به عنوان First new به همراه قیمت مبدل

Current selected case:		3										Select
	Shell	Tube Length		Pressure Drop		Baffle		Tube		Units		Total
	Size	Actual	Reqd.	Shell	Tube	Spacing	No.	Pass	No.	P	S	Price
	mm	mm	mm	bar	bar	mm						Dollar(US)
1	168.28	3500	1295.8	0.67617	0.56699*	57.91	56	4	36	1	1	7490
2	168.28	3000	1284.9	0.67093	0.49708*	53.85	51	4	36	1	1	7180
3	168.28	3000	1478.7	0.67414	0.05875	53.85	51	2	42	1	1	7280

Heat Exchanger Specification Sheet

شکا، (۳-۲۰) : دیتا شست طاحه، میدا

در نهایت با انجام مراحل طراحی برای مبدل Third New اقتصادی بودن یا نبودن این پروژه نیز بررسی می‌شود. انرژی بازیافت شده توسط این مبدل برای اینکه جریان 41-00 to 41 را از

دما $^{\circ}\text{C}$ 76.4 به دما $^{\circ}\text{C}$ 85 برساند برابر $\frac{238037 \text{ kJ}}{\text{hr}} = 5.66 \text{ m}^3/\text{hr} = 44855 \text{ m}^3/\text{yr}$ می‌باشد که :

$$\frac{238037 \text{ kJ}}{42030 \text{ kJ}} = 5.66 \text{ m}^3/\text{hr} = 44855 \text{ m}^3/\text{yr}$$

که ارزشی معادل با 89,700,000 IRR/year می‌باشد.

چون میزان دبی پروپان جریان 60 to 60-0 خروجی از کمپرسور C40I نسبت به جریان 41 to 41-00 زیاد است اگر تمام جریان 60 to 60-0 وارد مبدل شود، مبدل بزرگی باید طراحی شود که قیمت آن بسیار بالاست و از نظر اقتصادی بهصرفه نیست. بنابراین بهترین راه این است که انشعابی از جریان 60 to 60-0 به میزان 0.1 کل دبی آن جریان گرفته شده و از گرمای آن بهره برده شود که قیمت آن به مراتب کمتر است. مبدلی که با توجه به این موضوع طراحی شد هزینه ساختی معادل \$9710 دارد که بازگشت سرمایه آن به قرار زیر می‌باشد .

جدول (۴-۳) : لیست انواع مبدل طراحی شده به عنوان third new به همراه قیمت مبدل

Current selected case:		6		Select							
Shell	Tube Length	Pressure Drop		Baffle		Tube		Units		Total	
Size	Actual	Reqd.	Shell	Tube	Spacing	No.	Pass	No.	P	S	Price
mm	mm	mm	bar	bar	mm						Dollar(US)
1	219.08	6000	826.7	0.64603	1.22849*	305.82	18	6	54	1	10730
2	219.08	5500	805	0.8048*	1.13575*	288.54	18	6	54	1	10510
3	219.08	5000	807.9	0.73677*	1.04315*	293.62	16	6	54	1	10240
4	219.08	4500	811.7	0.66305	0.95054*	299.72	14	6	54	1	9970
5	219.08	4000	816	0.57335	0.85793*	305.82	12	6	54	1	9710
6	219.08	4000	682.4	0.59176	0.16841	305.82	12	4	72	1	10040

Heat Exchanger Specification Sheet

1									
2									
3									
4									
5									
6	Size	205 - 4000	mm	Type	BEM	hor	Connected in	1 parallel	1 series
7	Surf./unit(eff.)	14.3	m ²	Shells/unit	1		Surf/shell (eff.)	14.3	m ²
8	PERFORMANCE OF ONE UNIT								
9	Fluid allocation			Shell Side			Tube Side		
10	Fluid name								
11	Fluid quantity, Total		kg/s		6.0694			1.9403	
12	Vapor (In/Out)		kg/s	6.0694		6.0694			
13	Liquid		kg/s				1.9403		1.9403
14	Noncondensable		kg/s						
15									
16	Temperature (In/Out)		*C	105.6		100.7	76.7		85
17	Dew / Bubble point		*C						
18	Density		kg/m ³	44.61		45.85	975.57		969.93
19	Viscosity		mPa s	0.0114		0.0113	0.3727		0.3312
20	Molecular wt, Vap								
21	Molecular wt, NC								
22	Specific heat		kJ/(kg K)	2.274		2.264	4.187		4.189
23	Thermal conductivity		W/(m K)	0.03		0.0294	0.6598		0.6668
24	Latent heat		kJ/kg						
25	Pressure		bar	25			1.5		
26	Velocity		m/s		8.1			0.98	
27	Pressure drop, allow./calc.		bar	0.68948		0.59176	0.6		0.16841
28	Fouling resist. (min)		m ² K/W						
29	Heat exchanged	67.4	kW			MTD corrected		21.95	*C
30	Transfer rate, Service	215.3		Dirty	1357.7	Clean	1357.7		W/(m ² K)
31	CONSTRUCTION OF ONE SHELL						Sketch		
32			Shell Side		Tube Side				
33	Design/Test pressure	bar	6.88955/	/Code	5.17107/	/Code			
34	Design temperature	*C	143.33		121.11				
35	Number passes per shell		1		4				
36	Corrosion allowance	mm	1.59		1.59				
37	Connections	In	152.4/300 ANSI		50.8/150 ANSI				
38	Size/rating	Out	152.4/300 ANSI		50.8/150 ANSI				
39	mm /	Intermediate	/300 ANSI		/150 ANSI				
40	Tube No. 72	OD 16	Tks-min 2	mm	Length 4000	mm	Pitch 18	mm	
41	Tube type Plain		Material CS			Tube pattern	30		
42	Shell CS	ID	OD 219.08	mm	Shell cover				
43	Channel or bonnet	CS			Channel cover				
44	Tubesheet-stationary	CS			Tubesheet-floating				
45	Floating head cover				Impingement protection	None			
46	Baffle-crossing	CS	Type single seg	Cut(%d)	43	hor Spacing: c/c	305.82	mm	
47	Baffle-long		Seal type		Inlet		289.44	mm	
48	Supports-tube	U-bend		Type					
49	Bypass seal		Tube-tubesheet joint		groove/expand				
50	Expansion joint		Type						
51	RhoV2-Inlet nozzle	2484	Bundle entrance	6918		Bundle exit	6731		kg/(m s ²)
52	Gaskets - Shell side		Tube Side						
53	Floating head								
54	Code requirements	ASME Code Sec VIII Div 1			TEMA class	B			
55	Weight/Shell	544.9	Filled with water	656	Bundle	240.8			kg

شكل (٢١-٣) : ديتا شيت طراحي مبدل

$$P = 9710 * 24500 = 237.9 M IRR$$

$$P.B = \frac{237.9 M IRR}{89.7 M IRR} = 2.65 year = 32 month$$

حال اگر محاسبات اقتصادی به صورت کلی انجام شود که در آن قوانین پینچ رعایت شده باشد یعنی جمع کل هزینه‌ها و جمع کل بازیافت‌ها و نتیجه نهایی و بازگشت سرمایه کلی را محاسبه کند، نتایج زیر بدست می‌آیند :

$$P.B_{total} = \frac{(237.9 + 175.9 + 1030) M IRR}{(98.7 + 90 + 2657) M IRR} = \frac{1793.8}{2462.56} = 0.51 year \\ \cong 6 month$$

لازم به ذکر است که در این طراحی‌ها ، سطح مورد نیاز مبدل‌های E414,E4410 نیز کوچکتر می‌شود که چون تعویض آن‌ها در شرایط کنونی هزینه‌بر است بهتر است از همین مبدل‌ها استفاده نمود و در صورت فرسودگی پس از سال‌ها استفاده، می‌توان مبدل‌های جدید را با مقیاس کوچکتر تهیه نمود.

۷-۳- محاسبات انرژی بازیافت حرارت^۱ :

۷-۳-۱- محاسبات مشعل گلایکول :

در اینجا به محاسبه میزان مصرف گاز در جوشاننده گلایکول که به عنوان یوتیلیتی گرم در سایت موجود است پرداخته می‌شود .

لازم به ذکر است که آمار و ارقامی که در خیل محاسبات در نظر گرفته شده است اطلاعات آماری است که توسط کارشناس فنی گزارش شده است و بسیاری از اطلاعات موجود نیز از PFD هایی که از نقشه قابل خواندن است استناد شده است.

جدول (۳-۵) : مشخصات گاز مصرفی مشعل های گلایکول

0.35-0.4 MMSCFD	میزان گاز مصرفی (طبق آمار دریافتی از مسئول مربوطه)	۱
200 PSIG	فشار گاز قبل از شیر فشار شکن	۲
Lean gas first stage	نوع گاز	۴
10055 k cal/ m^3	ارزش حرارتی گاز بر اساس آمار آنالیز آزمایشگاه	۵
10 PSI g=24.7psi A=168 kpa	فشار گاز ورودی به مشعل ها	۶
305 k	دماهی گاز پس از افت فشار(شبیه سازی Aspen (plus	۷

مأخذ جدول : تمام موارد بجز شماره ۷ از کارشناسان فنی واحد NGL400

برای اینکه بتوان میزان گاز مصرفی را بر اساس حجم در فشار و دماهی استاندارد بدست آورد
باید از رابطه بولی مارویت استفاده کرد و با این فرض که گاز first stage Lean gas گاز ایده
آل فرض شود.

با توجه به اینکه مقدار گاز مصرفی برابر $400,000 \frac{ft^3}{day}$ می باشد، باید میزان مصرف را بر
حسب متر مکعب در ساعت و در فشار اتمسفر محاسبه نمود :

$$400000 \left(\frac{ft^3}{day} \right) \times 0.028 \left(\frac{m^3}{ft^3} \right) \times \frac{1}{24} \left(\frac{day}{hr} \right) \approx 470 \frac{m^3}{hr}$$

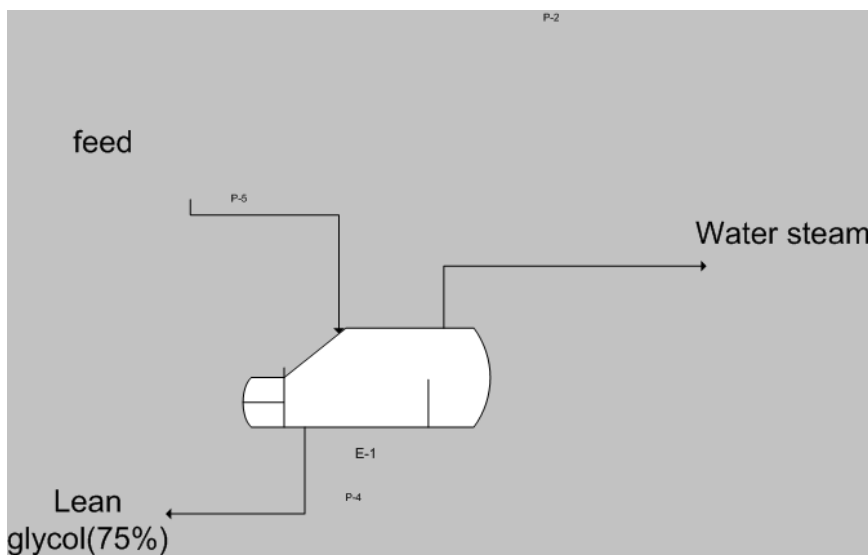
با توجه به میزان مصرف گاز، میزان انرژی مصرف شده در جوشاننده گلایکول را محاسبه کنیم :

$$\dot{Q}_{total} \left(k \frac{cal}{hr} \right) = \dot{m} \left(m^3 / hr \right) * \bar{h} \left(k \frac{cal}{m^3} \right) \quad (10-3)$$

\bar{h} = ارزش حرارتی سوخت

$$Q_{total} = 470 \left(m^3 / hr \right) * 10055 \left(k \frac{cal}{m^3} \right) = 4.726 * 10^6 \left(k \frac{cal}{hr} \right)$$

$$= 19.754 * 10^6 \text{ (} \frac{\text{kJ}}{\text{hr}} \text{)}$$



شکل (۲۲-۳) : جوشاننده گلایکول

جدول (۳-۶) : مشخصات فید ورودی و محصولات خروجی جوشاننده گلایکول

T=218 F=103°C	سیال ورودی (Feed)
P=17 psia =1.15 bar	
$\dot{V} = 23522 \text{ lb/hr} = 10669.6 \text{ kg/hr}$	
T=218 F=103°C	سیال ۲ (water steam)
P=17 psia =1.15 bar	
$\dot{V} = 7900 \text{ lb/hr} = 3586.6 \text{ kg/hr}$	
T=260 F=127°C	سیال ۳ (Lean Glycol)
P=17 psia =1.15 bar	
$\dot{V} = 15622 \text{ lb/hr} = 7092.4 \text{ kg/hr}$	

مأخذ جدول بالا : [12]

میزان حرارت دریافتی (مورد نیاز) جریان ۲ : (water steam)

در جریان ۲ دما تغییری نمی‌کند فقط آب از حالت مایع به بخار تبدیل می‌شود.

$$Q_2 \left(\frac{\text{kJ}}{\text{hr}} \right) = m_{steam} \left(\frac{\text{kg}}{\text{hr}} \right) * L_f \left(\frac{\text{kJ}}{\text{kg}} \right) \quad (11-3)$$

$$Q_2 = 3586.6 \left(\frac{\text{kg}}{\text{hr}} \right) * 2270 \left(\frac{\text{kJ}}{\text{kg}} \right) = 8.142 * 10^6 \text{ kJ/hr}$$

چون جریان ۳، گلایکول با غلظت ۷۵٪ می‌باشد، بنابراین به همان نسبت جرمی گلایکول و ۲۵٪ جرم باقیمانده آب است. این جریان از دمای ۱۰۳°C به دمای ۱۲۷°C می‌رسد:

حرارت دریافتی جریان ۳(آب):

$$Q_3 \left(\frac{\text{kJ}}{\text{hr}} \right) = m \left(\frac{\text{kg}}{\text{hr}} \right) * C_p \left(\frac{\text{kJ}}{\text{kg} \cdot \text{°C}} \right) * (\Delta t)(\text{°C}) \quad (12-3)$$

$$Q_{3-1} = 1.78 * 10^5 \left(\frac{\text{kJ}}{\text{hr}} \right)$$

حرارت دریافتی جریان ۳(گلایکول):

$$Q_{3-2} = 2.81 * 10^5 \left(\frac{\text{kJ}}{\text{hr}} \right)$$

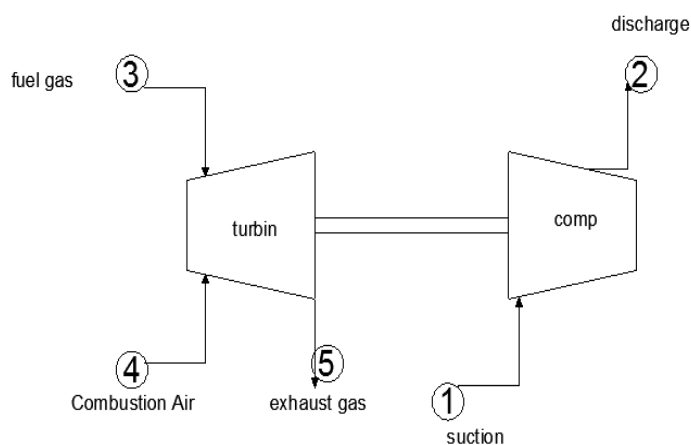
از جمع سه مقدار بالا :

$$Q_2 + Q_{3-1} + Q_{3-2} = 8.600 * 10^6 \left(\frac{\text{kJ}}{\text{hr}} \right)$$

عدد بدست آمده میزان کل حرارت مورد نیاز گلایکل را که توسط مشعل‌ها تامین می‌شود را نشان می‌دهد. با محاسبه میزان حرارت دود خروجی توربوکمپرسورها مشخص می‌شود که آیا می‌توان جایگزینی برای مشعل‌ها یافت که حرارت مورد نیاز را بدون مصرف سوخت تامین کند

یا خیر!

۲-۷-۳- کمپرسورهای گاز غنی مرحله دوم(C-4407B) و (C-4407C)



شکل (۲۳-۳) : کمپرسورهای گاز غنی مرحله دوم(C-4407B) و (C-4407C)

جدول (۷-۳) : داده های جریان های ورودی به توربین گاز^۱

Design:700 MSCFD	دبی	St. No: 3 Fuel gas
Operation : 513 MSCFD		
T=100.4 F=38 °C	دما	
P=80 psia =544 kpa	فشار	
20.27	وزن مولکولی	
Design:36.43 MMSCFD	دبی	St. No: 4 Combustion Air
Operation : 29.92 MMSCFD		
T=100 F=38 °C	دما	
P=14.7 psia =100 kpa	فشار	
28.96	وزن مولکولی	
Design:37.25 MMSCFD	دبی	St. No: 5 Flue gas
Operation : 30.53 MMSCFD		
T=860 F=460 °C	دما	

^۱ - مأخذ : آمار های ممیزی انرژی انجام شده سال ۱۳۸۷

P=14.5psia =98 kpa	فشار	
28.9	وزن مولکولی	

ماخذ : [13]

همانطور که قبلا نیز بیان شد، از این توربوکمپرسورها برای افزایش فشار گاز ورودی مرحله دوم استفاده می‌شود که دود خروجی آن‌ها با دمای بالا بدون استفاده وارد محیط زیست می‌گردد.

جدول (۸-۳) : مشخصات توربین ممیزی شده^۱

Turbin performance -C4407B,C		
	Design	Operation
Fuel consumbtion(MSCFD)	700	513
Air consumbtion(MMSCFD)	37.24	29.92
Turbin(HP)	2608	1785
Excess Air(%)	350 %	380 %
Turbin Speed(rpm)	15700	14915
Turbin eff(%)	20.11	18.33
comp performance -C4407B,C		
Adiabatic eff %	69.47	60.07
Polytropic eff %	71.33	62.11

ماخذ : [13]

محاسبات میزان گاز مصرفی در توربین گاز:

: stream 3 جریان

$$\begin{aligned} \text{حجم گاز مصرفی} &= 513000 \left(\frac{ft^3}{day} \right) * 0.028 \left(\frac{m^3}{ft^3} \right) \\ &\quad * \frac{1}{24} \left(\frac{day}{hr} \right) = 598.5 \left(\frac{m^3}{hr} \right) \end{aligned}$$

^۱ - ماخذ: آمار های ممیزی انرژی انجام شده سال ۱۳۸۷

طبق داده های جدول (۷-۳) و رابطه (۱۰-۳) انرژی آزاد شده در توربین برابر است با:

$$Q_t = 25.215 * 10^6 \left(\frac{kJ}{hr} \right)$$

طبق ممیزی انجام شده که میزان توان توربین را 1785 HP محاسبه نموده است می توان

بازده توربین را محاسبه نمود و با عدد داده شده مقایسه نمود :

$$\begin{aligned} P_{tur} \left(\frac{kJ}{hr} \right) &= 1785(HP) * 746(watt/HP) = 1.332E6 watt \\ &= 4.794E6 \left(\frac{kJ}{hr} \right) \end{aligned}$$

$$eff \% = \frac{P_{tur}}{Q_t} * 100 \quad (13-3)$$

$$eff = 19.01 \%$$

می بینیم که مقدار بدست آمده بسیار نزدیک است که علت اختلاف کم هم می تواند تفاوت جزئی در میزان ارزش حرارتی باشد که از آنالیز های متفاوت استخراج شده است.

میزان هوای ورودی به توربین گاز:

جريان 4 : stream 4

$$= 29.92 * 10^6 \left(\frac{ft^3}{day} \right) = 34906 \left(\frac{m^3}{hr} \right)$$

میزان هوای خروجی از توربین گاز :

جريان 5 : stream 5

$$= 30.53 * 10^6 \left(\frac{ft^3}{day} \right) = 35618 \left(\frac{m^3}{hr} \right)$$

حال می خواهیم ببینیم که آیا حرارت گاز اگزو خروجی توربین برای جوشاننده گلایکول

کفایت می کند یا نه!

در اینجا فرضیاتی را در نظر می‌گیریم:

- چون بیش از ۹۸٪ جرم گاز خروجی هوا می‌باشد پس چگالی هوا را به عنوان چگالی گاز خروجی در نظر می‌گیریم.
- چگالی هوا با تغییر دما متغیر است و میزان آن به صورت میانگین و ثابت فرض می‌شود.

$$(0.68 \text{ } kg/m^3)$$

- CP را ثابت فرض می‌کنیم.

از رابطه (۱۱-۳) می‌توان بدست آورد که :

$$Q_{\text{exhaust}} = 8.46 * 10^6 \text{ } kj/hr$$

چون دو توربین همسان، همزمان در این مرحله کار می‌کنند و یک توربین هم آماده بکار است : بنابراین میزان حرارت را در عدد ۲ ضرب می‌شود:

$$Q = Q_{\text{exhaust}} * 2 = 16.93 * 10^6 \text{ } kj/hr$$

داشتیم که میزان حرارت دریافتی مورد نیاز در گلایکول برابر $8.6 * 10^6 \text{ } kj/hr$ بود، بنابراین به این نتیجه می‌رسیم که دود خروجی توربین برای جوشاننده گلایکول کفايت می‌کند و دیگر نیازی به مشعل‌ها نمی‌باشد.

گاز خروجی توربین گاز، علاوه بر اینکه از نظر آنتالپی می‌تواند جوابگوی نیاز جوشاننده گلایکول باشد، چون دمای گاز خروجی $460^\circ C$ می‌باشد و ماکزیمم دمای گلایکول و بخار آب $127^\circ C$ می‌باشد، می‌توان عملیات جایگزینی را با اطمینان خاطر انجام داد چون طبق قانون دوم ترمودینامیک دمای جریان گرم از جریان سرد، بیشتر است.

نکته جالب توجه این است که اگر حرارت را منتقل کنیم دیگر نیاز به یوتیلیتی گرم اضافه‌ای نیاز نداریم. حال می‌خواهیم میزان صرفه اقتصادی در یک سال را در دو حالت هر متر مکعب گاز ۱۰۰۰ ریال و هر متر مکعب گاز ۲۰۰۰ ریال برای یک سال با تعداد ۳۳۰ روز کاری بدست

آوریم :

$$price\ saving(IRR) = \dot{V} \left(\frac{m^3}{hr} \right) * 24 \left(\frac{hr}{day} \right) * 330(days) * P(IRR/m^3)$$

(۱۴-۳)

با فرض اینکه هر متر مکعب گاز قیمتی معادل با ۱۰۰۰ ریال داشته باشد:

$$price\ saving(IRR) = 3.722 * 10^9 rials$$

با فرض اینکه هر متر مکعب گاز قیمتی معادل با ۲۰۰۰ ریال داشته باشد:

$$price\ saving(IRR) = 7.445 * 10^9 rials$$

و با توجه به اینکه هزینه ساخت مبدل برای این قسمت طبق برآورد انجام شده نرم افزاری برابر ۱22440 US\$ می‌باشد و با فرض هر دلار ۲۴۵۰۰ ریال باشد؛

$$heat\ exchanger\ price(IRR) = 122440 * 24500 = 2.999 * 10^9 rials$$

حال بازگشت سرمایه برای فرض اول (قیمت هر متر مکعب گاز ۱۰۰۰ ریال) برابر است

: با

$$P.B = \frac{2.999 * 10^9}{3.722 * 10^9} = 0.81 \text{ year} = 294 \text{ day} = 9.8 \text{ months}$$

و بازگشت سرمایه برای فرض دوم (قیمت هر متر مکعب گاز ۲۰۰۰ ریال) برابر است با

:

$$P.B = \frac{2.999 * 10^9}{7.445 * 10^9} = 0.40 \text{ year} = 147 \text{ days} = 4.9 \text{ month}$$

Heat Exchanger Specification Sheet

1	2	3	4	5	6	Type BKU hor	Connected in 1 parallel	1 series	
					7	Surf/unit(eff.) 544 m ²	Shells/unit 1	Surf/shell (eff.)	544 m ²
PERFORMANCE OF ONE UNIT									
9	Fluid allocation		Shell Side		Tube Side				
10	Fluid name		glyc		air				
11	Fluid quantity, Total	kg/h	10670		48440				
12	Vapor (In/Out)	kg/h		5055	48440				
13	Liquid	kg/h	10670	5615					
14	Noncondensable	kg/h							
15									
16	Temperature (In/Out)	°C	99	130	460		237.65		
17	Dew / Bubble point	°C		111.52					
18	Density	kg/m ³	1004.92	0.69	0.82		1.18		
19	Viscosity	cP	0.4499	0.0131	0.0335		0.026		
20	Molecular wt, Vap		18.28	19.84					
21	Molecular wt, NC								
22	Specific heat	kcal/(kg °C)	0.8268	0.4775	0.2585		0.2465		
23	Thermal conductivity	kcal/(h m °C)	0.39	0.023	0.053		0.04		
24	Latent heat	kcal/kg		396.11					
25	Pressure	kgf/cm ²	1.195		1.758				
26	Velocity	m/s			43.92				
27	Pressure drop, allow./calc.	kgf/cm ²			0.1		0.095		
28	Fouling resist. (min)	m ² h C/kcal							
29	Heat exchanged	2717664 kcal/h		MTD corrected	216.3 °C				
30	Transfer rate, Service	23.1	Dirty 125.3	Clean 125.3					
31	CONSTRUCTION OF ONE SHELL						Sketch		
32		Shell Side	Tube Side						
33	Design/Test pressure	kgf/cm ²	5.273/ /Code	5.273/ /Code					
34	Design temperature	°C	165.56	493.33					
35	Number passes per shell		1	2					
36	Corrosion allowance	mm	1.59	1.59					
37	Connections	In	50.8/150 ANSI	700/300 ANSI					
38	Size/rating	Out	254/150 ANSI	650/300 ANSI					
39	mm/	Intermediate	50.8/150 ANSI	/300 ANSI					
40	Tube No. 1871Us	OD 19.05	Tks-avg 2.11	mm	Length 2000	mm	Pitch 22	mm	
41	Tube type Plain		Material CS		Tube pattern	30			
42	Shell CS	ID OD 1500 mm		Shell cover	CS				
43	Channel or bonnet	CS		Channel cover					
44	Tubesheet-stationary	CS		Tubesheet-floating					
45	Floating head cover			Impingement protection	None				
46	Baffle-crossing CS	Type single seg	Cut(%d)	44	vert Spacing: c/c	625.86	mm		
47	Baffle-long		Seal type		Inlet	625.86	mm		
48	Supports-tube	U-bend		Type					
49	Bypass seal		Tube-tubesheet joint		groove/expand				
50	Expansion joint		Type						
51	RhoV2-Inlet nozzle	2130	Bundle entrance		Bundle exit				
52	Gaskets - Shell side		Tube Side						
53	Floating head								
54	Code requirements	ASME Code Sec VIII Div 1		TEMA class	B				
55	Weight/Shell	15695	Filled with water 27199.9	Bundle	10419.5	kg			
56	Remarks								
57									

شکل (۲۴-۳) : دیتا شیت طراحی مبدل جهت بازیافت حرارت گاز خروجی توربین گاز بجا

استفاده از مشعل گلایکول

جدول (۳-۹): لیست قیمت و انواع مبدل جهت بازیافت حرارت گاز خروجی توربین گاز بجا استفاده از مشعل

Optimization Path											
Current selected case:				21			Select				
#	Shell Size	Tube Length	Pressure Drop	Baffle		Tube	Units	Total			
	mm	Actual mm	Reqd. mm	Shell kgf/cm²	Tube kgf/cm²	Spacing mm	No.	Pass	No.	P S	
1	1200	3000	177		0.273*	577.09	4	2	2328	1 1	131840
2	1200	2500	176.6		0.24*	596.39	3	2	2328	1 1	127280
3	1200	2000	176		0.208*	628.9	2	2	2328	1 1	122440
4	1250	3000	147.8		0.234*	577.09	4	2	2546	1 1	143920
5	1250	2500	147.4		0.206*	596.39	3	2	2546	1 1	138690
6	1250	2000	146.8		0.178*	628.9	2	2	2546	1 1	133460
7	1300	3000	119		0.202*	577.09	4	2	2774	1 1	155810
8	1300	2500	118.6		0.178*	596.39	3	2	2774	1 1	150160
9	1300	2000	118		0.155*	627.89	2	2	2774	1 1	144510
10	1350	3000	91.2		0.177*	577.09	4	2	3002	1 1	167840
11	1350	2500	90.8		0.156*	595.38	3	2	3002	1 1	161780
12	1350	2000	90.3		0.136*	627.89	2	2	3002	1 1	155710
13	1400	3000	67.4		0.156*	576.07	4	2	3244	1 1	180200
14	1400	2500	67		0.137*	595.38	3	2	3244	1 1	173700
15	1400	2000	533.8		0.119*	626.87	2	2	3244	1 1	167210
16	1450	3000	528.1		0.138*	576.07	4	2	3480	1 1	193770
17	1450	2500	527.7		0.122*	594.36	3	2	3480	1 1	186840
18	1450	2000	527.3		0.106*	625.86	2	2	3480	1 1	179920
19	1500	3000	519.9		0.123*	575.06	4	2	3742	1 1	207240
20	1500	2500	519.6		0.109*	594.36	3	2	3742	1 1	199860
21	1500	2000	519.2		0.095	625.86	2	2	3742	1 1	192470

۳-۷-۳- محاسبات پیش‌گرم کردن سوخت (گاز) ورودی توربین گاز

: C4407

طبق دیتاهای موجود گاز ورودی به توربین گاز دمای پایینی دارد که در ممیزی انجام شده دمای آن را 38°C تعیین نموده است. می‌دانید که مقداری از گرمای سوختن سوخت توربین صرف گرم کردن هوای ورودی و سوخت می‌گردد. از آنجا که گرم کردن هوای ورودی به توربین سبب افزایش کار کمپرسور می‌گردد پس این عملی نیست اما می‌توان روی پیش‌گرم کردن سوخت تأمل کرد و با انجام محاسبات میزان صرفه اقتصادی را بدست آورد که آیا اصلاً این کار درست است یا نه!

با فرض اینکه بخواهیم گاز ورودی به محفظه احتراق توربین (First stage Lean gas) پیش‌گرم شود می‌توان از دود خروجی دودکش توربین که دمای حدوداً 460°C دارد بهره برد. و بدین صورت با کاهش مصرف گاز توربین، افزایش راندمان توربین و افزایش بهینه‌سازی را بهمراه خواهد داشت.

در اینجا نیز همانند محاسبات قسمت گلایکول برای ساده‌سازی، فرضیاتی را در نظر می‌گیریم:

۱- چون بیش از ۹۸٪ گاز خروجی از دودکش توربین هواست بنابراین چگالی گاز را چگالی هوا در دمای متوسط فرض می‌کنیم.

$$\rho_{\text{stuck gas}} = \rho_{\text{air})T=\text{ave}} = 0.68 \frac{\text{kg}}{\text{m}^3}$$

۲- در این فرمول ظرفیت حرارتی ویژه با تغییر دما تغییر محسوسی نمی‌کند. $C_p =$

$$1.05 \frac{\text{kJ}}{\text{kg}^{\circ}\text{C}}$$

طبق فرمول زیر می‌توان میزان حرارت مورد نیاز برای پیش‌گرم کردن گاز ورودی را که تا دمای 350°C می‌خواهد گرم شود محاسبه می‌کنیم:

$$Q = \dot{m}_g * C_g * \Delta t_g = (\rho * \dot{v}_g) * C_g * \Delta t_g \quad (15-3)$$

$$\dot{v}_{gas} = 513000 \frac{\text{ft}^3}{\text{day}} = 598.5 \frac{\text{m}^3}{\text{hr}} \quad \text{از جدول (7-3)}$$

$$\rho_{gas)T=38^{\circ}\text{C}, p=544 \text{ kPa}} = \dot{m}/\dot{v} = 4.16 \frac{\text{kg}}{\text{m}^3} \quad ***$$

$$Cp_{gas} = 2.34 \frac{\text{kJ}}{\text{kg}^{\circ}\text{C}}$$

***: چون این گاز خروجی ترکیبی از چند گاز است که بیشترین آنها متان است ولی گاز هایی نظیر اتان، پروپان و بوتان نیز به میزان قابل ملاحظه‌ای در این ترکیب موجود هستند،

پس بدست آوردن چگالی دقیق این مخلوط گازی کار دشوار و البته پرخطایی است که البته برنامه ASPEN PLUS با دادن دقیق میزان دبی جرمی و دبی حجمی در همان دما و فشار چگالی گاز را در این شرایط بدست می‌دهد.

$$\text{Lean gas first stage} \left\{ \begin{array}{l} \dot{m} = 386162.74 \text{ kg/hr} \\ \dot{v} = 13469 \text{ m}^3/\text{hr} \end{array} \right\} \rightarrow \rho = 4.16 \text{ kg/m}^3$$

$$\dot{m} = 598.5 * 4.16 = 2489.76 \text{ kg/hr}$$

$$\dot{Q} = 2489.76 \left(\frac{\text{kg}}{\text{hr}} \right) * 2.34 \left(\frac{\text{kJ}}{\text{kg} \text{ } ^\circ\text{C}} \right) * (350 - 38) (\text{ } ^\circ\text{C}) =$$

$$\dot{Q} = 1.87 * 10^6 \left(\frac{\text{kJ}}{\text{hr}} \right)$$

حال می‌خواهیم ببینیم چه مقدار گاز باید بسوزد تا بتواند این گرما را که گاز ورودی را از دمای 38°C به دمای 350°C می‌رساند، تامین کند.

$$\dot{Q} \left(\frac{\text{kJ}}{\text{hr}} \right) = \dot{V}_{fuel} \left(\frac{\dot{m}}{\text{hr}} \right) * \bar{h} \left(\frac{\text{kcal}}{\text{m}^3} \right) * 4.18 \left(\frac{\text{kJ}}{\text{kcal}} \right) \quad (16-3)$$

$$\rightarrow \dot{V}_{fuel} = 44.6 \left(\frac{\text{m}^3}{\text{hr}} \right) = 353232 \left(\frac{\text{m}^3}{\text{year}} \right)$$

چون ۲ توربوکمپرسور همزمان در کار هستند و یکی هم رزرو می‌باشد پس میزان مصرف گاز در عدد دو ضرب می‌شود :

$$353232 * 2 = 706464 \left(\frac{\text{m}^3}{\text{year}} \right)$$

با فرض اینکه ارزش هر متر مکعب گاز را یک بار ۱۰۰۰ ریال و یک بار ۲۰۰۰ ریال فرض کنیم:

$$706464 * 1000 = 706.5 * 10^6 IRR$$

$$706464 * 2000 = 1.413 * 10^9 IRR$$

حال باید مبدلی طراحی شود که بتواند این حرارت را بازیافت کند. البته باید دقت نمود که نباید دمای دود خروجی زیاد پایین آید که هم با افت فشار موقع خروج مواجه خواهد شد و هم ممکن است تولید اسید سولفوریک نماید.

با برآورد قیمت مبدل حرارتی می توان مدت زمان بازگشت سرمایه را تخمین زد.

با توجه به مبدل طراحی شده با قیمت حدودی US\$ 27800 و با فرض قیمت هر دلار : 24500 IR

$$\text{Price} = 23400 \text{ US\$} * 24500 \left(\frac{IRR}{US\$} \right) = 681 \text{ M IRR}$$

برای حالت هر متر مکعب گاز ۲۰۰۰ ریال:

$$P.B = \frac{681.1 * 10^6}{1.414 * 10^9} = 176 \text{ days} = 5.9 \text{ months}$$

برای حالت هر متر مکعب گاز ۱۰۰۰ ریال:

$$P.B = \frac{681.1 * 10^6}{707 * 10^6} = 351 \text{ days} = 11.7 \text{ months}$$

جدول (۳-۱۰): انواع مبدل های پیشنهادی جهت بازیافت حرارت گاز خروجی توربین گاز برای پیش
گرمایش گاز ورودی توربین

Current selected case: 30										Select		
	Shell	Tube Length		Pressure Drop		Baffle		Tube		Units	Total	
	Size	Actual	Reqd.	Shell	Tube	Spacing	No.	Pass	No.	P	S	Price
		mm	mm	kgf/cm ²	kgf/cm ²	mm						Dollar(US)
6	558.8	3500	1624.4	4.072*	0.055	395.22	7	2	932	1	1	31960
7	558.8	3000	1643.2	3.066*	0.048	453.14	5	2	932	1	1	31020
8	558.8	2500	1644.3	2.525*	0.042	441.96	4	2	932	1	1	30070
9	558.8	2000	1646.9	1.974*	0.036	422.66	3	2	932	1	1	29140
10	609.6	6000	1541.8	5.123*	0.064	438.91	12	2	1118	1	1	42670
11	609.6	5500	1540.9	4.72*	0.059	432.82	11	2	1118	1	1	41580
12	609.6	5000	1540	4.315*	0.055	425.7	10	2	1118	1	1	40490
13	609.6	4500	1539.1	3.908*	0.05	417.58	9	2	1118	1	1	39400
14	609.6	4000	1538.3	3.498*	0.046	407.42	8	2	1118	1	1	38310
15	609.6	3500	1537.9	3.085*	0.041	395.22	7	2	1118	1	1	37230
16	609.6	3000	1553.8	2.339*	0.037	453.14	5	2	1118	1	1	35980
17	609.6	2500	1554.8	1.933*	0.032	440.94	4	2	1118	1	1	34910
18	609.6	2000	1557.4	1.52*	0.027	421.64	3	2	1118	1	1	33850
19	355.6	6000	1831.9	8.942*	0.143	440.94	12	2	346	2	1	35740
20	355.6	5500	1887.2	8.26*	0.132	440.94	11	2	346	2	1	34760
21	355.6	5000	1887.3	7.578*	0.122	440.94	10	2	346	2	1	33780
22	355.6	4500	1887.5	6.895*	0.111	440.94	9	2	346	2	1	32780
23	355.6	4000	1887.8	5.54*	0.1	440.94	7	2	346	2	1	31660
24	355.6	3500	1888.1	4.859*	0.09	440.94	6	2	346	2	1	30680
25	355.6	3000	1888.4	4.177*	0.079	440.94	5	2	346	2	1	29700
26	355.6	2500	1888.9	3.496*	0.068	440.94	4	2	346	2	1	28700
27	355.6	2000	1889.6	2.814*	0.058	440.94	3	2	346	2	1	27800
28	406.4	6000	1692.4	5.509*	0.083	491.74	11	2	476	2	1	43720
29	406.4	5500	1692.2	5.068*	0.077	491.74	10	2	476	2	1	42540
30	406.4	5000	1692	4.626*	0.071	491.74	9	2	476	2	1	41360

Heat Exchanger Specification Sheet

1	2	3	4	5	6	Size 390 - 5000 mm	Type BFM	vert	Connected in 2 parallel	1 series
7	Surf/unit(eff.) 187.6 m ²	Shells/unit 2			8	Surf/shell (eff.) 93.8 m ²				
PERFORMANCE OF ONE UNIT										
9	Fluid allocation		Shell Side		Tube Side					
10	Fluid name		smoke		fuel					
11	Fluid quantity, Total	kg/h	15000		4980					
12	Vapor (In/Out)	kg/h	15000	15000	4980	4980				
13	Liquid	kg/h								
14	Noncondensable	kg/h								
15										
16	Temperature (In/Out)	°C	460	185.27	38	360				
17	Dew / Bubble point	°C								
18	Density	kg/m ³	0.71	1.14	4.1	1.99				
19	Viscosity	cP	0.0335	0.0242	0.0111	0.0199				
20	Molecular wt, Vap									
21	Molecular wt, NC									
22	Specific heat	kcal/(kg °C)	0.2585	0.2441	0.5121	0.7808				
23	Thermal conductivity	kcal/(h m °C)	0.053	0.036	0.029	0.071				
24	Latent heat	kcal/kg								
25	Pressure	kgf/cm ²	1.53		5.547					
26	Velocity	m/s	45.83		12.13					
27	Pressure drop, allow./calc.	kgf/cm ²	0.306	4.626	0.703	0.071				
28	Fouling resist. (min)	m ² h C/kcal								
29	Heat exchanged	1034294 kcal/h		MTD corrected	116.01 °C					
30	Transfer rate, Service	47.5	Dirty 143.9	Clean 143.9		kcal/(h m °C)				
CONSTRUCTION OF ONE SHELL										
31							Sketch			
32		Shell Side		Tube Side						
33	Design/Test pressure	kgf/cm ²	5.273/ /Code	5.273/ /Code						
34	Design temperature	°C	493.33	393.33						
35	Number passes per shell		2	2						
36	Corrosion allowance	mm	1.59	1.59						
37	Connections	In	254/300 ANSI	101.6/150 ANSI						
38	Size/rating	Out	254/300 ANSI	152.4/150 ANSI						
39	mm /	Intermediate	/300 ANSI	/150 ANSI						
40	Tube No. 476	OD 12.7	Tks-avg 1 mm	Length 5000 mm	Pitch 15.88 mm					
41	Tube type Plain		Material CS		Tube pattern 30					
42	Shell CS	ID OD 406.4 mm		Shell cover						
43	Channel or bonnet	CS		Channel cover						
44	Tubesheet-stationary	CS		Tubesheet-floating						
45	Floating head cover			Impingement protection None						
46	Baffle-crossing	CS	Type single seg	Cut(%d) 18 hor Spacing: c/c 491.74 mm						
47	Baffle-long	CS	Seal type	Inlet 457.2 mm						
48	Supports-tube	U-bend		Type						
49	Bypass seal		Tube-tubesheet joint	groove/expand						
50	Expansion joint		Type							
51	RhoV2-Inlet nozzle	2375	Bundle entrance 8008		Bundle exit 5004 kg/(m s ²)					
52	Gaskets - Shell side		Tube Side							
53	Floating head									
54	Code requirements	ASME Code Sec VIII Div 1		TEMA class B						
55	Weight/Shell	1581.7	Filled with water 2155.8	Bundle	936.8 kg					
56	Remarks									

شكل (۲۵-۲) : دیتا شیت طراحی مبدل جهت بازیافت حرارت گاز خروجی توربین گاز برای پیش

گرمايش گاز ورودی

فصل چهارم

هزینه های آلات
های سوختی

۱-۴- مقدمه :

علاوه بر محاسبات هزینه‌های انرژی و سوخت (هزینه‌های عملیاتی) هزینه‌های دیگری نیز از مصرف سوخت‌ها بر محیط‌زیست وارد می‌آید که در سطح بین‌المللی از اهمیت ویژه‌ای برخوردار است که به هزینه‌های آلینده‌ها به توضیح و بررسی آن‌ها می‌پردازیم.

۲-۴- استفاده از منابع انرژی و اثرات آن بر محیط‌زیست: [14]

بیشترین اثرات زیست‌محیطی مربوط به استفاده از سوخت‌های فسیلی بوده و کمترین تبعات زیست‌محیطی در استفاده از انرژی‌های تجدیدپذیر بروز می‌کند. استفاده از سوخت‌های فسیلی که عمدتاً به صورت احتراق این نوع سوخت‌ها است باعث تولید انواع آلینده‌های هوا می‌شود که متعاقباً باعث آلودگی آب و خاک نیز خواهد شد.

۳-۴- برخی صدمات زیست‌محیطی استفاده از منابع انرژی

تجددیدناپذیر: [14]

۱-۳-۴- نفت:

احتراق نفت در صنایع نفتی و پالایشگاهی و نیروگاهها، آلینده‌های گوناگون را در سطح وسیع ایجاد می‌نماید که از آن میان می‌توان به کل جامدات معلق و هیدروکربن‌های گازی اشاره کرد که مهمترین آن‌ها گازهای CO_2 , NO_x , SO_x می‌باشند. بسیاری از این مواد آلینده به صورت معلق در جو باقی می‌مانند تا تشکیل "دود" یا "مه دود" دهند که در نهایت از طریق بارش باران اسیدی به آب و یا خاک وارد می‌شوند.

۴-۳-۲- گاز طبیعی:

گاز طبیعی به عنوان یکی از پاکترین منابع سوخت فسیلی از دیدگاه زیست محیطی مطرح می باشد. مانند سایر سوختهای فسیلی، احتراق گاز طبیعی منجر به تولید گاز هایی از قبیل CH_4 احتراق نیافته و تا حدودی گاز CO و CO_2 (به واسطه حضور درصد کمی از اتم های H, C) و سایر هیدروکربن های گازی می گردد . یکی از مهمترین مسائل زیست محیطی در رابطه با بخش انرژی تغییرات جهانی آب و هوای می باشد که در اثر تجمع بی رویه گازهای گلخانه ای ایجاد شده است . در حال حاضر گازهایی نظیر دی اکسید کربن، متان، بخار آب، اکسید نیتروژن، ازن، فریون و هالون در رده گازهای گلخانه ای طبقه بندی شده اند .

باید گفت اگر در طراحی، فرآیند تولید و بهره برداری ملاحظات زیست محیطی اعمال نشود به یکی از کانون های صنعتی به شدت آلاینده تبدیل خواهد شد و نقش تخریبی آن بر جامعه بیش از نقش سازنده آن خواهد بود. اسیدی شدن اکوسیستم های آب، خاک و هوا به دلیل باران های اسیدی، کاهش محصولات کشاورزی و نابودی جنگل ها و از سوی دیگر مخاطرات بهداشتی نظیر آسم، حساسیت های جاری تنفسی و ریوی از پیامدهای آلودگی هوا از طریق این نوع آلاینده ها است. بعلاوه انتشار گاز دی اکسید کربن (CO_2) علیرغم اینکه مخاطرات آلاینده های فوق را ندارد ولی عنوان عمدترين گاز گلخانه ای انتشار آن در اتمسفر، موجب افزایش دما و تغییرات اقلیمی زمینی می گردد.

سازمان حفاظت محیط زیست آمریکا (EPA)، که خسارت های ناشی از اثرات تخریبی آلاینده های زیست محیطی تحمیل شده بر جوامع از سوی صنایع را تحت عنوان هزینه های اجتماعی برآورد نموده است نشان می دهد که هزینه های اجتماعی ناشی از انتشار یک پوند گاز SO_2 ، NO_X ، CO_2 ، ۰/۴ دلار و یک پوند SO_2 ، ۰/۰۱۱ دلار و یک پوند NO_X ، ۰/۰۵۱ دلار می باشد. صاحبان صنایع در صورت ایجاد آلودگی، معادل خسارتی که بر جامعه تحمیل می کنند بر

اساس محاسبات فوق می‌بایست یا جریمه پرداخت نمایند و یا تجهیزات کنترل و کاهش آلدگی در تاسیسات خود نصب نمایند.

۴-۴- تأثیر متقابل اقتصاد، انرژی و محیط زیست: [14]

تأثیر متقابل اقتصاد و محیط‌زیست به بهترین نحو توسط مدل تعادل مواد که نظام اقتصادی را به صورت باز در نظرمی‌گیرد بیان می‌شود، در این نظام بین اقتصاد و محیط‌زیست واکنش وجود دارد. در این مدل نظام اقتصادی به صورت سیستم بازی است که مواد و انرژی را از طبیعت استخراج می‌کند و سرانجام تقریباً تمام نهاده‌های مادی مورد استفاده در تولید و مصرف را به عنوان ضایعات و پسماند به محیط‌زیست طبیعی باز می‌گرداند. این ضایعات عمدتاً به شکل گازهای مونوکسیدکربن، دی‌اکسیدکربن، دی‌اکسیدسولفور و یا مواد زائد جامد و فاضلاب هستند.

۴-۵- گردآوری مفاهیم مرتبط با هزینه‌های خارجی، اجتماعی و زیستمحیطی:

دیدگاه اقتصاددانان در مورد هزینه با دیدگاه حسابداران متفاوت است. حسابداران اغلب تمایل دارند هزینه‌های آشکار تولید، یعنی پرداخت‌هایی که بابت دستمزد، اجاره، بهره، مواد خام و اولیه انجام می‌شود را جزء هزینه‌های تولید لاحظ کنند؛ اما اقتصاددانان هزینه استفاده از منابع را صرفاً نه به عنوان آنکه پرداختی بابت آن صورت گرفته‌است بلکه به لحاظ هزینه فرصت آن نیز مورد توجه قرار می‌دهند.

۴-۵-۱- مفهوم اثرات خارجی :

اثرات خارجی یک اصطلاح کلی است که در بردارنده هزینه‌ها و منافعی است که در قیمت‌های معمول بازار منعکس نمی‌شود. این هزینه‌ها و منافع برای برنامه‌ریزی بخش انرژی در طولانی مدت بسیار مهم است.

۴-۵-۲- مفهوم اثرات خارجی منفی یا هزینه‌های خارجی بیرونی :

نشان دهنده آن است که شخص یا مجموعه‌ای ضرری ایجاد می‌کند بدون آنکه نتایج آن را بر دیگران مورد توجه و ملاحظه قرار دهد. تخریب و آلودگی محیط‌زیست در اثر تولید انرژی یکی از این اثرات خارجی منفی است که عدم ملاحظه آنها باعث عدم رونق استفاده از انرژی‌های تجدید پذیر شده است که به عنوان یک راه حل طولانی مدت و پایدار در بخش انرژی مطرح هستند.

۴-۵-۳- مفهوم هزینه‌های آشکار زیست‌محیطی :

هزینه‌های آشکار اجرای یک سیاست زیست‌محیطی شامل هزینه‌های مدیریتی، نظارتی و اجرای آن است که توسط بخش عمومی پرداخت می‌شود بعلاوه هزینه‌های مربوط به رعایت مقررات مورد قبول که توسط همه بخش‌ها پرداخت می‌شود.

۴-۵-۴- مفهوم هزینه‌های سرمایه‌ای :

هزینه‌های سرمایه‌ای شامل تمامی هزینه‌های ثابت برای تجهیزات، تاسیسات، ساخت و سازهای در دست انجام و تغییرات فرآیند هاست که به منظور کاهش آلودگی انجام می‌شود.

۴-۵-۵- مفهوم هزینه‌های عملیاتی :

هزینه‌های عملیاتی شامل هزینه‌هایی هستند که حاصل از عملیات و نگهداری مربوط به کاهش آلودگی می‌باشند. مانند: هزینه‌های مواد، قطعات، سوخت، تحقیق و توسعه.

۴-۵-۶- مفهوم هزینه‌های ضمنی زیست‌محیطی :

شامل هزینه‌های غیر ریالی است که بر رفاه و سلامت جامعه تأثیر منفی دارند. هزینه‌هایی مانند تقلیل تنوع محصول ناشی از ممنوعیت یا زمان صرف شده برای یافتن جانشین‌ها و کاهش امکانات می‌باشند.

۴-۵-۷- مفهوم هزینه‌های اجتماعی :

به منظور ارزیابی بنیادی هزینه‌های زیستمحیطی از مفهوم هزینه‌های اجتماعی استفاده می‌شود.

هزینه‌های اجتماعی از نظر تئوری، مخارج مورد نیاز برای جبران منابع مورد استفاده جامعه است به گونه‌ای که سطح مطلوبیت جامعه ثابت باقی بماند.

فکر بکارگماری اقتصاد زیستمحیطی به تازگی مطرح گردیده است و همچنان رشد اقتصادی به عنوان اصلی‌ترین هدف توسعه تلقی می‌شود. برقرار ساختن مقیاس‌های اقتصادی با گرایش در بکارگیری سرمایه‌های زیست محیطی و یافتن فاکتورهای اقتصادی و بکارگیری قواعد زیست محیطی به هنگام تهیه پیش‌نویس‌هایی برای ارزش‌گذاری‌های اقتصادی و ادغام آنها به شکل یک نظام واحد، مشکلاتی هستند که فراروی اقتصاد محیط زیست قرار دارند. با افزایش آلودگی‌های زیست محیطی اقتصاد محیط زیست به عنوان شاخه‌ای از علم اقتصاد که نه تنها جنبه‌های اقتصادی محیط زیست را در بر می‌گیرد، بلکه به تأثیر متقابل اقتصاد و محیط‌زیست توجه دارد مطرح شده است. نکته اساسی در اقتصاد محیط‌زیست آن است که اقتصاد و محیط زیست جدا از یکدیگر نیستند و هیچ تصمیم اقتصادی یافت نمی‌شود که بر محیط طبیعی و مصنوعی تأثیر نگذارد و هیچ تحول زیست محیطی وجود ندارد که در آن تأثیر اقتصادی وجود نداشته باشد.

۴-۶- محاسبات هزینه‌های آلاینده‌ها:

طبق جدول شماره (۱-۴) به ازای هر کیلووات ساعت انرژی برق تولید شده به میزان - ۱ $cent/kwh$ ۳ هزینه آلاینده‌های محیطی درنظر گرفته می‌شود [15]، که اگر بازده توربین گازی را ۲۰٪ فرض کنیم که این عدد به بازده توربین‌های گازی ما نیز نزدیک است، با توجه به میزان مصرف گاز می‌توان هزینه‌های آلاینده‌ها را تخمین زد همچنین با توجه با راهکارهایی که بیان شد چنانچه بتوان مصرف انرژی را کاهش داد در واقع علاوه بر هزینه انرژی در

هزینه‌های آلایندگی ها هم که در سال‌های اخیر در جوامع بین‌المللی دغدغه اصلی محسوب می‌شود نیز کاهش چشمگیری خواهیم

داشت.

جدول (۱-۴) : هزینه‌های اجتماعی انواع سوخت‌های فسیلی در تولید برق بر حسب

$$(cent/kwh)$$

هزینه اجتماعی *(ریال به ازای کیلووات ساعت)	Cent/kwh	فن آوری تولید برق
۱۸۰-۱۳۵۰	۲-۱۵	زغال سنگ
۹۰-۲۷۰	۱-۳	گاز
۱۸-۶۳	۰/۲-۰/۷	هسته‌ای
۹۰-۲۷۰	۱-۳	زیست توده
۴-۵-۲۲/۵	۰/۰۵-۰/۲۵	باد
۹-۹۰	۰/۱-۱	آب
۳۶-۵۴	۰/۴-۰/۶	فتوولتایک
۲۷۰-۷۲۰	۳-۸	نفت کوره

مأخذ : [15]- جدول مربوط به سال ۱۳۸۴ می باشد و اعداد ریالی باید به قیمت روز اصلاح شود(نویسنده)

$$1kwh = 1000 * 3600 ws = 3.6 * 10^3 kj = 861 kcal$$

چون بازده 20% فرض شده است، بنابراین برای تولید هر میزان برق باید ۵ برابر همان میزان

انرژی مصرف شود. پس :

$$Q_{consumption} = \frac{electrical\ energy}{turbin\ eff\ (\%)} \quad (1-4)$$

$$861 kcal * 5 = 4306 kca$$

این میزان انرژی مصرف شده برای تولید 1kwh انرژی است . حال باید دید با بازده 20% ، هر مترمکعب گاز چند کیلووات ساعت انرژی تولید می‌کند.

$$10055/4306 = 2.33 \rightarrow 1m^3 \text{ gas} = 2.33 \text{ kwh}$$

$$2.33 \text{ kwh}/m^3 * 3 \text{ cent}/\text{kwh} = 7 \text{ cent}/m^3$$

جمع میزان مصرف گازهای مشعل گلایکول و پیش‌گرمکن گاز توربین برابر $510 \text{ m}^3/hr$

می‌باشد که :

$$P_{emissions)fuel} = 282744 \text{ \$/year}$$

$$282744 \text{ \$} * 24500 \left(IRR/\$\right) = 6.92 * 10^9 IRR$$

از فصل ۳ داشتیم که با خاموش شدن به طور متوسط ۱.۵ فن ۲۲kw از ایرکولر E4410

در سال می‌توان مصرف برق را کاهش داد که هزینه‌ای برابر با عدد زیر خواهد داشت :

$$P_{emissions)electrical} = 1.5 * 22kw * 24 hr * 330 days * 0.03\$ = 7840 \text{ \$/year}$$

$$7840 \text{ \$} * 24500 IRR = 192.1 * 10^6 IRR$$

از جمع مقادیر بالا عدد $7.1121 * 10^9$ ریال بدست می‌آید. یعنی این عدد برابر بود با میزان

کل هزینه‌های اجتماعی آلاینده‌ها در یک سال که با انجام این پروژه دیگر بر محیط زیست و

مردم وارد نمی‌شود.

در صفحه‌ی بعد به چکیده مطالب بررسی شده این پروژه و میزان صرفه‌جویی‌های انجام شده و

زمان بازگشت سرمایه آن پرداخته می‌شود.

۴-۷- اقدامات پیشنهادی و بررسی شده در یک نگاه

جدول (۴-۲) : چکیده لیست کارهای انجام شده در پروژه

زمان بازگشت سرمایه(ماه)	قیمت مبدل و سرمایه گذاری انجام شده(ریال)	میزان هزینه های کاهش یافته(ریال) در سال	میزان صرفه جویی انجام شده (کیلووات ساعت یا متر مکعب گاز) در سال	میزان مصرف انرژی پس از بهینه سازی در سال	میزان مصرف انرژی قبل از بهینه سازی در سال	کار انجام شده	ردیف
--	--	313.6×10^6	261360 kwh/year	435600 kwh/year	696960 kwh/year	خاموش کردن فن از کولر E4410 با اقدامات انجام شده	۱/۵
5	1.03×10^9	2.344×10^9	$1172160 \text{ m}^3/\text{year}$	0	$1172160 \text{ m}^3/\text{year}$	قرار دادن مبدل Second new	۲
24	175.91×10^6	90×10^6	$45150 \text{ m}^3/\text{year}$	0	$45150 \text{ m}^3/\text{year}$	First new مبدل	۳
32	237.9×10^6	89.7×10^6	$44855 \text{ m}^3/\text{year}$	0	$44855 \text{ m}^3/\text{year}$	Third new مبدل	۴
5	2.99×10^9	7.44×10^9	$3.722 \times 10^6 \text{ m}^3/\text{year}$	0	$3.722 \times 10^6 \text{ m}^3/\text{year}$	مبدل جدید گلایکول بجای مشعل های گلایکول	۵
6	681×10^6	1.413×10^9	$706464 \text{ m}^3/\text{year}$	0	$706464 \text{ m}^3/\text{year}$	پیش گرم کردن سوخت توربین	۶
--	--	7.11×10^9	--	--	--	کاهش هزینه های آلاینده ها	۷

پیشنهادات :

در پایان این پژوهه، مواردی را در قالب پیشنهاد ارائه می‌شود که هر کدام خود می‌تواند یک پژوهی پایانی یا تحقیقاتی باشد :

۱- گاز خروجی از توربین گاز که دمایی بالغ بر 460°C دارد و وارد محیط‌زیست می‌شود بدون اینکه از حرارت آن استفاده گردد. در این پژوهه پیشنهاد استفاده از این حرارت جهت واحد گلایکل مطرح گردید که البته مقدار گاز خروجی از توربین بسیار بیشتر از حرارت مورد نیاز در بخش گلایکل بود. از طرفی طبق تعاملات صورت گرفته با کارشناسان مربوطه، بیان گردیده که دیماند برق کارخانه محدود بوده و کارخانه ممکن است به برق بیشتری نیازمند باشد که اداره برق از ارائه خدمات بیشتر معذور می‌باشد. بنابراین می‌توان پیشنهادی به صورت امکان‌سنجی تولید برق توسط نیروگاه کوچک با استفاده از سیستم CHP در کارخانه مطرح نمود که از گرمای گاز خروجی توربین جهت پیش‌گرمایش یا حتی گرمایش آب و تولید بخار استفاده نمود.

۲- محاسبات راندمان اکرزری توربین‌ها و کمپرسورها و بدست آوردن تلفات اکرزری در این مصرف کننده‌های انرژی می‌تواند در استفاده بهینه مصرف انرژی موثر باشد. بنابراین پیشنهاد می‌گردد به محاسبات راندمان انرژی و اکرزری توربوکمپرسورهای گازی و کمپرسورهای برقی و پمپ‌ها پرداخته شده و تلفات انرژی در هر قسمت مشخص گردد و برای کاهش تلفات هر قسمت چاره‌ای اندیشیده شود.

۳- بحث تولید سرمایش و نیاز به آن در چیلهای خنک کننده گاز پروپان از مهمترین قسمت‌های کارخانه گاز و گاز مایع است. حال اگر بتوان سرمای مورد نیاز را از راهی ارزانتر از مصرف انرژی الکتریکی تامین نمود صرفه اقتصادی خوبی خواهد داشت. یک راه استفاده از چیلهای جذبی و استفاده از گاز خروجی توربین گاز بجای مشعل چیلهای می‌باشد.

پیوست‌ها

پیوست ۱

مفاهیم و قوانین آنالیز پیش

^۱ - این فصل خلاصه ترجمه فصل دوم منبع ۲ می باشد.

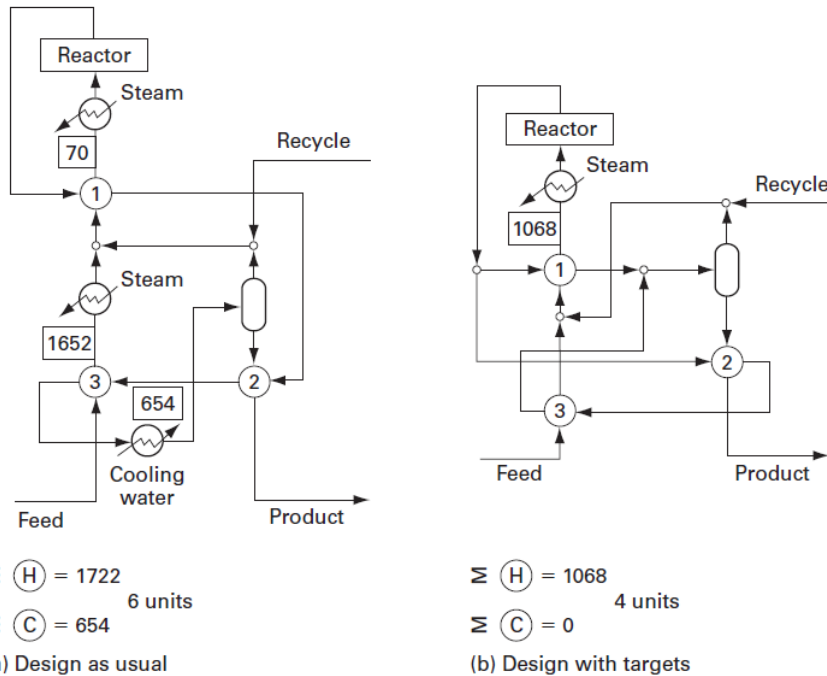
۱-۱- مقدمه:

به جهت حصول اطمینان از دستیابی به یک طراحی مناسب در شبکه مبدل حرارتی، در سال‌های اخیر، تکنولوژی پینچ با روش هدفگذاری مقادیر بهینه مصارف انرژی، سطح مورد نیاز شبکه مبدل‌های حرارتی، تعداد پوسته مورد نیاز در شبکه مبدل‌های حرارتی و... قبل از طراحی شبکه ایجاد گردید و در صنایع شیمیایی و فرایندی منجر به صرفه‌جویی مقادیر عظیمی از انرژی شد. این تکنولوژی که سابقه‌ای حدود ۳ دهه دارد بر اساس قانون دوم ترمودینامیک بنا شده و عموماً در ارتباط با طراحی شبکه مبدل‌های حرارتی می‌باشد. استفاده از این تحلیل بر خلاف تحلیل اکثری مستلزم در دست داشتن یک طراحی اولیه برای سیستم مورد مطالعه نیست. البته کاربردهای وسیع تکنولوژی پینچ فقط محدود به شبکه مبدل‌های حرارتی نمی‌شود، بلکه از دیگر کاربردهای تکنولوژی پینچ می‌توان به مواردی emissions pinch water pinch,total site,Hydrogen pinch, همچون... اشاره کرد.

۱-۲- معرفی آنالیز پینچ :

شکل (۱-۲) یک فلوشیت از نمای کلی یک سایت قدیمی را نشان می‌دهد، که برای فرایند شیمیایی خاصی طراحی شده است. در این شکل ۶ واحد انتقال حرارت که شامل هیترها و خنک کن‌ها و مبدل‌هاست مورد استفاده قرار گرفته و میزان انرژی مورد نیاز نیز برای گرمایش و سرمایش به ترتیب ۱۷۲۲ kW و ۶۵۴ kW است. شکل (۱-۲-ب) یک طرح پیشنهادی است که توسط لینهف ۱۹۷۹ (کاشف تکنولوژی پینچ) با استفاده از روش آنالیز پینچ برای هدفگذاری انرژی و یکپارچه سازی سایت

ارائه شده است [16]. در این فلوشیت پیشنهادی، فقط ۴ واحد انتقال حرارت استفاده شده است و میزان یوتیلیتی بار گرمایشی به اندازه ۴۰٪ کاهش یافته است و به یوتیلیتی سرد هم دیگر نیازی نیست. این طراحی مطمئن و شدنی، نسبت به حالت قبل بهتر و ساده تر است.



شکل(۲): مقایسهٔ سایت جدید و قدیم

نتایج نظیر این، آنالیز پینچ را بلافارسله بعد از معرفی اش، به موضوعی داغ، تبدیل کرد. مزیت‌هایی نظیر بهبودی یکپارچه شدن فرایندها، توسعه سایت به شکلی ساده، بهتر شدن شبکه بازیافت حرارتی بدون نیاز به تکنولوژی واحدهای عملیات پیچیده و پیشرفت‌های پدیدار گشت.

نکته کلیدی آنالیز پینچ ایجاد اهداف انرژی است. اهداف کاهش مصرف انرژی برای سال‌های طولانی جزء کلیدی از دیدگاه نظریه انرژی است. به طور نمونه کاهش مصرف انرژی در یک کارخانه به میزان ۱۰٪ در هر سال تفاضا شده است. با این وجود،

نظیر اهداف بهره وری در صنعت و مدیریت یک شکل مستبدانه بخود می گیرد . ۱۰٪ کاهش شاید برای بسیاری از کارخانه ها با طراحی های بد خیلی آسان باشد . چون آنجا فرصت های زیادی برای ذخیره و صرفه جویی انرژی وجود داشته باشد و بیشتر اهداف، آنجا بکار بیاید. با این وجود در کارخانه هایی با طراحی های خوب که به طور مداوم بهبود یافته اند بعد از یکسال، بیشتر از ۱۰٪ شاید غیر ممکن باشد.

اهداف بدست آمده توسط آنالیز پینچ متفاوت اند . آنها به طور مطلق اهداف ترمودینامیکی هستند که نشان می دهند اگر بازیافت حرارتی و سیستم های گرمایشی و سرمایشی درست طراحی شوند، کدام فرایند به طور ذاتی قابل دستیابی است .

در مورد فلوشیت شکل (۱-۲) اهداف فرایند نشان داد که فقط ۱۰۶۸kw حرارت خارجی نیاز است و هیچ سرمایش خارجی لازم نیست. این یک انگیزه برای پیدا کردن شبکه مبدل های حرارتی به ما می دهد که این اهداف را دست یافتنی می کند .

۱-۳-۱- نکات کلیدی آنالیز پینچ :

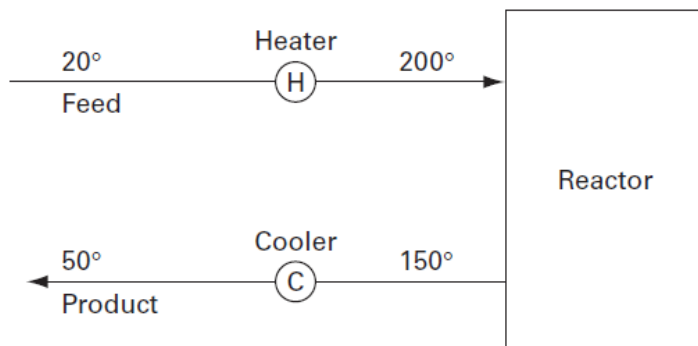
در این قسمت قصد داریم نکات کلیدی آنالیزپینچ را نشان دهیم که چگونه قادر است که هدفگذاری انرژی را انجام دهد و با استفاده از مبدل های حرارتی به آن اهداف دست یابد. این نکات برای شرایط مختلف با گوناگونی های فراوان قابل تعمیم است.

۱-۳-۱-۱) بازیافت حرارت و انتقال حرارت

۱-۳-۱-۱-۱) نکات اصلی انتقال حرارت

شکل ساده نشان داده شده زیررا در نظر بگیرید. یک راکتور شیمیایی وجود دارد که بصورت یک جعبه نشان داده شده است. مایع به راکتور داده می‌شود و نیاز است که از دمایی نزدیک دمای محیط تا دمای عملیاتی راکتور گرم شود. از طرفی محصولات خروجی از سیستم جداکننده که مایع گرم است نیاز است که تا دمای پایین تر خنک شود، همچنین مقداری آب جبرانی^۱ به راکتور اضافه می‌شود.

بعضی سیال‌ها هستند که سرد و گرم می‌شوند اما هیچ تغییری در ترکیب آنها اتفاق نمی‌افتد که به آنها یک جریان^۲ گفته می‌شود. جریان تعذیه که درابتدا سرد است و برای گرم شدن حرارت لازم دارد را جریان سرد گویند و محصولات داغ که باید خنک شوند را جریان گرم می‌نامند و همچنین فرآیندهای راکتورها جریان نیستند چون ترکیب آنها دچار تغییر شیمیایی شده است و آب جبرانی نیز جریان محسوب نمی‌شود چون نه سرد می‌شود و نه گرم.



شکل (۲-۲): فلوشیت یک جریان ساده

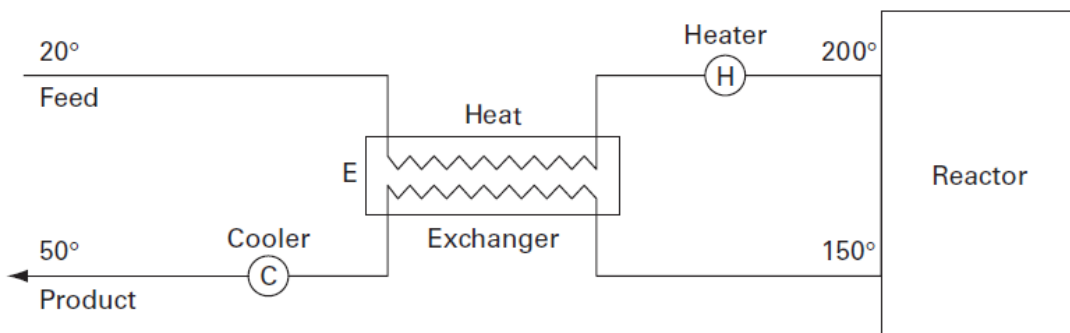
برای انجام سرمایش و گرمایش، گرم کننده بخار می‌تواند در مسیر جریان سرد و آب سردکن می‌تواند در مسیر جریان گرم قرار گیرد. جریان‌ها در جدول (۱-۲) نشاده داده شده است.

make up - ^۱
stream - ^۲

واضح است که برای انجام فرآیند نیازمندیم که ۱۸۰ kw برای گرم کننده بخار و ۱۸۰ kw سرمایش برای آب سردکن را تامین کنیم.

جدول (۱-۲): داده های مثال دو جریان

	<i>Mass flowrate W (kg/s)</i>	<i>Specific heat capacity C_P (kJ/kgK)</i>	<i>Heat capacity flowrate CP (kW/K)</i>	<i>Initial (supply) temperature T_S (°C)</i>	<i>Final (target) temperature T_T (°C)</i>	<i>Heat load H (kW)</i>
Cold stream	0.25	4	1.0	20	200	-180
Hot stream	0.4	4.5	1.8	150	50	+180



شکل (۳-۲): فلوشیت دارای مبدل حرارتی

آیا ما می توانیم که میزان مصرف انرژی را کاهش دهیم؟ بله. اگر بتوانیم که مقداری حرارت را از جریان گرم بازیافت کنیم و از آن در مبدل های حرارتی برای گرم کردن جریان سرد استفاده کنیم، به بخار و آب کمتری برای تأمین انجام وظایف باقیمانده نیازمندیم. فلوشیت، شبیه به شکل (۳-۲) خواهد بود. در حالت ایده آل البته ما قادر خواهیم بود که میزان ۱۸۰ kw انرژی را در جریان های گرم و سرد بازیافت کنیم. هر چند این بخاطر محدودیت های دمایی غیرممکن است. طبق قانون دوم ترمودینامیک، ما نمی توانیم از جریان گرم با دمای ۱۵۰ °C برای گرم

کردن جریان سرد تا دمای 200°C استفاده کنیم ! (این یک حالت غیرممکن از قانون دوم است که شما نمی توانید یک کتری را بر روی یخ بجوش آورید).

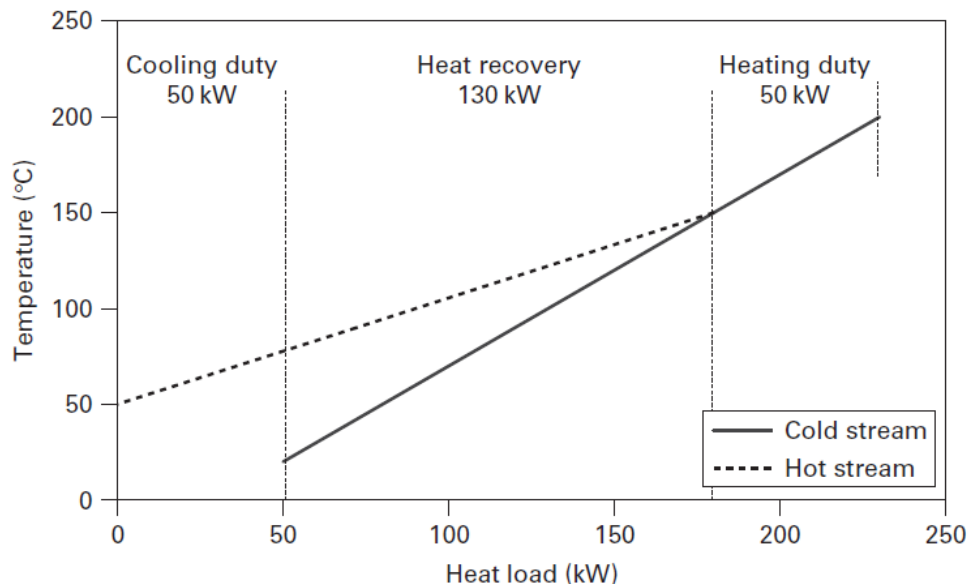
۱-۳-۲) دیاگرام دما - آنتالپی :

روش مفید برای تصور و فهم درست، روش دیاگرام حرارت - دما (T/H) است که در شکل(۲-

۴) نشان داده شده است. ظرفیت حرارتی جریان H (kw) است که آنتالپی نامیده می شود.

نباید آن را با ترم ترمودینامیکی اش آنتالپی مخصوص $\frac{kJ}{kg}$ اشتباہ گرفت.

وقتی که جریان حرارت به اندازه dQ به جریان فرآیند اضافه می شود، مقدار آنتالپی (H) آن را به میزان $(C_p * \Delta T)$ افزایش خواهد داد .



شکل(۲-۴): نمودار دما-آنالپی با اختلاف دمای صفر

جایی که :

$$C_p \text{ ظرفیت حرارتی مخصوص } \left(\frac{kw}{k}\right) = w \text{ جرم جریان } \left(\frac{kg}{s}\right) \times cp$$

$$dt = \text{دیفرانسیل تغییر دما}$$

بنابراین با فرض اینکه c_p ثابت باشد، برای جریانی که حرارت نیاز دارد (جریان سرد) تا دمایش از (T_s) به دمای هدف نهایی (T_t) برسد، تمام حرارت اضافه شده برابر خواهد بود با تغییرات آنتالپی، بطور مثال :

$$Q = \int_{T_s}^{T_t} c_p dT = CP(T_t - T_s) = \Delta H \quad (1-2)$$

و شیب خط که جریان را نشان می دهد برابر است با :

$$\frac{dT}{dQ} = \frac{1}{CP} \quad (2-2)$$

دیاگرام T/H می تواند برای نشان دادن تبادل حرارت استفاده شود چون دید خیلی مفیدی به ما می دهد. یعنی از آنجاییکه ما فقط به تغییرات آنتالپی جریان کار داریم، جریان داده شده در هر جای محور آنتالپی می تواند رسم شود که شامل شیب یکسان و بین دماهای T_s (دمای منبع) و T_t (دمای هدف) است که هرجا روی محور H رسم شود (برای ما فرقی ندارد-متترجم) و همان جریان را نشان می دهد.

شکل (۴-۲) جریان سرد و گرم را برای مثال ما نشان می دهد که روی دیاگرام T/H رسم شده است. نکته این است که جریان گرم با خط با سر پیکان به سمت چپ رسم شده است و جریان سرد عکس آن است. برای انتقال حرارت ممکن بین آن دو جریان، باید تمام نقاط جریان گرم، گرم تر از جریان سرد باشد، یعنی آن باید در بالای جریان سرد رسم شود. شکل (۴-۲) یک مورد محدود کننده را نشان می دهد، جریان گرم نمی تواند بیشتر از این به سمت راست برود تا بازیافت حرارتی بیشتری داشته باشد، چون اختلاف دما بین جریان گرم و سرد در انتهای سرد مبدل حرارتی صفر است. این بدان معنی است که در این مثال، میزان حرارت تبادلی مورد نیاز برای جریان سرد بالای 150°C ، (که برابر با 50 KW است) باید از گرم کننده بخار تأمین شود.

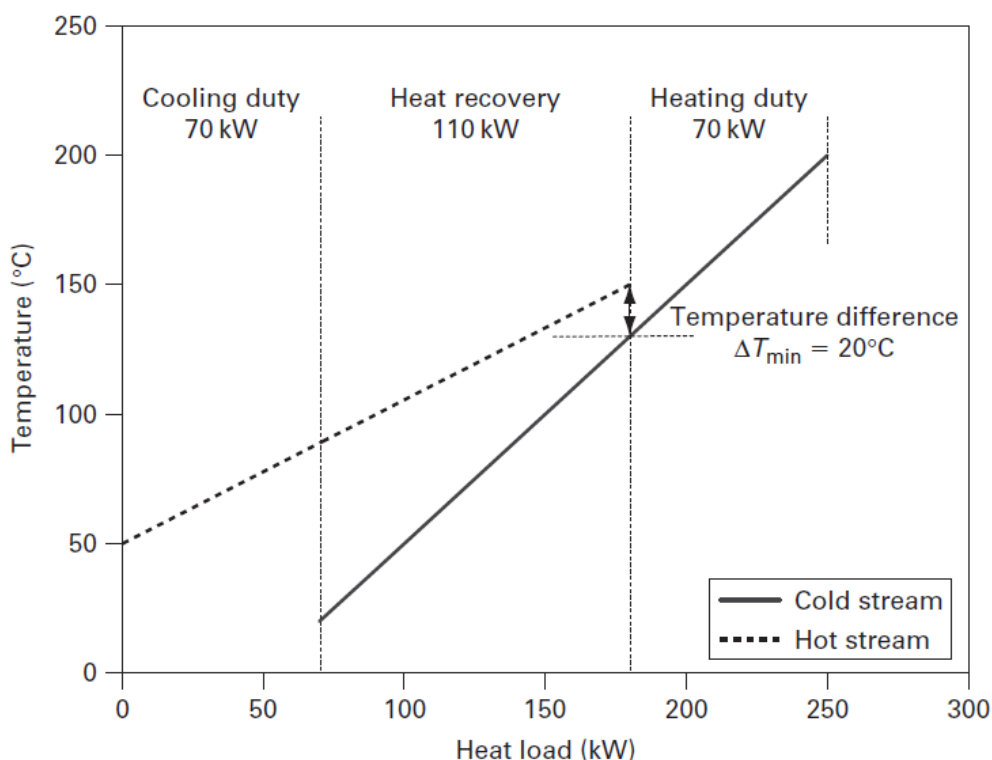
همچنین با وجودیکه KW 130 می تواند برای تبادل حرارت استفاده شود، KW 50 از حرارت در دسترس در جریان گرم باید توسط آب خنک خارج گردد. با این وجود، در حالت عملی و تجربی این شرایط قابل دست یافتن نیست چرا که اختلاف دمای صفر نیازمند به مبدل حرارتی بی نهایت بزرگ می باشد.

در شکل(۲-۵) جریان سرد روی محور H نسبتا به سمت جریان داغ شیفت داده شده است. بنابراین کمترین اختلاف دما (ΔT_{min}) خیلی بیشتر از صفر نیست اما مثبت بوده و مقدار آن نیز محدود است (در این مورد $20^{\circ}C$). تأثیر این انتقال دما روی افزایش بار یوتیلیتی سرد و یوتیلیتی گرم به مقدار مساوی و کاهش بار روی مبدلها نیز به همان اندازه است که برابر با 20 kW است. بنابراین $70 kW$ گرمایش و سرمایش خارجی نیاز است. این نوع نظم و نحوه قرارگیری^۱ اکنون بصورت تجربی و عملی است زیرا ΔT_{min} هیچگاه صفر نیست. واضح است که با شیفت دادن بیشتر، شبکه ΔT_{min} بیشتر شده و میزان مصرف یوتیلیتی نیز افزایش می یابد.

از این تحلیل ۲ اصل مهم و پایه ای پدیدار می شود: اولا یک همبستگی بین اندازه ΔT_{min} در مبدل و میزان کل بار یوتیلیتی در سیستم وجود دارد؛ این بدانی معنی است که اگر اندازه ΔT_{min} را خود طراح انتخاب کند، در صورتیکه مبدل حرارتی را به درستی طراحی کرده باشد، به هدفگذاری انرژی برای اینکه به چه مقدار گرمایش و سرمایش نیازمند است، خواهد رسید. ثانیا اگر بار یوتیلیتی گرم به میزان \propto افزایش یابد، میزان یوتیلیتی سرد نیز به میزان \propto افزایش می یابد. ورودی بیشتر، خروجی بیشتر! اگر هم بارهای حرارتی جریان ثابت باشد بدان معنی است که حرارت تبادل شده به اندازه \propto افت کرده است.

۱-۳-۳) نمودار ترکیبی:

برای بدست آوردن چندین جریان، باید بارهای حرارتی یا ظرفیت حرارتی نرخ کل جریانهای موجود در آن رنج دمایی را باهم جمع نمود. بنابراین یک ترکیب مجزا از تمام جریان های گرم و یک ترکیب مجزا از تمام جریان های سرد می تواند در دیاگرام T/H تولید شود.



شکل(۲-۵): نمودار با اختلاف دمای ۲۰ درجه سانتیگراد

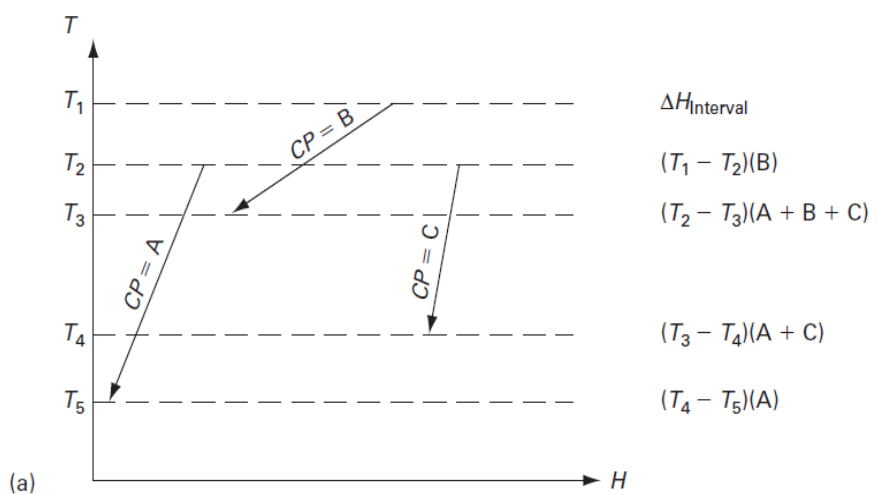
از شکل (۶-۲)-a سه جریان گرم جداگانه رسم شده اند که با دمای منبع T_S و دمای هدف T_t که دسته هایی از فاصله دمایی T_1-T_5 را معرفی می کنند. بین T_1 و T_2 فقط جریان B موجود است و بنابراین حرارت در دسترس در این فاصله $CP_B(T_1 - T_2)$ است. با این وجود (۶-۲) بین T_2 و T_3 هر سه جریان حضور دارند و حرارت موجود در این فاصله برابر $(CP_A - CP_B)(T_2 - T_3)$ است. در تمام ردیف ها میزان ΔH برای هر فاصله از این راه بدست می آید و

نتیجه در برابر هر فاصله دمایی ، دو بار رسم می شود. نظیر آنچه که در شکل (6-۲) b دیده می شود. نتیجه نمودار T/H یک منحنی مجزا است که تمام جریانهای داغ را نشان می دهد که به منحنی ترکیبی گرم شناخته می شود و روش مشابه برای جریانهای سرد نیز منحنی ترکیبی سرد را نشان می دهد.

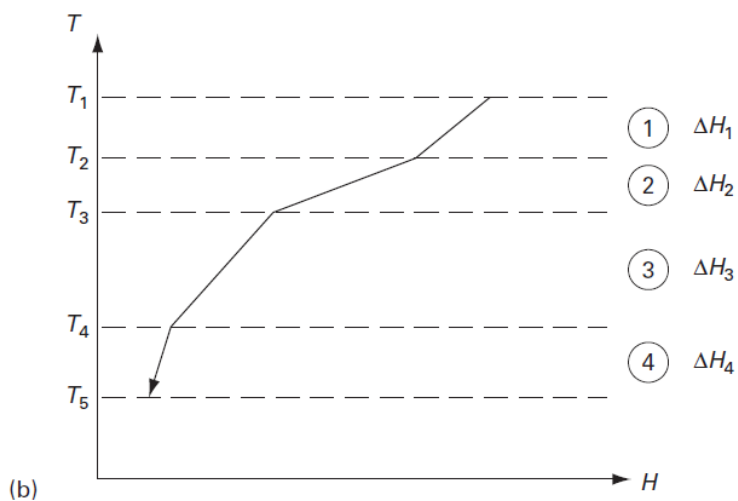
قسمتهای همپوشانی بین منحنی های ترکیبی بیشترین مقدار بازیافت حرارت ممکن بین فرآیندی را نشان می دهد. میزان از حد خارج شده در پایین جریان ترکیبی گرم نشان دهنده کمترین مقدار سرمایش مورد نیاز و میزان از حد خارج شده در بالا در جریان ترکیبی سرد ، کمترین میزان گرمایش خارجی مورد نیاز را نشان میدهد.

ΔT_{min} در واقع کمترین فاصله‌ی بین دو منحنی ترکیبی گرم و سرد است که پس از رسم نمودار ترکیبی، می‌توان با لغزاندن نمودارهای سرد یا گرم در راستای افقی (راستای H) اندازه آن را تعیین نمود که البته انتخاب درست ΔT_{min} با در نظر گرفتن قیمت انرژی و تجهیزات ممکن است که به نحوه انتخاب آن جلوتر پرداخته می شود.

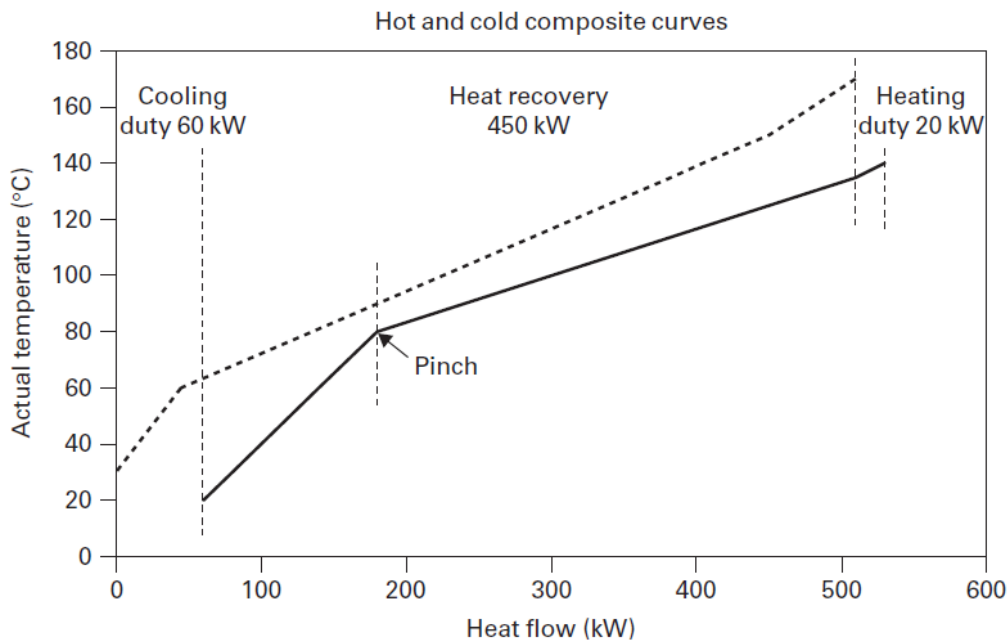
برای آن ΔT_{min} تعیین شده، میزان یوتیلیتی پیش بینی شده کمترین میزان مورد نیاز برای حل مساله بازیافت حرارتی است. نکته اینکه هر چند تعداد زیادی جریان در مساله وجود دارد ، در حالت عادی، ΔT_{min} فقط در یک نقطه اتفاق می افتد که در نزدیکترین نقطه بین دو منحنی است که نقطه پینچ (pinch) خوانده می شود [16] و [17]



شکل (۶-۲) (الف): شکل نمودار ترکیبی گرم



شکل (۶-۲) (ب): شکل نمودار ترکیبی گرم



شکل (۷-۲): نمودار ترکیبی مساله با ۴ جریان

۱-۴) روش هدفگذاری (مساله جدول):

بطور کلی، نمودارهای ترکیبی توضیح داده شده در بخش قبل می تواند برای بدست آوردن اهداف انرژی در ΔT_{min} داده شده استفاده شود. در توصیف ساختار نمودار ترکیبی (شکل ۲-۸)، نشان داده شده است که چگونه موازنۀ آنتالپی فاصله ها (intervals) بر مبنای دمای جریان منبع و دمای هدف تعیین شوند. همانطور نیز می تواند برای جریان سرد و گرم باهم انجام شود تا اجازه دهد ماکریزم مقدار ممکن تبادل حرارت در هر فاصله دمایی ایجاد شود. تنها اصلاح مورد نیاز این است که اطمینان حاصل کنیم که در هر فاصله جریان گرم و جریان سرد از هم جدا و از ΔT_{min} به هم نزدیکتر نباشند. این با حرکت دادن نمودار ها امکانپذیر است که در ΔT_{min} $\frac{1}{2} \Delta T_{min}$ (در این مثال 5°C) پایین جریان گرم و $\frac{1}{2} \Delta T_{min}$ بالای جریان سرد قرار داده می شود. تنظیم فاصله ها به این صورت تضمین می کند که انتقال حرارت کامل درون تمام اینترووال ها امکانپذیر است. بنابراین ، هر اینترووال اگر حرارت بگیرد دارای مقداری مثبت یا اگر حرارت بدهد مقداری منفی است که توسط موازنۀ آنتالپی نوشته می شود. با

دانستن تعداد جریان در هر فاصله دمایی (از شکل ۲) ، موازنی آنتالپی می تواند به راحتی

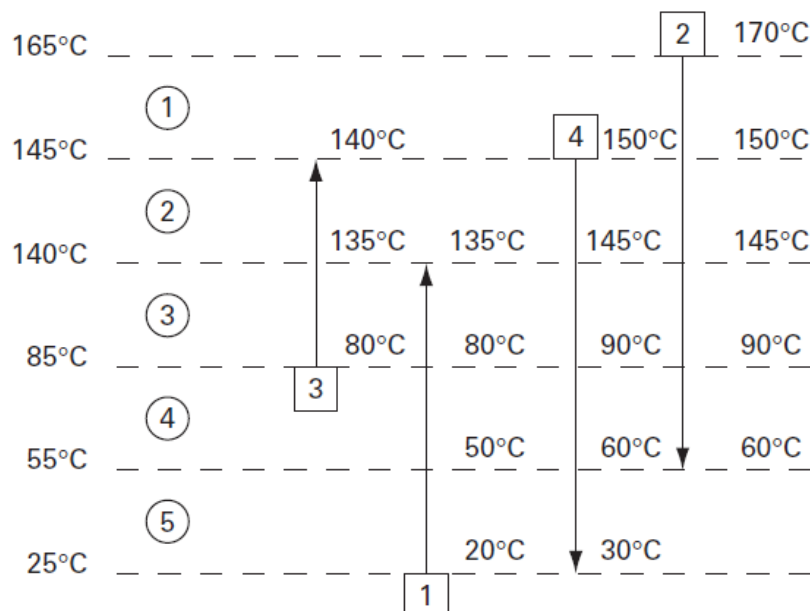
برای هر کدام مطابق زیر محاسبه شود:

$$\Delta H = (S_i - S_{i+1})(\sum cp_H - \sum cp_C)i \quad (3-2)$$

جدول (۲-۲) : داده های مساله دارای ۴ جریان

Stream number and type	CP (kW/K)	Actual temperatures		Shifted temperatures	
		T _S (°C)	T _T (°C)	S _S (°C)	S _T (°C)
1. Cold	2	20°	135°	25°	140°
2. Hot	3	170°	60°	165°	55°
3. Cold	4	80°	140°	85°	145°
4. Hot	1.5	150°	30°	145°	25°

$$\Delta T_{\min} = 10^{\circ}\text{C}.$$



شکل (۲-۸): نمودار جریان ها با فاصله های دمایی

جدول (۳-۲): فاصله بندی دمایی و بار حرارتی مساله ۴ جریان

	<i>Interval number i</i>	$S_i - S_{i+1}$ (°C)	$\sum CP_{HOT} - \sum CP_{COLD}$ (kW/°C)	ΔH_i (kW)	<i>Surplus or deficit</i>
$S_1 = 165^\circ\text{C}$	1	20	+3.0	+60	Surplus
$S_2 = 145^\circ\text{C}$	2	5	+0.5	+2.5	Surplus
$S_3 = 140^\circ\text{C}$	3	55	-1.5	-82.5	Deficit
$S_4 = 85^\circ\text{C}$	4	30	+2.5	+75	Surplus
$S_5 = 55^\circ\text{C}$	5	30	-0.5	-15	Deficit
$S_6 = 25^\circ\text{C}$					

نتیجه در جدول (۳-۲) نشان داده شده است و ستون آخر نشان می دهد که آیا اینتروول در حالت آنتالپی مثبت است یا آنتالپی منفی. بنابراین این امکان وجود دارد که یک سایت را بر پایه این فرض طراحی کنیم که تمام اینترووالهای مثبت، حرارت را به یوتیلیتی سرد منتقل می کنند و تمام اینترووال های منفی، حرارت از یوتیلیتی گرم دریافت می نمایند.

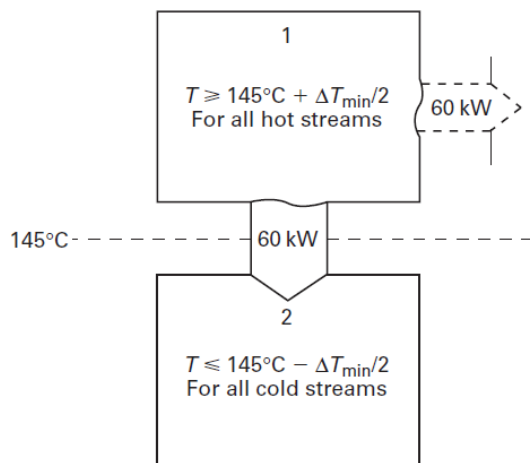
اکنون باید از نکات کلیدی فاصله های دمایی استفاده کرد. یعنی مقداری از حرارت در دسترس فاصله i ام، به اندازه کافی گرم می باشد که برای تأمین و انجام وظایف در فاصله $i+1$ ام استفاده شود. این در شکل (۸-۲) نشان داده شده است. جایی که فاصله ۱ و ۲ بعنوان مثال تشریحی استفاده شده است. در عوض فرستادن 60 kW از حرارت مثبت از اینترووال ۱ به یوتیلیتی سرد، آن میتواند به اینترووال ۲ فرستاده شود. آن نیز امکانپذیر است که حرارت آبشاری را همانطوریکه در شکل (۱۰-۲) نشان داده شده است انجام دهد. با فرض اینکه هیچ حرارتی برای گرمترین اینترووال ۱ از یوتیلیتی گرم تأمین نشود، پس میزان 60 kW مثبت از اینترووال ۱ بصورت آبشاری به اینترووال ۲ می رود. در آنجا 2.5 kW انرژی مثبت از اینترووال ۲ به آن می پیوندد که آن را به 62.5 kW می رساند که کل آن بصورت آبشاری به اینترووال ۳

می رود. اینتروال ۳ دارای 82.5 kW منفی است، بنابراین پس از پذیرفتن آن 62.5 kW مثبت، آن میتواند 20 kW منفی به اینتروال ۴ تحویل دهد. اینتروال ۴ دارای 75 kW مثبت است این میزان 55 kW مثبت به اینتروال ۵ تحویل می دهد و در نهایت اینتروال ۵ که 15 kW منفی است میتواند 40 kW مثبت به یوتیلیتی سرد تحویل دهد. در حقیقت این موازنی آنتالپی خالص کل مساله است (یوتیلیتی سرد).

با برگشتن به انتقال حرارت بین اینتروال ها در شکل (۱۰-۲-a) واضح است که جریان 20 kW بین اینتروال ۲ و ۴ از نظر ترمودینامیکی غیرممکن است. برای ممکن ساختن آن (برای مثال به صفر رساندن آن) 20 kW حرارت باید از یوتیلیتی گرم به آن اضافه شود. همانطور که در شکل (۱۰-۲-b) نشان داده شده است و مدل آبشاری سیستم درست می شود. توسط موازنی آنتالپی مشخص می شود که تمام جریان ها به اندازه 20 kW افزایش می یابند. نتیجه نهایی این عملیات این است که کمترین یوتیلیتی مورد نیاز قابل پیش بینی و محاسبه است. 20 kW گرم و 60 kW سرد). بعلاوه محل قرارگیری پینچ مشخص می شود. که در مرز فاصله های جابجا شده 85°C است. (مثلا برای جریان گرم 90°C و در جریان سرد 80°C است)، جایی که شار حرارتی برابر صفر است.

نتایج بدست آمده این را با نتایج نمودار ترکیبی شکل ۲-۲ مقایسه می کنیم. اطلاعات یکسانی بدست می آید. اما مساله جدول شامل یک بدن و چارچوب ساده برای آنالیز عددی است. یک مساله ساده براحتی با دست قابل محاسبه است. اما برای مسائل بزرگتر راحت تر این است که از ابزاری مثل صفحه گسترده^۱ یا دیگر نرم افزارهای کامپیووتری استفاده کنیم. کل حرارت بازیافت شده توسط مبدل حرارتی با جمع کردن بار حرارتی تمامی جریان های گرم و جریان های سرد به دست می آید که به ترتیب 470 kwh و 510 kwh است. با کم کردن اندازه یوتیلیتی

های سرد و یوتیلیتی های گرم هدف از هم، (60 kwh , 20 kwh) از کل مقدارهای داده شده، توسط ۲ روش مجزا، میزان 450 kwh انرژی بازیافت شده است.



شکل (۹-۲): استفاده از حرارت مازاد در اینتروال ها

الگوریتم مساله جدول، روشی ساده و قوی برای هدفگذاری است. داده ها می توانند خیلی سریع از فلوشیت استخراج شده و آنالیز شوند که آیا فرآیند در نزدیکی نقطه بهینه قرار دارد یا که آیا یک پتانسیل کافی برای ذخیره انرژی وجود دارد یا نه .

در حقیقت ۳ راه ممکن برای جابجایی نمودار ترکیبی گرم و سرد برای نزدیکتر شدن به ΔT_{min} وجود دارد. برای اینکه آنها در پینچ با همدیگر تماس یابند .

۱- تمام دماها را بر پایه دماهای گرم نوشته و دماهای جریان سرد را به اندازه T_{min}

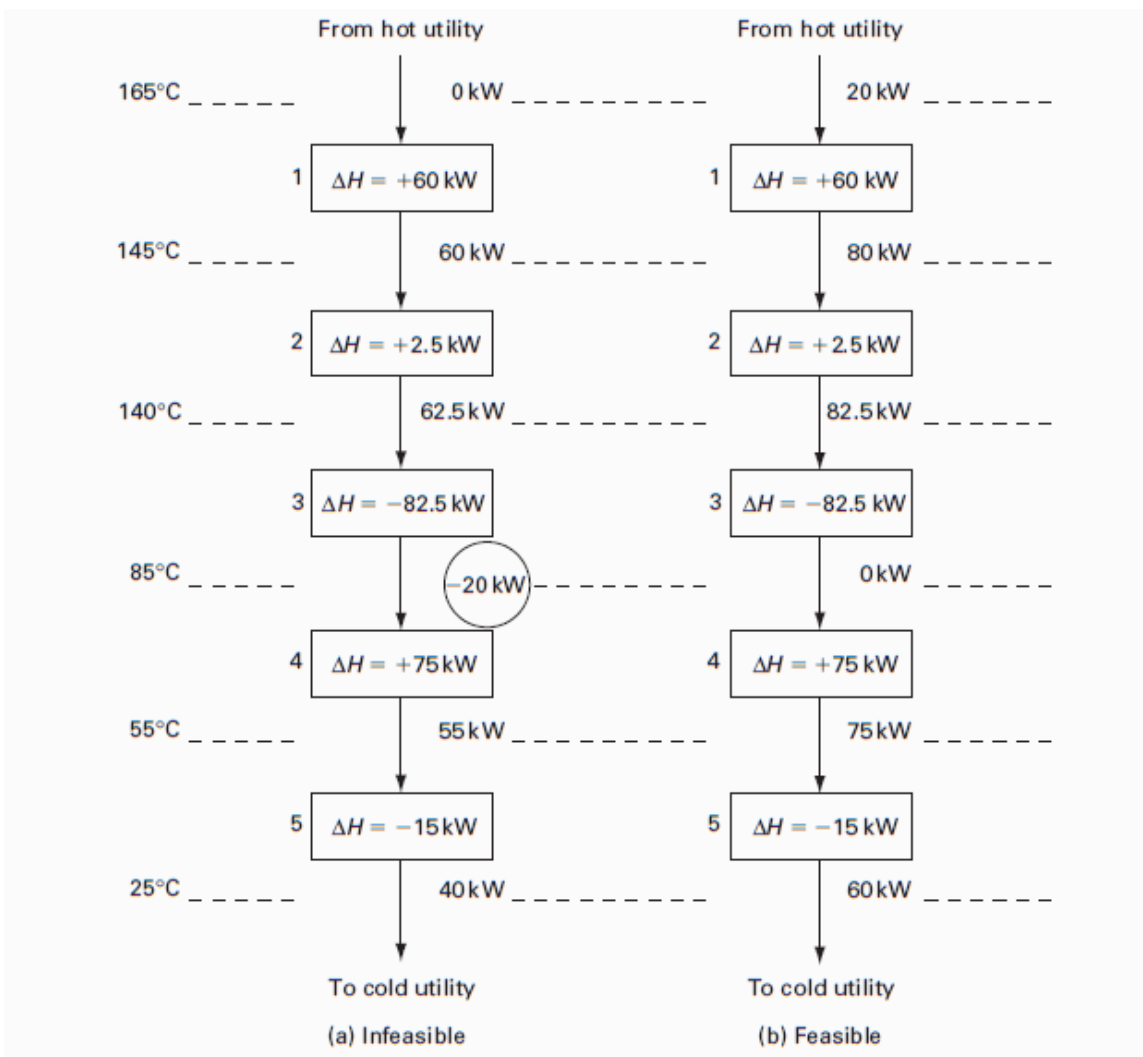
افزایش داد.

۲- تمام دماها را بر پایه دماهای سرد نوشته و دماهای جریان گرم را به اندازه T_{min}

کاهش داد.

۳- از روش جابجایی دماها استفاده کرد بطوریکه جریانهای گرم به اندازه $1/2\Delta T_{min}$

افزایش و جریانهای سرد به اندازه $1/2\Delta T_{min}$ یابند.



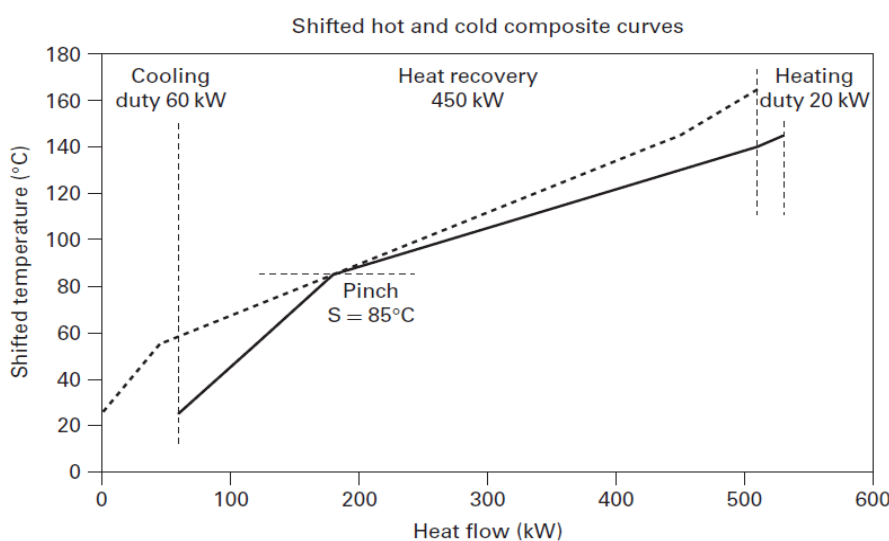
شکل (۱۰-۲): آبشار حرارتی شدنی و نشدنی

۱-۵- نمودار ترکیبی جامع و نمودار ترکیبی جابجا شده :

اگر نمودار ترکیبی روی محورهای دمایی جابجا شده دوباره رسم شود، نمودار ترکیبی جابجا شده بدست می‌آید. (شکل ۱۱-۲) نمودار ترکیبی جابجا شده فقط در نقطه پینچ با هم در تماس اند و به این خاطر وضوح نمودار بیشتر است چون پینچ، نمودار فرآیند را به ۲ قسمت تقسیم می‌کند.

حال در نظر بگیرید در دمای جابجا شده S چه اتفاقی می‌افتد. کل حرارت موجود جریانهای داغ Q_H ، نسبت به کل حرارت جریان داغ در نقطه پینچ، Q_{HP} (ثابت) ΔQ_H است. به همین ترتیب جریان حرارت از کل جریانهای سرد نسبت به آن در نقطه پینچ ΔQ_C است. یک نابالانسی وجود دارد که باید توسط یوتیلیتی تأمین شود. گرمایش یا سرمایش خارجی. در بالای پینچ $\Delta Q_C > \Delta Q_H$ و اختلاف آنها باید توسط یوتیلیتی گرم تأمین شود. همچنین در پایین پینچ $\Delta Q_H > \Delta Q_C$ و حرارت اضافی توسط یوتیلیتی سرد دفع می‌شود.

ازین رو با فهمیدن نمودار ترکیبی جابجا شده، می‌توان کمترین مقدار سرمایش و یا گرمایش مورد نیاز که لازم است تا در دماهای داده شده تأمین شود را یافت. نمودار جریان حرارت خالص (یوتیلیتی مورد نیاز) در برابر دمای جابجا شده به راحتی قابل رسم است که این نمودار را نمودار ترکیبی جامع گویند (GCC). این اختلاف بین حرارت در دسترس جریانهای داغ و حرارت مورد نیاز توسط جریانهای سرد را نسبت به پینچ در دماهای جابجا شده داده شده، نشان می‌دهد.



شکل(۱۱-۲) : نمودار منحنی ترکیبی حرکت داده شده

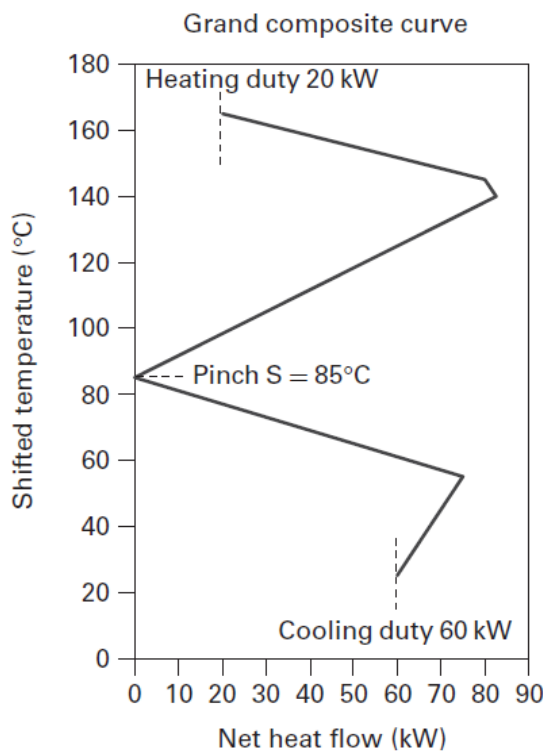
نمودار GCC برای مثال ۴ جریان، در بخش ۲ در شکل (۱۲-۲) رسم شده است. میزان جریان حرارت خالص در انتهای بالا و پایین همان حرارت تامین شده و دفع شده برای حالت آبشاری است و بنابراین میزان یوتیلیتی گرم و سرد هدف را می‌گوید. اما نمودار GCC نه تنها میگوید که چقدر حرارت خالص لازم است بلکه میگوید که دمای مورد نیاز آن چند است. لازم نیست که تمامی یوتیلیتی های گرم در بالاترین دمای اینتروال تأمین شود. هر قدر از آن که بشود، باید در دمای پایین تر تأمین شود. نقطه پینچ به راحتی قابل دستیابی است، پینچ جایی است که میزان شار حرارت برابر صفر شود و GCC محور را قطع کند. علاوه بر این می‌توان دید که آیا پینچ در وسط رنج دمایی اتفاق می‌افتد و یا در یک طرف آن قرار می‌گیرد. (مسائل آستانه) و دیگر ناحیه های جریان حرارت خالص را شناخته و اینکه آیا مساله دارای ۲ نقطه پینچ است یا نه !

همچنین هدفگذاری انرژی می‌تواند برای فروکش کردن مشاجرات مهندسان و طراحان که آیا سیکل یکپارچه شود یا نه نیز مفید است. یک سوال اغلب هست که : یک ذخیره سازی و صرفه جویی مهم می‌تواند با یکپارچه سازی^۱ صورت گیرد؟ الگوریتم مساله جدول می‌تواند برای سطح A و B بصورت جداگانه پذیرفته شود و سپس برای کل جریانها در A و B باهم نتایج آنالیز به سرعت سوال را فروکش می‌کند. مثلاً اگر جواب

A تنها : ۱۰٪ ذخیره سازی در کل هزینه سوخت امکانپذیر است.

B تنها : ۵٪ ذخیره سازی در کل هزینه سوخت امکانپذیر است.

A و B با هم : ۳۰٪ ذخیره سازی امکانپذیر است.



شکل(۱۲-۲): نمودار *GCC* برای مساله

پس به اندازه ۱۵٪ انگیزه صرفه جویی انرژی برای یکپارچه سازی سطح های A و B وجود دارد که به این روش هدفگذاری منطقه ای گویند.

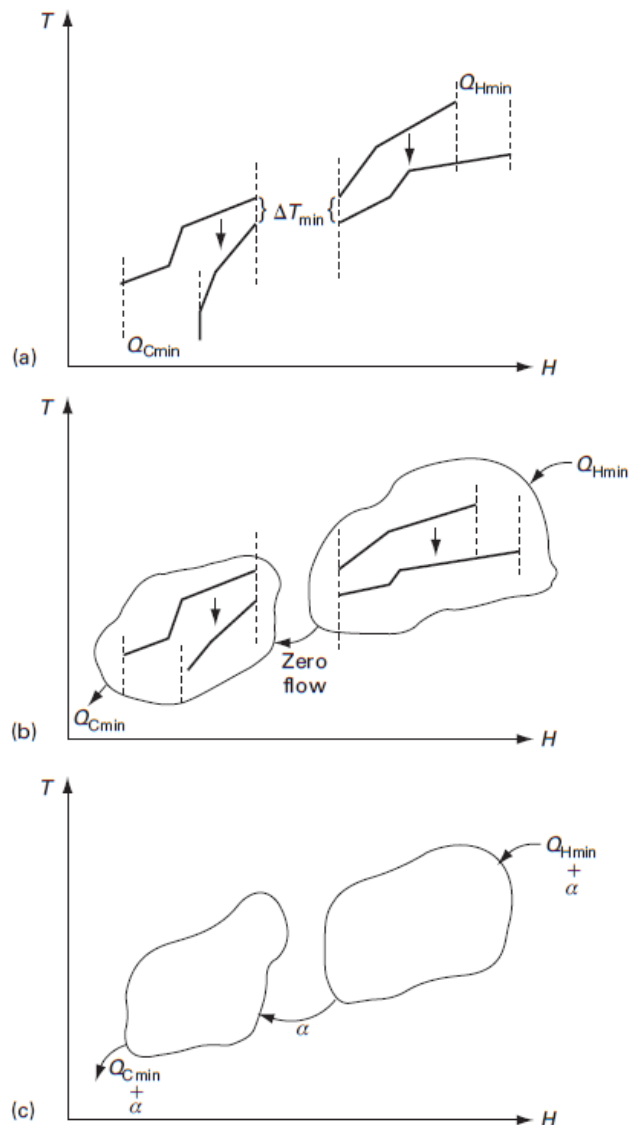
خلاصه این بخش :

- نمودار ترکیبی یک فهم اساسی از چگونگی هدفگذاری به ما می دهد.
- مساله روش جدول و نمودار *GCC* یک نتیجه به ما می دهد.
- هدفگذاری انرژی یک طراحی بسیار قوی است و یکپارچه سازی فرآیند، حامی آن است.

۱-۶-۱- پینچ و اهمیت آن :

شکل(۱۳-۲)-a یک منحنی ترکیبی برای یک مساله با چند جریان ، که در نقطه پینچ جدا شده است را نشان می دهد. در بالای پینچ (ناحیه سمت راست) ترکیب جریان های گرم، تمام حرارت خود را به ترکیب جریان های سرد منتقل می کند، یعنی فقط یوتیلیتی گرم مورد نیاز است. ناحیه بالای پینچ یک چاه حرارتی خالص است که جریان حرارت به درون آن است و هیچ حرارتی نیز از آن چاه خارج نمی شود. این ناحیه شامل تبادل حرارت و یوتیلیتی گرم است و هیچ یوتیلیتی سردی در آن نیست. بطور عکس در پایین پینچ تنها سرمایش نیاز است. این ناحیه یک منبع حرارتی خالص است که نیازمند تبادل حرارت و یوتیلیتی سرد می باشد و به یوتیلیتی گرم نیازی ندارد. پس مساله از نظر ترمودینامیکی به دو ناحیه تقسیم می شود که با موازنۀ آنتالپی در شکل (۱۳-۲)-b نشان داده شده است. حرارت $Q_{H\min}$ در بالای پینچ به درون جریان دارد و $Q_{C\min}$ در پایین پینچ به بیرون، اما جریان حرارت در نقطه پینچ صفر است.

نکته اینکه در طراحی برخی از سایت ها که به میزان α حرارت از نقطه پینچ عبور می کند، با استفاده از موازنۀ آنتالپی طبق شکل (۱۳-۲)-c باید به میزان α انرژی بیشتری را از طریق یوتیلیتی گرم و سرد مصرف شود. این استنباط یعنی به میزان α استفاده بیشتر از یوتیلیتی گرم در بالای



شکل (۱۳-۲): جداسازی مساله در نقطه پینچ

پینچ، سبب افزایش یوتیلیتی سرد به میزان ∞ ، در پایین پینچ می شود. این ۳ قاعده طلایی(قواعد پینچ) به طراحی دهد تا طراحی با کمترین یوتیلیتی موردنیاز هدف بدست آید.

- هیچ حرارتی از نقطه پینچ عبور نمی کند.

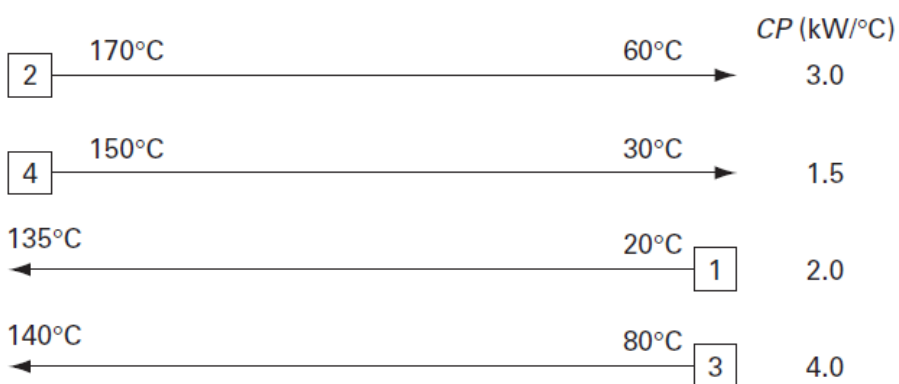
- از یوتیلیتی سرد در بالای پینچ استفاده نشود .

- از یوتیلیتی گرم در پایین پینچ استفاده نشود .

۱-۷-۱- طراحی سایت مبدل حرارتی :

۱-۷-۱- نمایش شبکه ای سایت :

برای طراحی یک سایت مبدل حرارتی ، بهترین حالت نمایش به صورت دیاگرام شبکه ای (Grid-diagram) است که توسط لینهف و فلورو(۱۹۷۸) معرفی شد [16]. جریان ها به صورت خطوط افقی رسم می شوند که دمای بالا سمت چپ و دمای پایین آن ها سمت راست قرار می گیرد . و جریان ها از بالابه پایین دمایشان کم می شود . مبدل های حرارتی به صورت ۲ دایره که با خط عمودی به هم وصل شده اند مشخص می شود . رسم شبکه از رسم فلوشیت بسیار آسان تر است مخصوصاً که مبدل های حرارتی می توانند در خیلی جاهای قرار گیرند بدون اینکه جریان سیستم دوباره رسم شود . شبکه، تبادل حرارت به صورت خلاف جهت یکدیگر را نشان می دهد و سرانجام نقطه پیچ در شبکه نشان داده می شود . که در فلوشیت قابل نمایش نبود .

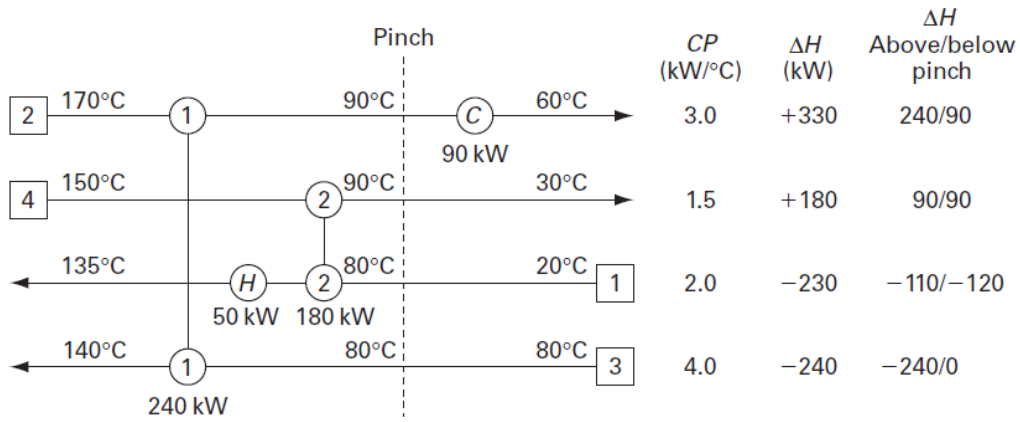


شکل(۱۴-۲) : نمودار شبکه ای برای مساله ۴ جریان

۱-۷-۲- طراحی شبکه به صورت صحیح و منطقی :

با توجه به شکل (۱۴-۲) می خواهیم که تبادل حرارت بین جریان سرد و گرم ایجاد کنیم و ما باید از

انتهای یکی از رنج های دمایی شروع کنیم . ایجاد ارتباط (match) بین گرم ترین جریان گرم ۲ در برابر گرمترین جریان سرد ۳ بهترین نیرو محركه و اطمینان از امکان پذیری را به ما می دهد . اگر ما تمام بار حرارتی روی جریان ۲ رادر نظر بگیریم (240kw) می توانیم محاسبه کنیم که جریان ۲ تا 90°C پایین می آید . که آن برای برای ΔT_{\min} برابر 10°C قابل قبول است . سپس باید جریان ۴ را در برابر جریان ۱ قرار دهیم ، می توانیم بفهمیم که به تمام ۱۸۰kw انرژی جریان ۴ در حالی که به $\Delta t_{\min} = 10^{\circ}\text{C}$ دست می یابیم که همان مقدار مشخص شده و مورد نظر است . و این باعث می شود جریان ۱ تا 10°C گرم شود . پس این جریان به مقدار ۵۰kw دیگر نیاز دارد تا به دمای نهايی لازم که 130°C است برسد . و جریان ۲ نیز برای اینکه به دمای نهايی 60°C برسد باید به میزان ۹۰kw انرژی از دست بدهد . شکل نهايی (۱۵-۲) نشان می دهد که به اندازه ۴۲۰kw انرژی از طریق مبدل ها بازیافت شده است و فقط ما به اندازه ۵۰kw انرژی از سوختن مجدد بدست آورده ایم . اما با توجه به نتایج که از فلوشیت بدست آوردهیم فهمیدیم که ما فقط ۲۰kw برای گرمایش نیاز داریم و فقط ۶۰kw باید خنک شود در حالی که الان می بینیم که گرمایش ۵۰kw و سرمایش ۹۰kw انرژی می خواهد . خطأ کجاست؟ بهتر است که از مطالب فهمیده شده از پینچ استفاده کرد تا درک شود که علت دور شدن از هدف مشخص شود . (۵۰kw بجائی ۲۰kw مصرف کنیم) .



شکل (۲-۱۵): طراحی درست شبکه برای مساله ۴ جریان

دماهی نقطه پینچ برای جریان گرم 90°C و برای جریان سرد 80°C است . ما می دانیم که فقط ۳ دلیل برای فرایند وجود دارد که باعث افت انرژی می شود و آن همان اصول پینچ است که حتماً یکی از آن ها رعایت نشده است .

(۳ اصل قاعده پینچ) :

۱. در بالای پینچ یوتیلیتی سرد استفاده نشود
۲. در پایین پینچ یوتیلیتی گرم استفاده نشود
۳. در پینچ انتقال حرارت نباید وجود داشته باشد .

با دقت در می یابد که ۲ اصل اول رعایت شده است. حال باید دید که آیا از نقطه پینچ انتقال حرارت هست یا نه ؟ اگر در شکل دقت شود دیده می شود که جریان ۲ در بالای پینچ 90°C است و در پایین پینچ هم همان است ولی جریان ۱ در پایین پینچ 20°C و در بالای پینچ 80°C که حدود 120kw انتقال و حرارت داشته ولی جریان ۴ در بالای پینچ 90°C و در پایین پینچ 30°C است که حدود 90kw انتقال حرارت داشته ولی در خلاف جهت جریان یکدیگر . بنابراین اگر آن ها را از هم کم کنید $120-90=30\text{kw}$ میزان انتقال حرارت از نقطه پینچ است که به اندازه همان اتلاف حرارتی است که ما را از هدف دور کرده بود . یعنی با این حالت ما به

اندازه 30kw بیشتر انرژی مصرف شده است (یوتیلیتی گرم) و به همان اندازه بیشتر به سرمایش نیاز است (یوتیلیتی سرد) .

تنها با شروع طراحی از نقاطی که محدودیت بیشتری دارند- خود نقطه پینچ - و سپس نقاطی دورتر می توان تضمین کرد استفاده از این قوانین موثر و امکانپذیر است.

۱-۷-۳- طراحی برای بیشترین بازیافت انرژی :

به شبکه دیاگرام قبل برگردید و ساختار یک شکل جدید را شروع کنید. نکته اینکه جریان شماره ۳ از نقطه پینچ شروع می شود. در حقیقت در مسایل، جایی که جریان ها تماماً دارای ظرفیت حرارتی (CPS) ثابتی هستند ، پینچ همیشه در نزدیکی ورودی جریان های سرد و جریان گرم اتفاق می افتد.

گفته شد که در بالای پینچ هیچ یوتیلیتی سردی نباید استفاده شود، این بدان معنی است که در بالای پینچ تمام جریان های گرم باید با تبادل حرارت با جریان های سرد تا دمای پینچ آورده شوند. بنابراین باید طراحی را از نقطه پینچ شروع کرد و هماهنگی و ارتباط آن ها را باهم پیدا نمود تا به شرایط حداکثری دست یافتد. در این مثال در بالای پینچ، ۲ جریان داغ در match دمای پینچ وجود دارد پس به دو pinch match نیاز است. در شکل (۱۶-۲) یک جریان ۱ به همواره نمودار H/T آن نشان داده شده است. (نکته اینکه نمایش جریان ۲ از CP جریان ۱ در نمودار شبکه ای بصورت آینه متقارن خواهد بود). چون مقدار CP جریان ۲ از CP جریان ۱ بیشتر است ، به محض اینکه مقداری بار حرارتی بین آن ها تبادل شد، ΔT در مبدل از آن در انتهای مبدل کمتر خواهد شد. تبادل حرارت در این قسمت به طور قطع غیرممکن است ، پس بنابراین باید به دنبال یک ترکیب و match دیگر بود. در شکل (۱۶-۲)

b جریان ۲ و ۳ به هم مرتبط شده اند و اختلاف نسبی نمودار T/H اکنون بصورت واگراست. و بدان معنی است که با افزایش بار حرارتی بر روی مبدل ، Δt رو به افزایش است.

پس این ترکیب یا match، اگر در بحث طراحی در کارخانه سازنده قرار گیرد قابل قبول است. سپس جریان ۴ باید با جریان ۱ جور (match) شود تا به دمای نقطه پینچ برسد. (یعنی این تنها ایده باقیمانده برای جریان ۴ است). با نگاه کردن در اندازه های تقریبی CP ها، دریافته می شود که جورشدن جریان ۴ با جریان ۱ شدنی است. (CP4<CP1).

در اینجا جریان های بیشتری که سرمایش نیاز داشته باشند تا به دمای نقطه پینچ برسند وجود ندارد ، پس به یک طراحی شدنی و قابل قبول در نقطه پینچ دست یافته است. این تنها طراحی درست در نقطه پینچ است زیرا فقط ۲ ترکیب یا pinch match با جریان ۱ نیاز است. خلاصه اینکه در طراحی نزدیک نقطه پینچ در بالای پینچ باید این معیار را در نظر گرفت که

$$CP_{hot} \leq CP_{cold} \quad (4-2)$$

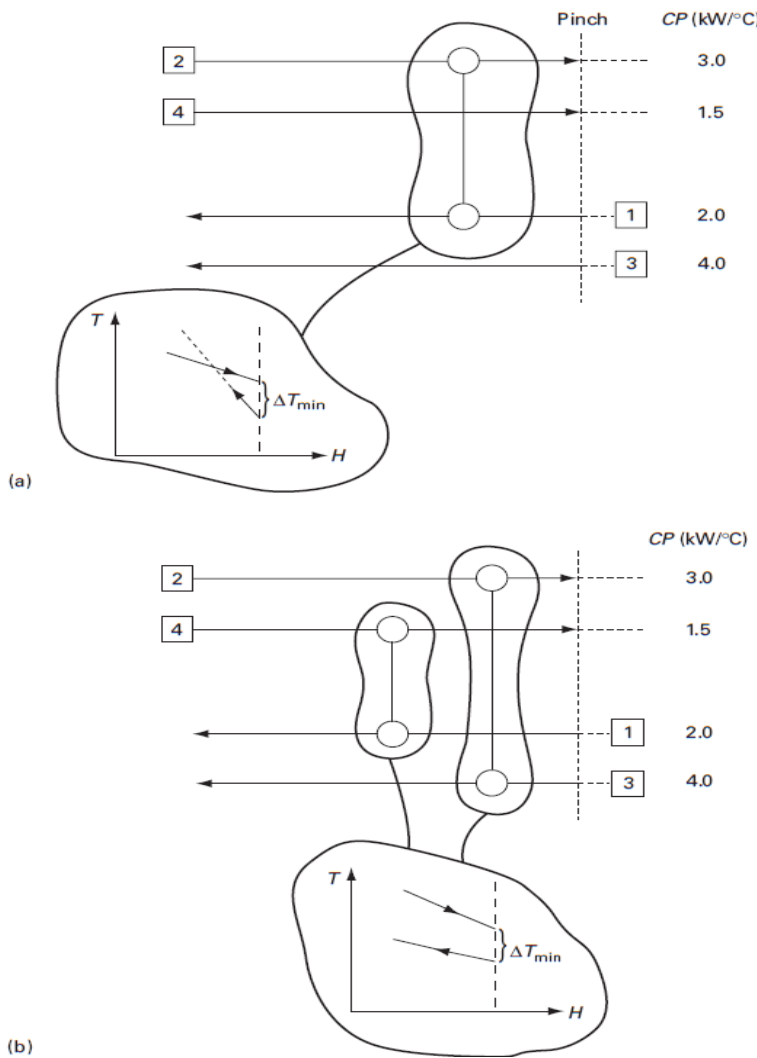
با پیدا شدن طراحی قابل قبول در پینچ لازم است که بر روی بار حرارتی ترکیب بحث و تصمیم گیری شود. پیشنهاد این است که "از بیشترین میزان بار حرارتی برای اراضی کامل یک جریان " استفاده کرد. این به ما این اطمینان را می دهد که به کمترین تعداد واحد مبدل حرارتی نیاز خواهید داشت. بنابراین جریان ۲ در بالای پینچ به 240kw سرمایش نیاز دارد و جریان ۳ در بالای پینچ به 240kw گرمایش. پس ترکیب ۳-۲ توانایی لازم برای اراضی کامل ۲ جریان را دارد. با این وجود ترکیب جریان ۱-۴ تنها می تواند جریان ۴ را ارضاء کند که این دارای بار حرارتی 90kw است و جریان ۱ را فقط تا دمای ۱۲۵ درجه سانتیگراد می تواند بالا ببرد. چون هر دو جریان گرم با این مرحله طراحی، کاملا از ناحیه پینچ دور شده اند، جریان ۱ باید از ۱۲۵ °C تا ۱۳۵ °C دمای نهایی هدف که ۱۳۵ °C است توسط یوتیلیتی گرم خارجی، گرم شود.

همانطور که در شکل (۲-۱۷) دیده می شود، این مقدار برابر 20kw است که با تحلیل مساله جدول پیش بینی و محاسبه شد. این اتفاقی نیست. طراحی این گونه است که مقید به عدم عبور حرارت از نقطه پینچ باشد (طراحی قسمت های بالای پینچ کاملا مستقل از پایین پینچ است). و هیچ یوتیلیتی سردی در بالای پینچ استفاده نشده است.

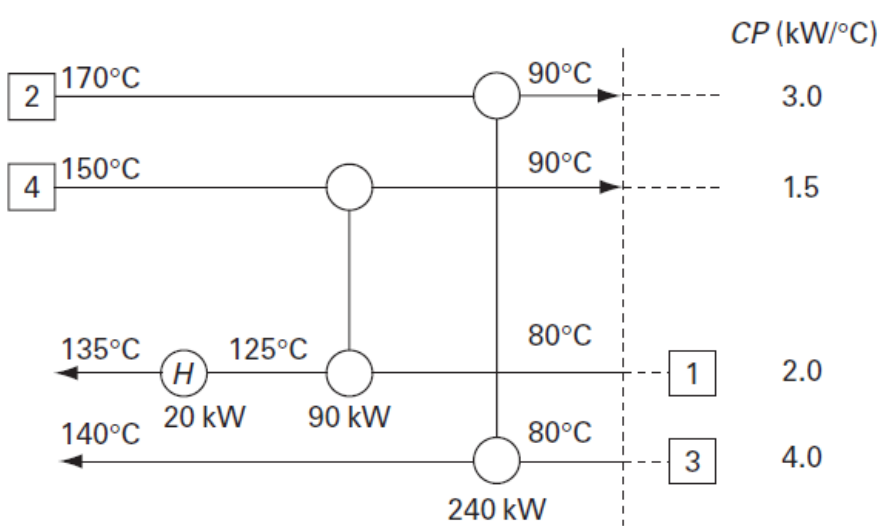
در پایین پینچ، مراحل طراحی همان روش ها را پی می گیرد. فقط با همان معیار های طراحی به صورت قرینه نسبت به بالای پینچ . حالا لازم است که جریان های سرد را با مبادله کردن حرارت با جریان های گرم به دمای نقطه پینچ رساند. با نظر به اینکه ما نباید از یوتیلیتی گرم در پایین پینچ استفاده کرد. در این مثال فقط ۱ جریان سرد در پایین پینچ وجود دارد که باید با یکی از جریان های گرم ۲ یا ۴ جور شود. جور شدن جریان ۱ با ۲ امکان پذیر است ، زیرا CP جریان گرم از CP جریان سرد بیشتر است و اختلاف دمای بین آن ها با دور شدن از نقطه پینچ به سمت دماهای کمتر، افزایش می یابد. حالت دیگری برای جور شدن بین جریان های ۱ و ۴ امکان پذیر نیست. در ناحیه مجاور پایین پینچ شرط لازم جور شدن

$$CP_{cold} \leq CP_{hot} \quad (5-2)$$

است، که عکس شرط طراحی ناحیه بالای پینچ است.



شكل (١٦-٢): نتیجه قراردهی جریان ها با CP مختلف



شکل (۱۷-۲) : طراحی شبکه برای مساله ۴ جریان در بالای نقطه پینچ

بیشترین بار حرارتی بر روی جریان ۲، 90kw است و حرارت لازم برای جریان ۱، 20kw است، پس 30kw حرارت باقیمانده است که برای رساندن جریان ۱ از 25°C تا 35°C لازم است. آن دوباره باید با جریان گرم تبادل حرارت کند (نه با یوتیلیتی گرم) تنها تک جریان ۴ در دسترس است . با وجود اینکه قانون CP برای این هماهنگی سازگار نیست اما این جور شدن، قابل قبول است. چون به اندازه کافی از نقطه پینچ دور شده ایم (خطر $\Delta T < \Delta T_{min}$ وجود ندارد). با قرارگیری بار 30kw روی این match، به اندازه 60kw انرژی باقیمانده جریان ۴ باید توسط یوتیلیتی سرد خارج شود. این هم دوباره توسط آنالیز مساله جدول محاسبه و پیش بینی شده است. طراحی پایین پینچ در شکل (۱۸-۲) نشان داده شده است.

با قراردادن طرف گرم و سرد طراحی در کنار هم، حالت کامل شده طراحی مشخص می شود که در شکل (۱۹-۲) نشان داده شده است. این بهترین حالت بازده انرژی برای $\Delta T_{min} = 10^{\circ}\text{C}$ با ۴ مبدل حرارتی و یک گرمکن و یک خنک کن است. به عبارت دیگر ، ۶ واحد تجهیزات تبادل انرژی در کل سایت موجود است. این به عنوان شبکه MER شناخته می شود(minimum energy requirement , maximum energy recovery) یعنی بیشترین میزان بازیافت انرژی یا کمترین میزان مصرف انرژی.

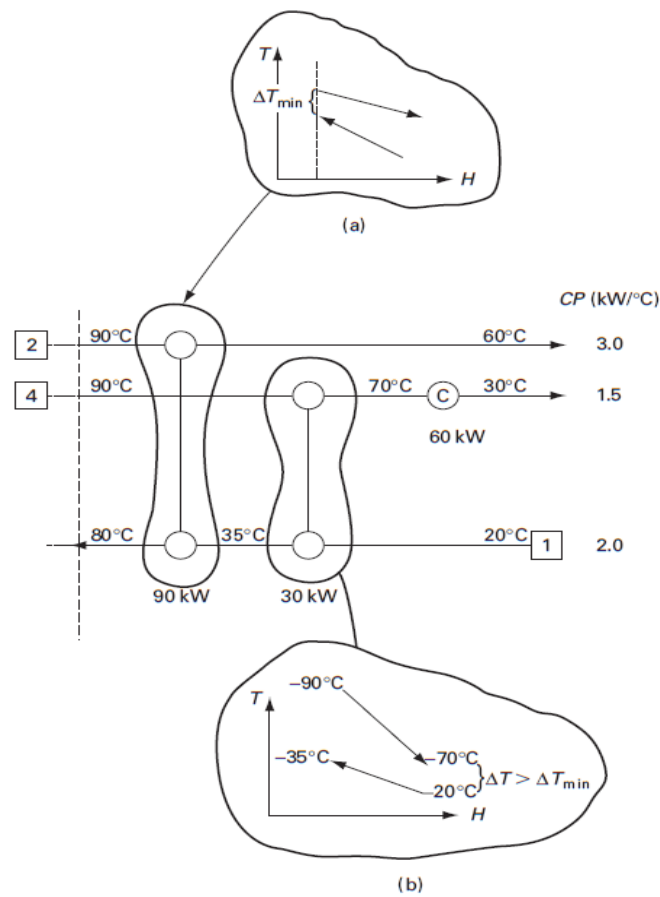
خلاصه اینکه این طراحی ، توسط موارد زیر شکل می گیرد :

- طراحی مساله در نقطه پینچ و طراحی هر قسمت بصورت جداگانه
- شروع طراحی از نقطه پینچ و دور شدن از آن
- در ناحیه اطراف پینچ [18]

$$CP_{hot} \leq CP_{cold} \quad \text{در بالای پینچ}$$

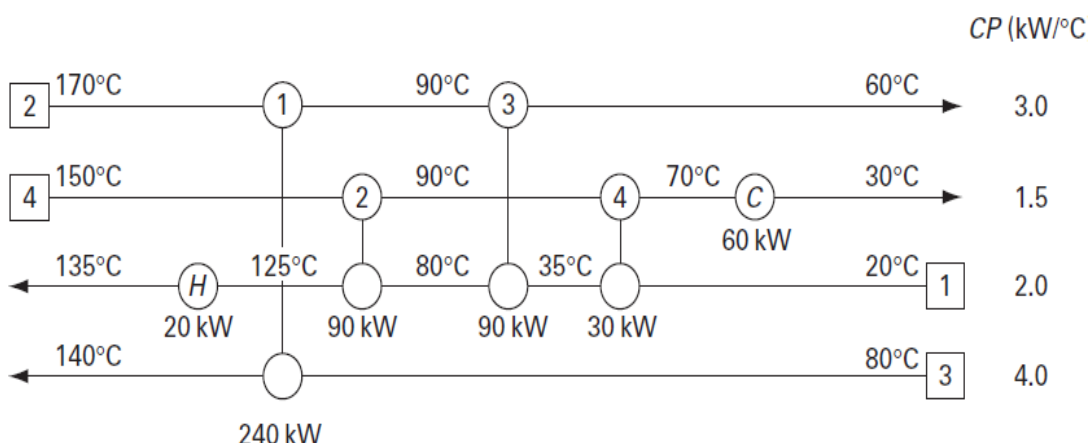
$$CP_{cold} \leq CP_{hot}$$

در پایین پینج



شکل(۲-۱۱-۲): طراحی پایین پینچ برای مساله ۴ جریان

۱-۷-۴- نکاتی در مورد استراتژی طراحی:



شکل(۱۹-۲): طراحی کلی بدست آمده برای اهداف انرژی

۱-۸) انتخاب درست ΔT_{\min} جهت بهترین هدفگذاری [16] :

۱-۸-۱) مفاهیم بیشتری از انتخاب ΔT_{\min}

تاکنون متوجه شده ایم که مقدار بیشتر ΔT_{\min} یعنی فاصله دمایی بیشتر بین جریان سرد و گرم که سبب افزایش میزان بار سرمایشی و گرمایشی مودر نیاز برای جریان ها می شود . بنابراین ما می خواهیم که ΔT_{\min} تا حد امکان کم باشد تا بیشترین بازده انرژی را داشته باشیم . اما یک مانع وجود دارد ؛ اینکه با کم شدن مقدار ΔT_{\min} اندازه مبدل های حرارتی وقیمت آن ها افزایش می یابد . در مبدل های حرارتی سطح مورد نیاز برای انتقال حرارت از رابطه زیر بدست می آید .

$$A = \frac{Q}{U \cdot \Delta T_{lm}} \quad (6-2)$$

بر حسب m^2 و Q میزان حرارت منتقل شده (kw) و U ضریب انتقال حرارت کلی است (kW/m^2k) و ΔT_{lm} اختلاف حرارت لگاریتمی است . اگر در مبدل حرارتی جریان غیر همسو داشته باشیم که جریان گرم با دمای T_{h1} وارد شود و با دمای T_{h2} خارج شود و جریان سرد با دمای T_{c1} دارد و با دمای T_{c2} خارج شود یعنی T_{h2} در انتهای سرد و T_{c1} در انتهای گرم قرار گیرند آنگاه

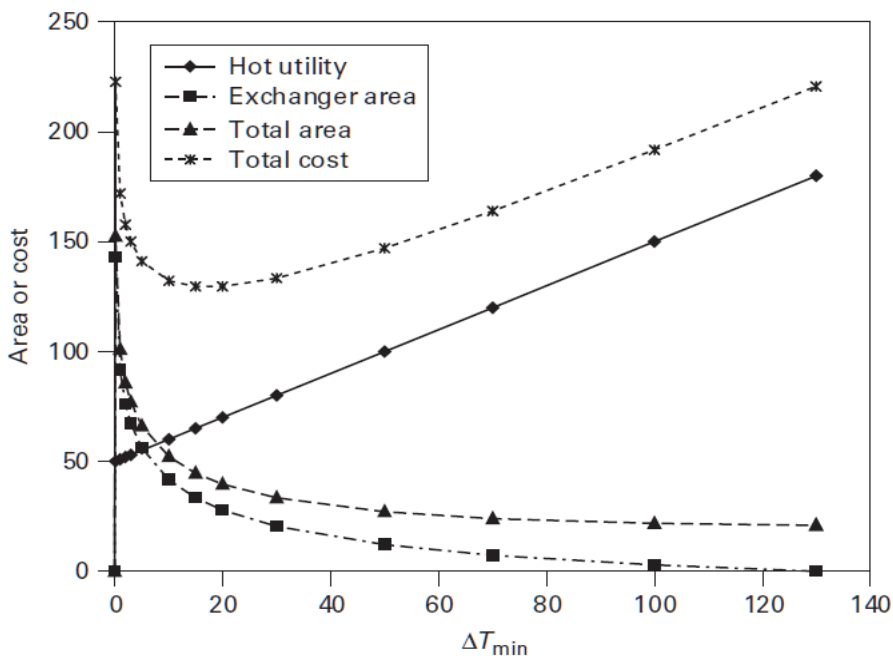
$$\Delta T_{lm} = \frac{\Delta T_H - \Delta T_C}{In(\frac{\Delta T_H}{\Delta T_C})} = \frac{T_{h1} - T_{c2} - T_{h2} + T_{c1}}{In(\frac{T_{h1} - T_{c2}}{T_{h2} - T_{c1}})} \quad (7-2)$$

در واقع سطح مبدل حرارتی رابطه عکس با میزان اختلاف دما دارد. یعنی اندازه کمتر ΔT_{\min} باعث بزرگ شدن مبدل و گران شدن قیمت مبدل های حرارتی می شود چون هزینه های

اصلی (capital cost) به اندازه سطح مبدل ها وابسته است. واضح است که اگر ΔT_{\min} بین جریان سرد و گرم کم شود اندازه ΔT_{lm} نیز کم خواهد شد.

برای هر دو جریان مثال شکل (۲۰-۲) یوتیلیتی مورد استفاده و سطح مبدل های حرارتی رسم شده است. (با فرض ضریب انتقال حرارت $(0.1 \frac{kW}{m^2 k})$) و تأثیر استفاده از هیتر و کولر را نشان داده است. در اینجا استفاده از یوتیلیتی با افزایش ΔT_{\min} به صورت خطی صعودی است. در حالی که سطح مبدل های حرارتی در ΔT_{\min} های خیلی کوچک شیب بسیار تندرنزویی دارد.

حال ما فرض می کنیم که هزینه انرژی با میزان مصرف انرژی رابطه مستقیم داشته باشد و هزینه های مبدل حرارتی با سطح مبدل حرارتی متناسب باشند؛ ما می توانیم هزینه های عملیاتی را با هزینه های اصلی جمع کنیم از آنجایی که هزینه های انرژی بر حسب ساعت است و دائمی است و هزینه های اصلی فقط ۱ بار است ما می توانیم هزینه های انرژی را بر حسب سال در نظر بگیریم و هزینه های اصلی را هم در همان بازه فرض کنم . انتخاب آن مقیاس زمانی به عنوان زمان برگشت



شکل (۲۰-۲): نمودار قیمت (سطح مبدل حرارت) بر حسب اختلاف دمای حداقل [16]

سرمایه شناخته می شود . این به ما جمع کل هزینه ها که شامل قیمت یوتیلیتی ها و قیمت مبدل ها و قیمت هیترها و کولرها را به ما می دهد که میزان بهینه کل در ΔT_{\min} به اندازه ۱۵ $^{\circ}\text{C}$ - ۲۰ $^{\circ}\text{C}$ دیده می شود . یعنی بهترین انتخاب ΔT_{\min} برای این مثال برابر $20^{\circ}\text{C} - 15^{\circ}\text{C}$ است .

پر واضح است که انتخاب درست اندازه ΔT_{\min} برای رسیدن به اهداف سایت بسیار مهم است. هر چند ما ذکر می کنیم که منحنی هزینه های کل (total cost) دارای حالت بهینه نسبتاً یکنواخت است و این به طور نسبتاً رضایت بخشی باعث می شود منحنی نمودار به یک طرف میل کند. تا زمانی که ΔT_{\min} انتخابی خیلی کوچک یا بزرگ نباشد طراحی منطقی به صورت تجربی برای ΔT_{\min} حداقل برای قسمت های داخلی می تواند قابل پیش بینی باشد. اغلب اندازه $20^{\circ}\text{C} - 10^{\circ}\text{C}$ بهترین است اما در بعضی صنایع ΔT_{\min} های خیلی کوچک یا بزرگ مناسب است.

۱-۸-۲- خلاصه بخش : نکات کلیدی سطح و هزینه های هدفگذاری :

- معمولاً یک مقدار بهینه برای ΔT_{\min} در رنج شدنی وجود دارد
- نقطه بهینه کاملاً دقیق نیست چون خطاهاي مهمی شاید در پروسه وجود داشته باشد که ما در نظر نگرفته باشیم .
- ΔT_{\min} بهینه با افزایش قیمت انرژی ، کاهش هزینه های اصلی یا افزایش زمان بازگشت سرمایه کاهش می یابد .

۱-۹- زمان برگشت سرمایه :

از هزینه های سرمایه گذاری در طول دوران اجرای پروژه جهت خرید، نصب و راه اندازی تجهیزات و ماشین آلات مورد نیاز طرح استفاده می گردد تا اینکه طرح جهت بهره برداری و تولید محصول و یا عرضه خدمات پیش بینی شده برای آن، آماده گردد. پس از بهره برداری از طرح، عرضه محصول و یا خدمات به بازار مصرف آغاز می گردد که درآمدی را عاید سرمایه گذار می نماید. از درآمد حاصل از فروش محصول و خدمات در ابتدا برای پرداخت هزینه های تولید محصول نظیر مواد اولیه، انرژی، پرسنلی و سایر هزینه های مورد نیاز استفاده می شود و پس از کسر این هزینه ها و هزینه های محاسبه شده مربوط به عوارض و مالیات، رقم مانده نهایی بعنوان سود خالص که هدف نهایی طرح می باشد محاسبه می گردد. سود خالص سالیانه در طی دوران بهره برداری به سرمایه گذاری که در دوران احداث اقدام به سرمایه گذاری نموده پرداخت می گردد. مقطع زمانی که در آن سود خالص تجمعی طرح در طی سال های مختلف معادل رقم مربوط به سرمایه گذاری انجام شده در طول دوران احداث (ویا دوران بهره برداری) باشد، دوره بازگشت سرمایه نامیده می شود که واحد آن براساس سال می باشد.

جهت محاسبه شاخص مالی دوره بازگشت سرمایه نیز از جدول جریانات نقدی استفاده می شود. بدین منظور جریانات نقدی هرسال با سال گذشته جمع می شود که براین اساس جریانات نقدی تجمعی محاسبه می گردد. رقم مذکور در سال های نخست به جهت تأثیر هزینه های سرمایه گذاری منفی می باشد و به تدریج و با تأثیر سود خالص سالانه جریانات نقدی تجمعی به سمت رقم مثبت می نماید. مقطع زمانی که جریانات نقدی تجمعی در آن از منفی به مثبت تبدیل می شود، دوره بازگشت سرمایه است [19].

چیزی که برای انجام یک پروژه بهینه سازی بسیار مهم است زمان برگشت سرمایه ای است که برای پروژه محاسبه می شود. که آیا این مطالعه صورت گرفته در صورت تایید قابلیت اجرا صرفه اقتصادی مناسبی دارد یا نه؟ هرچه این زمان کمتر باشد بهتر است ؟ محاسبه زمان برگشت سرمایه از رابطه زیر بدست می آید :

$$P.B = (C.C / A.S) \quad (8-2)$$

$P.B$ = زمان برگشت سرمایه

$C.C$ = هزینه سرمایه گذاری انجام پروژه

$A.S$ = سود خالص حاصل انجام پروژه در یک سال

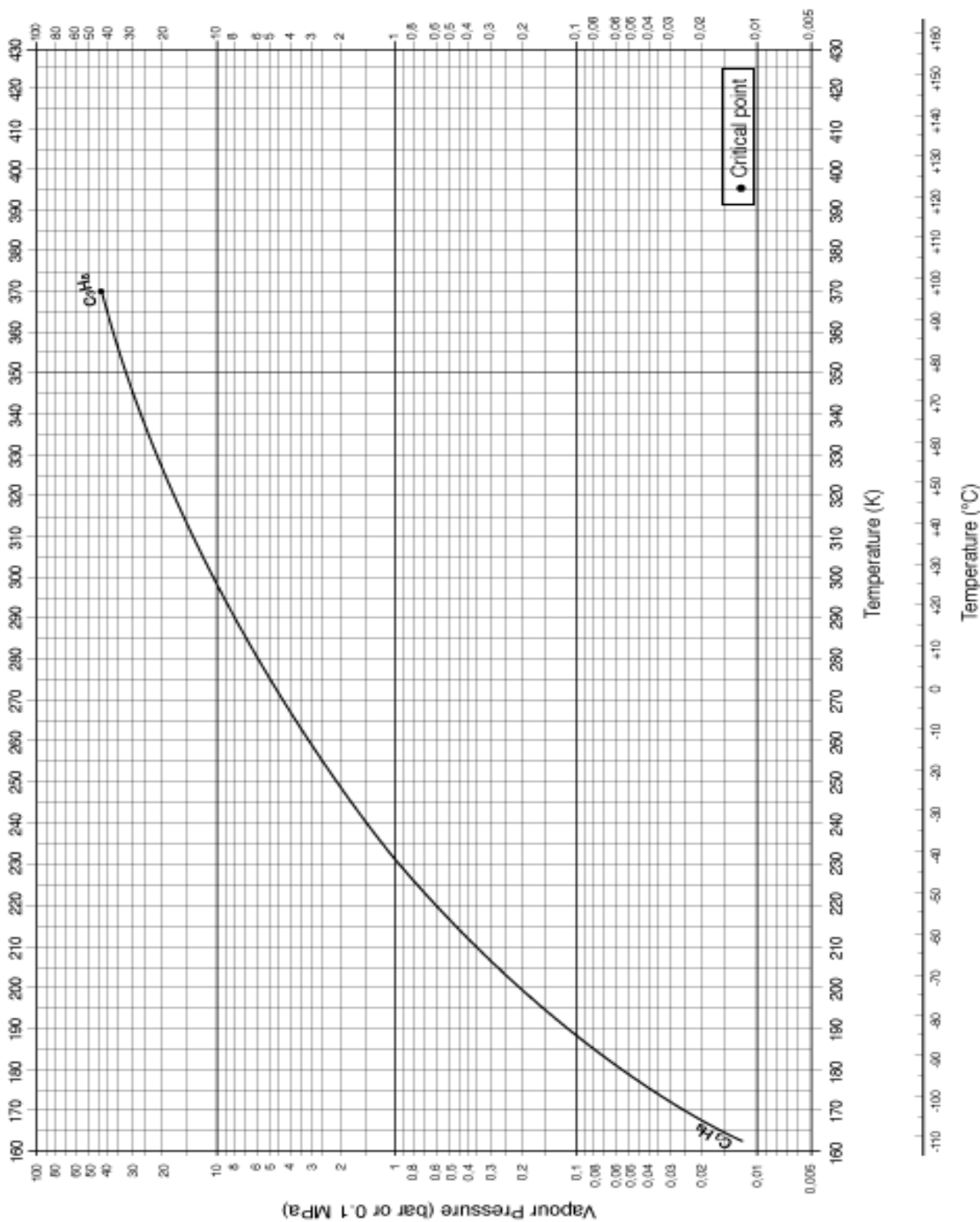
۱۰-۱) روش شناسی آنالیز پینچ:

۱۰-۱) روش های آنالیز پینچ :

در قسمت قبل بینشی از نکات کلیدی آنالیز پینچ داده شد. اما جزئیات بیشتری برای موارد صنعتی واقعی وجود دارد که در کار با آن ها مواجه می شویم که مهمترین اصلی ترین آن ها عبارتند از :

- استخراج داده ها - چگونه می توان فلوشیت یک فرایнд را بدست آورد : پایداری بالانس جرم و حرارت و استخراج داده های جریان نیازمند آنالیز پینچ است .
- قاعده قراردهی مناسب تجهیزات : چگونگی قرار دادن یوتیلیتی های سرد و گرم ، سیستم های جدا کننده و دیگر آیتم های فرایند باید با استفاده از پینچ و نمودار GCC (نمودار ترکیبی جامع) صورت گیرد.
- بهینه کردن سایت - ویرایش سایت برای حذف کردن مبدل های کوچک که خیلی مقرن به صرفه نیستند یا دیگر ویژگی های نامطلوب
- به روز کردن سایت فعلی - سازگار کردن و تعديل کردن روش ها برای رسیدگی کردن به مبدل های فعلی و سایت
- سیستم های گرمایشی و قدرت ، پمپ های حرارتی و سیستم های خنک کاری

پیوست ۲ - فشار بخار پروپان در دماهای مختلف



پیوست - ۳

نمودار دانسیته هوا در دماهای مختلف

AIR DENSITY CORRECTION FACTORS

Air Temp. °F	Elevation (Feet Above Sea Level)															
	0	1000	2000	3000	4000	5000	6000	7000	8000	9000	10000	11000	12000	13000	14000	15000
0	0.87	0.90	0.94	0.97	1.01	1.05	1.08	1.13	1.17	1.22	1.26	1.31	1.37	1.43	1.48	1.54
50	0.96	1.00	1.04	1.08	1.11	1.15	1.20	1.24	1.30	1.34	1.40	1.45	1.51	1.57	1.63	1.70
70	1.00	1.04	1.08	1.12	1.16	1.22	1.25	1.30	1.35	1.40	1.45	1.51	1.57	1.64	1.70	1.77
100	1.06	1.10	1.14	1.18	1.22	1.27	1.32	1.37	1.42	1.48	1.54	1.60	1.66	1.74	1.80	1.88
150	1.15	1.19	1.24	1.30	1.33	1.38	1.44	1.49	1.55	1.61	1.67	1.74	1.81	1.89	1.96	2.04
200	1.25	1.29	1.34	1.40	1.44	1.50	1.56	1.61	1.68	1.75	1.81	1.89	1.96	2.05	2.13	2.21
250	1.34	1.39	1.44	1.50	1.55	1.61	1.67	1.74	1.80	1.88	1.95	2.02	2.10	2.20	2.28	2.37
300	1.43	1.49	1.54	1.60	1.66	1.72	1.79	1.86	1.93	2.01	2.08	2.16	2.25	2.35	2.43	2.53
350	1.53	1.58	1.64	1.71	1.77	1.84	1.91	1.98	2.06	2.14	2.22	2.31	2.40	2.51	2.60	2.71
400	1.62	1.68	1.75	1.81	1.88	1.94	2.03	2.09	2.19	2.27	2.37	2.46	2.54	2.66	2.75	2.87
500	1.81	1.88	1.95	2.02	2.10	2.18	2.26	2.35	2.44	2.54	2.63	2.73	2.84	2.97	3.08	3.20
600	2.00	2.07	2.15	2.23	2.31	2.40	2.50	2.59	2.69	2.84	2.91	3.02	3.14	3.28	3.40	3.54
700	2.19	2.27	2.35	2.44	2.53	2.63	2.73	2.83	2.94	3.07	3.17	3.31	3.44	3.59	3.72	3.88
800	2.38	2.48	2.57	2.67	2.76	2.86	2.98	3.09	3.21	3.33	3.45	3.59	3.74	3.90	4.05	4.21
900	2.56	2.66	2.76	2.87	2.97	3.07	3.20	3.33	3.46	3.58	3.71	3.87	4.02	4.20	4.35	4.53
1000	2.76	2.87	2.99	3.09	3.20	3.31	3.45	3.59	3.73	3.86	4.00	4.17	4.33	4.53	4.69	4.89

پیوست ۴ - آمار هوای شهر اهواز در سال ۸۹

二二

ڈاکٹر امداد مہبیانہ ایسٹگاہ ٹھوٹنگاں

၁၅၅

پیو ست - ۵

NGL 400 نتایج داده های شبیه سازی سایت

Results Summary Streams Material

	1	1STGLYC	2	3	4	4+30
Temperature F	151.0	120.0	128.0	89.3	89.3	91.9
Pressure psia	535.00	245.00	535.00	535.00	505.00	505.00
Vapor Frac	1.000	0.000	0.998	0.994	1.000	0.996
Mole Flow lbmol/hr	46203.630	198.349	46203.630	46203.630	45923.126	46022.300
Mass Flow lb/hr	937456.948	6904.789	937456.948	937456.948	932403.581	935855.958
Volume Flow cuft/hr	519246.625	104.212	492381.740	445910.085	475828.880	478673.772
Enthalpy MMBtu/hr	-1603.683	-29.625	-1617.646	-1641.646	-1605.870	-1620.683
Mole Flow lbmol/hr						
METHANE	37668.540		37668.540	37668.540	37668.532	37668.532
ETHANE	4542.410		4542.410	4542.410	4542.409	4542.409
PROPANE	1998.480		1998.480	1998.480	1998.480	1998.480
C4H10-01	279.600		279.600	279.600	279.600	279.600
C4H10-02	591.290		591.290	591.290	591.290	591.290
C5H12-01	174.180		174.180	174.180	174.180	174.180
C5H12-02	174.180		174.180	174.180	174.180	174.180
C6H14-01	119.180		119.180	119.180	119.180	119.180
C7H16-01	55.000		55.000	55.000	55.000	55.000
CO2	233.770		233.770	233.770	233.769	233.769
H2S						
H2O	367.000	122.725	367.000	367.000	86.505	147.867
C2H6O-01		75.624				37.812

5 5+31 6 7 7-0 7-2

Temperature F	45.0	38.9	14.0	72.4	14.0	122.5
Pressure psia	505.00	505.00	505.00	505.00	505.00	505.00
Vapor Frac	0.983	0.994	0.956	1.000	1.000	1.000
Mole Flow lbmol/hr	46022.300	46121.475	46121.475	44158.807	44158.807	44158.807
Mass Flow lb/hr	935855.958	939308.370	939308.370	851343.112	851343.112	851343.112
Volume Flow cuft/hr	417379.472	410453.216	373146.445	443718.921	370808.428	501912.952
Enthalpy MMBtu/hr	-1648.893	-1663.706	-1686.594	-1520.996	-1549.206	-1496.996
Mole Flow lbmol/hr						
METHANE	37668.532	37668.532	37668.532	37313.946	37313.946	37313.946
ETHANE	4542.409	4542.409	4542.409	4293.055	4293.055	4293.055
PROPANE	1998.480	1998.480	1998.480	1662.567	1662.567	1662.567
C4H10-01	279.600	279.600	279.600	182.315	182.315	182.315
C4H10-02	591.290	591.290	591.290	342.317	342.317	342.317
C5H12-01	174.180	174.180	174.180	62.634	62.634	62.634
C5H12-02	174.180	174.180	174.180	53.862	53.862	53.862
C6H14-01	119.180	119.180	119.180	12.475	12.475	12.475
C7H16-01	55.000	55.000	55.000	2.104	2.104	2.104
CO2	233.769	233.769	233.769	228.026	228.026	228.026
H2S						
H2O	147.867	209.230	209.230	5.477	5.477	5.477
C2H6O-01	37.812	75.624	75.624	0.029	0.029	0.029

Results Summary Streams Material

	8	8-1	8-2	11	12	14
Temperature F	14.0	0.0	-13.7		79.0	144.0
Pressure psia	505.00	505.00	225.00	505.00	245.00	85.00
Vapor Frac	0.000	0.000	0.145		1.000	1.000
Mole Flow lbmol/hr	1697.833	1697.833	1697.833	0.000	9.041	7202.830
Mass Flow lb/hr	80198.651	80198.651	80198.651	0.000	199.186	194996.811
Volume Flow cuft/hr	2308.437	2272.541	6761.453	0.000	198.303	534641.023
Enthalpy MMBtu/hr	-99.584	-100.205	-100.205		-0.315	-271.591
Mole Flow lbmol/hr						
METHANE	354.494	354.494	354.494		6.671	4149.920
ETHANE	249.325	249.325	249.325		1.380	1369.510
PROPANE	335.908	335.908	335.908		0.630	885.650
C4H10-01	97.285	97.285	97.285		0.080	139.880
C4H10-02	248.973	248.973	248.973		0.170	298.310
C5H12-01	111.546	111.546	111.546		0.040	87.070
C5H12-02	120.318	120.318	120.318		0.040	87.070
C6H14-01	106.705	106.705	106.705		0.030	57.810
C7H16-01	52.896	52.896	52.896			22.840
CO2	5.726	5.726	5.726			37.820
H2S						0.710
H2O	7.043	7.043	7.043			66.240
C2H6O-01	7.614	7.614	7.614			

14-2 14-3 14-4 15 15-2 15-3

Temperature F	144.0	289.2	147.3	144.0	144.0	304.7
Pressure psia	85.00	250.00	245.00	85.00	85.00	280.00
Vapor Frac	1.000	1.000	1.000	1.000	1.000	1.000
Mole Flow lbmol/hr	7202.830	7202.830	7202.830	4432.510	4432.510	4432.510
Mass Flow lb/hr	194996.811	194996.811	194996.811	119997.211	119997.211	119997.211
Volume Flow cuft/hr	534640.981	223061.896	177311.405	329009.949	329009.941	124937.157
Enthalpy MMBtu/hr	-271.591	-257.620	-272.620	-167.133	-167.133	-157.560
Mole Flow lbmol/hr						
METHANE	4149.920	4149.920	4149.920	2553.800	2553.800	2553.800
ETHANE	1369.510	1369.510	1369.510	842.780	842.780	842.780
PROPANE	885.650	885.650	885.650	545.020	545.020	545.020
C4H10-01	139.880	139.880	139.880	86.080	86.080	86.080
C4H10-02	298.310	298.310	298.310	183.570	183.570	183.570
C5H12-01	87.070	87.070	87.070	53.580	53.580	53.580
C5H12-02	87.070	87.070	87.070	53.580	53.580	53.580
C6H14-01	57.810	57.810	57.810	35.570	35.570	35.570
C7H16-01	22.840	22.840	22.840	14.050	14.050	14.050
CO2	37.820	37.820	37.820	23.280	23.280	23.280
H2S	0.710	0.710	0.710	0.440	0.440	0.440
H2O	66.240	66.240	66.240	40.760	40.760	40.760
C2H6O-01						

Results Summary Streams Material

	15-4	15-5	16	16-0	17	17-1
--	------	------	----	------	----	------

Temperature F	150.0	116.0	126.7	133.7	110.9	110.9
Pressure psia	275.00	245.00	245.00	250.00	245.00	245.00
Vapor Frac	1.000	1.000	1.000	1.000	0.997	0.997
Mole Flow lbmol/hr	4432.510	4420.950	11623.780	7202.830	11623.780	11632.821
Mass Flow lb/hr	119997.211	119788.961	314785.772	194996.811	314785.772	314984.958
Volume Flow cuft/hr	96803.717	101686.455	273805.221	168513.242	263662.655	263861.838
Enthalpy MMBtu/hr	-167.761	-168.467	-442.487	-274.020	-445.425	-445.740
Mole Flow lbmol/hr						
METHANE	2553.800	2553.800	6703.720	4149.920	6703.720	6710.391
ETHANE	842.780	842.780	2212.290	1369.510	2212.290	2213.670
PROPANE	545.020	545.020	1430.670	885.650	1430.670	1431.300
C4H10-01	86.080	86.080	225.960	139.880	225.960	226.040
C4H10-02	183.570	183.570	481.880	298.310	481.880	482.050
C5H12-01	53.580	53.580	140.650	87.070	140.650	140.690
C5H12-02	53.580	53.580	140.650	87.070	140.650	140.690
C6H14-01	35.570	35.570	93.380	57.810	93.380	93.410
C7H16-01	14.050	14.050	36.890	22.840	36.890	36.890
CO2	23.280	23.280	61.100	37.820	61.100	61.100
H2S	0.440	0.440	1.150	0.710	1.150	1.150
H2O	40.760	29.201	95.441	66.240	95.441	95.441
C2H6O-01						

	18	18-1	19	19-1	20	21
--	----	------	----	------	----	----

Temperature F	111.0	112.1	79.4	78.6	27.5	-6.9
Pressure psia	287.92	245.00	245.00	240.00	240.00	240.00
Vapor Frac	1.000	0.987	0.954	0.944	0.840	0.747
Mole Flow lbmol/hr	11516.493	11611.613	11611.613	11707.113	11707.113	11707.113
Mass Flow lb/hr	308768.331	312080.943	312080.943	315406.831	315406.831	315406.831
Volume Flow cuft/hr	219454.462	262033.339	236964.949	241647.657	194344.582	161370.416
Enthalpy MMBtu/hr	-437.838	-452.254	-460.121	-474.596	-490.928	-502.870
Mole Flow lbmol/hr						
METHANE	6705.012	6705.012	6705.012	6705.012	6705.012	6705.012
ETHANE	2205.932	2205.932	2205.932	2205.932	2205.932	2205.932
PROPANE	1417.720	1417.720	1417.720	1417.720	1417.720	1417.720
C4H10-01	221.352	221.352	221.352	221.352	221.352	221.352
C4H10-02	469.169	469.169	469.169	469.169	469.169	469.169
C5H12-01	133.021	133.021	133.021	133.021	133.021	133.021
C5H12-02	131.507	131.507	131.507	131.507	131.507	131.507
C6H14-01	77.786	77.786	77.786	77.786	77.786	77.786
C7H16-01	24.729	24.729	24.729	24.729	24.729	24.729
CO2	60.997	60.997	60.997	60.997	60.997	60.997
H2S	1.145	1.145	1.145	1.145	1.145	1.145
H2O	68.122	126.945	126.945	186.002	186.002	186.002
C2H6O-01		36.297	36.297	72.740	72.740	72.740

Results Summary Streams Material

	22	23	24	25	25-0	25-1
Temperature F	-21.0	-19.0	-19.0	74.4	-12.0	105.9
Pressure psia	240.00	230.00	230.00	225.00	225.00	225.00
Vapor Frac	0.707	1.000	0.000	1.000	1.000	1.000
Mole Flow lbmol/hr	11707.113	8441.459	3023.708	8939.820	8939.820	8939.820
Mass Flow lb/hr	315406.831	173608.281	134668.450	181237.918	181237.918	181237.918
Volume Flow cuft/hr	148327.645	154844.035	3810.681	214996.658	172279.979	229990.075
Enthalpy MMBtu/hr	-507.675	-301.153	-170.833	-308.789	-316.656	-305.851
Mole Flow lbmol/hr						
METHANE	6705.012	6371.032	333.993	6918.040	6918.040	6918.040
ETHANE	2205.932	1500.925	704.983	1476.400	1476.400	1476.400
PROPANE	1417.720	440.740	976.963	384.750	384.750	384.750
C4H10-01	221.352	26.584	194.764	33.520	33.520	33.520
C4H10-02	469.169	41.147	428.015	58.500	58.500	58.500
C5H12-01	133.021	4.179	128.840	9.480	9.480	9.480
C5H12-02	131.507	3.240	128.265	7.170	7.170	7.170
C6H14-01	77.786	0.352	77.433	1.640	1.640	1.640
C7H16-01	24.729	0.030	24.698	0.010	0.010	0.010
CO2	60.997	52.169	8.816	49.570	49.570	49.570
H2S	1.145	0.712	0.429	0.340	0.340	0.340
H2O	186.002	0.346	6.636	0.400	0.400	0.400
C2H6O-01	72.740	0.001	9.873			

	28	28-2	30	31	33	34
Temperature F	60.0	120.0	120.0	120.0	31.0	31.0
Pressure psia	1350.00	1350.00	245.00	245.00	350.00	350.00
Vapor Frac	0.000	0.000	0.000	0.000	0.000	0.000
Mole Flow lbmol/hr	4320.430	4320.430	99.174	99.175	95.119	95.501
Mass Flow lb/hr	212729.896	212729.896	3452.377	3452.412	3312.611	3325.888
Volume Flow cuft/hr	6324.186	6914.687	52.106	52.106	48.567	48.762
Enthalpy MMBtu/hr	-248.801	-241.160	-14.813	-14.813	-14.417	-14.475
Mole Flow lbmol/hr						
METHANE	169.050	169.050				
ETHANE	991.870	991.870				
PROPANE	1390.620	1390.620				
C4H10-01	285.840	285.840				
C4H10-02	674.250	674.250				
C5H12-01	241.090	241.090				
C5H12-02	257.060	257.060				
C6H14-01	197.080	197.080				
C7H16-01	91.680	91.680				
CO2	21.080	21.080				
H2S	0.810	0.810				
H2O			61.362	61.363	58.822	59.058
C2H6O-01			37.812	37.812	36.297	36.443

Results Summary Streams Material

	35	36	37	37-43	38	38-44
--	----	----	----	-------	----	-------

Temperature F	89.3	14.0	116.0		111.0	
Pressure psia	505.00	505.00	245.00		287.92	
Vapor Frac	0.000	0.000	0.000		0.000	
Mole Flow lbmol/hr	280.504	264.835	11.560	0.000	116.328	0.000
Mass Flow lb/hr	5053.367	7766.609	208.250	0.000	6216.631	0.000
Volume Flow cuft/hr	81.988	113.284	3.429	0.000	168.333	0.000
Enthalpy MMBtu/hr	-34.625	-37.755	-1.421		-9.331	
Mole Flow lbmol/hr						
METHANE	0.008	0.092	< 0.001		5.379	
ETHANE	0.001	0.029	< 0.001		7.738	
PROPANE	< 0.001	0.004	trace		13.580	
C4H10-01	trace	< 0.001	trace		4.688	
C4H10-02	trace	< 0.001	trace		12.881	
C5H12-01	trace	trace	trace		7.669	
C5H12-02	trace	trace	trace		9.183	
C6H14-01	trace	trace	trace		15.624	
C7H16-01	trace	trace	trace		12.161	
CO2	0.001	0.018	< 0.001		0.103	
H2S			trace		0.005	
H2O	280.494	196.711	11.559		27.318	
C2H6O-01		67.981				

	39	40	40-1	41	41-00	41-0
--	----	----	------	----	-------	------

Temperature F	-19.0	160.0	36.9	7.8	185.0	114.0
Pressure psia	230.00	30.00	30.00	200.00	200.00	200.00
Vapor Frac	0.000	0.000	0.000	0.000	0.000	0.000
Mole Flow lbmol/hr	241.946	388.912	388.912	506.781	506.781	506.781
Mass Flow lb/hr	7128.732	13539.442	13539.442	14895.342	14895.342	14895.342
Volume Flow cuft/hr	102.291	207.720	198.827	221.480	234.214	227.698
Enthalpy MMBtu/hr	-34.739	-57.689	-58.890	-72.493	-70.443	-71.292
Mole Flow lbmol/hr						
METHANE	0.026			0.118	0.118	0.118
ETHANE	0.021			0.051	0.051	0.051
PROPANE	0.002			0.006	0.006	0.006
C4H10-01	< 0.001			< 0.001	< 0.001	< 0.001
C4H10-02	< 0.001			< 0.001	< 0.001	< 0.001
C5H12-01	trace			trace	trace	trace
C5H12-02	trace			trace	trace	trace
C6H14-01	trace			trace	trace	trace
C7H16-01	trace			trace	trace	trace
CO2	0.011			0.029	0.029	0.029
H2S	0.003			0.003	0.003	0.003
H2O	179.017	240.612	240.612	375.728	375.728	375.728
C2H6O-01	62.865	148.300	148.300	130.846	130.846	130.846

Results Summary Streams Material

	41-1	41-2	41-3	41-4	42	43
--	------	------	------	------	----	----

Temperature F		23.9	24.4	24.8	44.5	73.4
Pressure psia		505.00	245.00	24.00	505.00	245.00
Vapor Frac		0.000	0.000	< 0.001	< 0.001	< 0.001
Mole Flow lbmol/hr	0.000	264.835	264.835	264.835	280.504	11.560
Mass Flow lb/hr	0.000	7766.609	7766.609	7766.609	5053.367	208.250
Volume Flow cuft/hr	0.000	115.893	115.904	132.905	80.905	3.348
Enthalpy MMBtu/hr		-37.755	-37.755	-37.755	-34.625	-1.421
Mole Flow lbmol/hr						
METHANE		0.092	0.092	0.092	0.008	< 0.001
ETHANE		0.029	0.029	0.029	0.001	< 0.001
PROPANE		0.004	0.004	0.004	< 0.001	trace
C4H10-01		< 0.001	< 0.001	< 0.001	trace	trace
C4H10-02		< 0.001	< 0.001	< 0.001	trace	trace
C5H12-01		trace	trace	trace	trace	trace
C5H12-02		trace	trace	trace	trace	trace
C6H14-01		trace	trace	trace	trace	trace
C7H16-01		trace	trace	trace	trace	trace
CO2		0.018	0.018	0.018	0.001	< 0.001
H2S						trace
H2O		196.711	196.711	196.711	280.494	11.559
C2H6O-01		67.981	67.981	67.981		

	44	46	46+47	46-1	47	47+46
--	----	----	-------	------	----	-------

Temperature F	111.0	150.0	107.0	110.1	150.0	51.2
Pressure psia	287.92	360.00	345.00	340.00	360.00	94.00
Vapor Frac	0.000	0.000	0.000	0.000	0.000	0.238
Mole Flow lbmol/hr	116.328	6389.980	10924.110	6389.980	4534.130	10924.110
Mass Flow lb/hr	6216.631	281775.881	481715.235	281775.881	199939.354	481715.235
Volume Flow cuft/hr	168.333	10873.158	16619.262	9787.692	7715.253	142865.520
Enthalpy MMBtu/hr	-9.331	-316.300	-557.577	-325.500	-224.436	-557.577
Mole Flow lbmol/hr						
METHANE	5.379					
ETHANE	7.738					
PROPANE	13.580	6389.980	10924.110	6389.980	4534.130	10924.110
C4H10-01	4.688					
C4H10-02	12.881					
C5H12-01	7.669					
C5H12-02	9.183					
C6H14-01	15.624					
C7H16-01	12.161					
CO2	0.103					
H2S	0.005					
H2O	27.318					
C2H6O-01						

Results Summary Streams Material

	47-1	48	49	49-1	50	50-2
--	------	----	----	------	----	------

Temperature F	102.6	51.2	51.2	-0.5	51.2	8.0
Pressure psia	360.00	94.04	94.04	38.00	94.04	44.76
Vapor Frac	0.000	< 0.001	< 0.001	0.177	< 0.001	0.152
Mole Flow lbmol/hr	4534.130	6305.711	2084.006	2084.006	3686.319	3686.319
Mass Flow lb/hr	199939.354	278059.907	91897.394	91897.394	162553.822	162553.822
Volume Flow cuft/hr	6833.278	8667.424	2864.540	46812.193	5066.976	61811.152
Enthalpy MMBtu/hr	-232.077	-332.147	-109.773	-109.773	-194.173	-194.173
Mole Flow lbmol/hr						
METHANE						
ETHANE						
PROPANE	4534.130	6305.711	2084.006	2084.006	3686.319	3686.319
C4H10-01						
C4H10-02						
C5H12-01						
C5H12-02						
C6H14-01						
C7H16-01						
CO2						
H2S						
H2O						
C2H6O-01						

	51	51-1	51-2	52	52-55	52-55-1
--	----	------	------	----	-------	---------

Temperature F	51.2	0.2	0.2	-0.5	-0.5	-19.8
Pressure psia	94.04	38.50	38.50	38.01	38.01	25.60
Vapor Frac	< 0.001	0.175	1.000	0.000	0.000	0.986
Mole Flow lbmol/hr	2619.392	2619.392	2619.392	1719.824	85.991	85.991
Mass Flow lb/hr	115506.085	115506.085	115506.085	75838.255	3791.913	3791.913
Volume Flow cuft/hr	3600.448	57540.031	312465.801	2197.954	109.898	14843.499
Enthalpy MMBtu/hr	-137.974	-137.974	-121.642	-92.897	-4.645	-4.024
Mole Flow lbmol/hr						
METHANE						
ETHANE						
PROPANE	2619.392	2619.392	2619.392	1719.824	85.991	85.991
C4H10-01						
C4H10-02						
C5H12-01						
C5H12-02						
C6H14-01						
C7H16-01						
CO2						
H2S						
H2O						
C2H6O-01						

Results Summary Streams Material

	53	55	55-0	55-1	57	58
Temperature F		-0.5	-20.9	-20.9	-20.9	-0.5
Pressure psia		38.01	25.00	25.00	24.98	38.01
Vapor Frac		0.000	0.063	1.000	1.000	1.000
Mole Flow lbmol/hr	0.000	1633.833	1633.833	1633.833	1719.570	6669.562
Mass Flow lb/hr	0.000	72046.342	72046.342	72046.342	75827.053	294104.453
Volume Flow cuft/hr	0.000	2088.057	20270.751	292345.072	307968.497	805314.397
Enthalpy MMBtu/hr		-88.252	-88.252	-76.310	-80.316	-309.782
Mole Flow lbmol/hr						
METHANE						
ETHANE						
PROPANE		1633.833	1633.833	1633.833	1719.570	6669.562
C4H10-01						
C4H10-02						
C5H12-01						
C5H12-02						
C6H14-01						
C7H16-01						
CO2						
H2S						
H2O						
C2H6O-01						

	59	60	60-0	60-2	61	62
Temperature F	51.2	222.2	150.0	150.0	249.0	155.0
Pressure psia	94.04	370.00	345.79	360.00	370.00	365.00
Vapor Frac	1.000	1.000	1.000	0.000	1.000	0.000
Mole Flow lbmol/hr	2534.394	10923.525	10923.525	10923.525	1567.180	1567.180
Mass Flow lb/hr	111757.935	481689.441	481689.441	481689.441	69107.179	69107.179
Volume Flow cuft/hr	127886.278	164190.849	132517.026	18587.416	25556.671	2711.619
Enthalpy MMBtu/hr	-116.124	-471.760	-491.229	-540.707	-66.614	-77.242
Mole Flow lbmol/hr						
METHANE						
ETHANE						
PROPANE		2534.394	10923.525	10923.525	1567.180	1567.180
C4H10-01						
C4H10-02						
C5H12-01						
C5H12-02						
C6H14-01						
C7H16-01						
CO2						
H2S						
H2O						
C2H6O-01						

Results Summary Streams Material

	62-2	63	64	65	65-00	65-1
--	------	----	----	----	-------	------

Temperature F	154.9	41.9	41.9	-29.8	-29.8	-29.8
Pressure psia	365.00	81.00	81.00	20.50	20.50	20.50
Vapor Frac	0.001	1.000	0.000	1.000	1.000	1.000
Mole Flow lbmol/hr	1567.180	780.299	786.881	786.881	786.881	786.881
Mass Flow lb/hr	69107.181	34408.465	34698.715	34698.715	34698.714	34698.714
Volume Flow cuft/hr	2728.640	45604.356	1066.124	169430.933	169446.151	169431.447
Enthalpy MMBtu/hr	-77.242	-35.838	-41.648	-36.843	-36.843	-36.843
Mole Flow lbmol/hr						
METHANE						
ETHANE						
PROPANE	1567.180	780.299	786.881	786.881	786.881	786.881
C4H10-01						
C4H10-02						
C5H12-01						
C5H12-02						
C6H14-01						
C7H16-01						
CO2						
H2S						
H2O						
C2H6O-01						

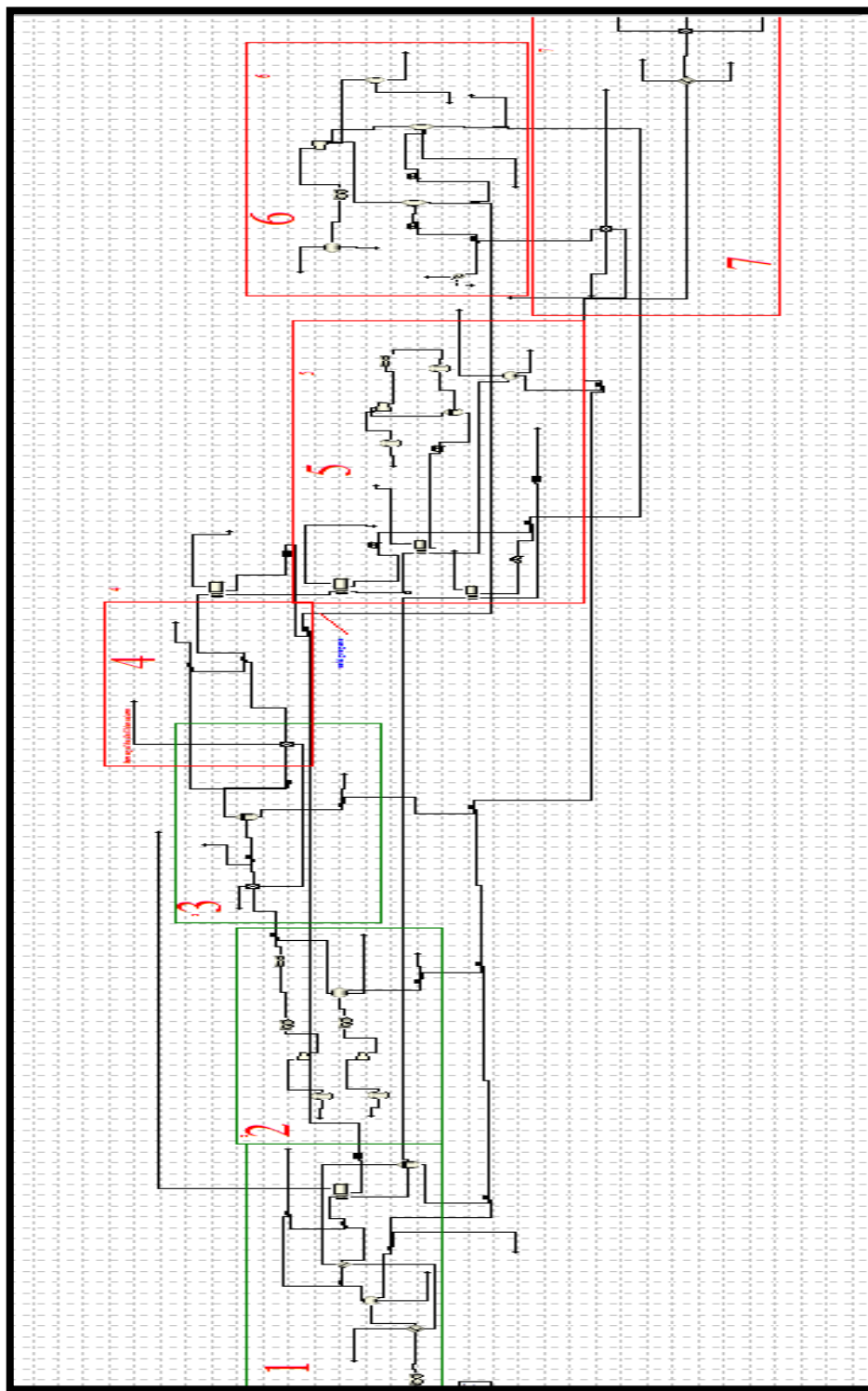
	408	409	641	5255	FROMP403	INTERMIT
--	-----	-----	-----	------	----------	----------

Temperature F	-0.5	51.2	-29.8	-19.8	31.0	
Pressure psia	38.01	94.04	20.50	25.60	350.00	245.00
Vapor Frac	0.000	0.000	0.226	0.060	0.000	
Mole Flow lbmol/hr	1719.824	8389.716	786.881	85.991	190.620	0.000
Mass Flow lb/hr	75838.255	369957.301	34698.715	3791.913	6638.500	0.000
Volume Flow cuft/hr	2197.954	11530.686	39118.070	997.359	97.329	0.000
Enthalpy MMBtu/hr	-92.897	-441.920	-41.648	-4.645	-28.892	
Mole Flow lbmol/hr						
METHANE						
ETHANE						
PROPANE	1719.824	8389.716	786.881	85.991		
C4H10-01						
C4H10-02						
C5H12-01						
C5H12-02						
C6H14-01						
C7H16-01						
CO2						
H2S					117.680	
H2O					72.740	
C2H6O-01						

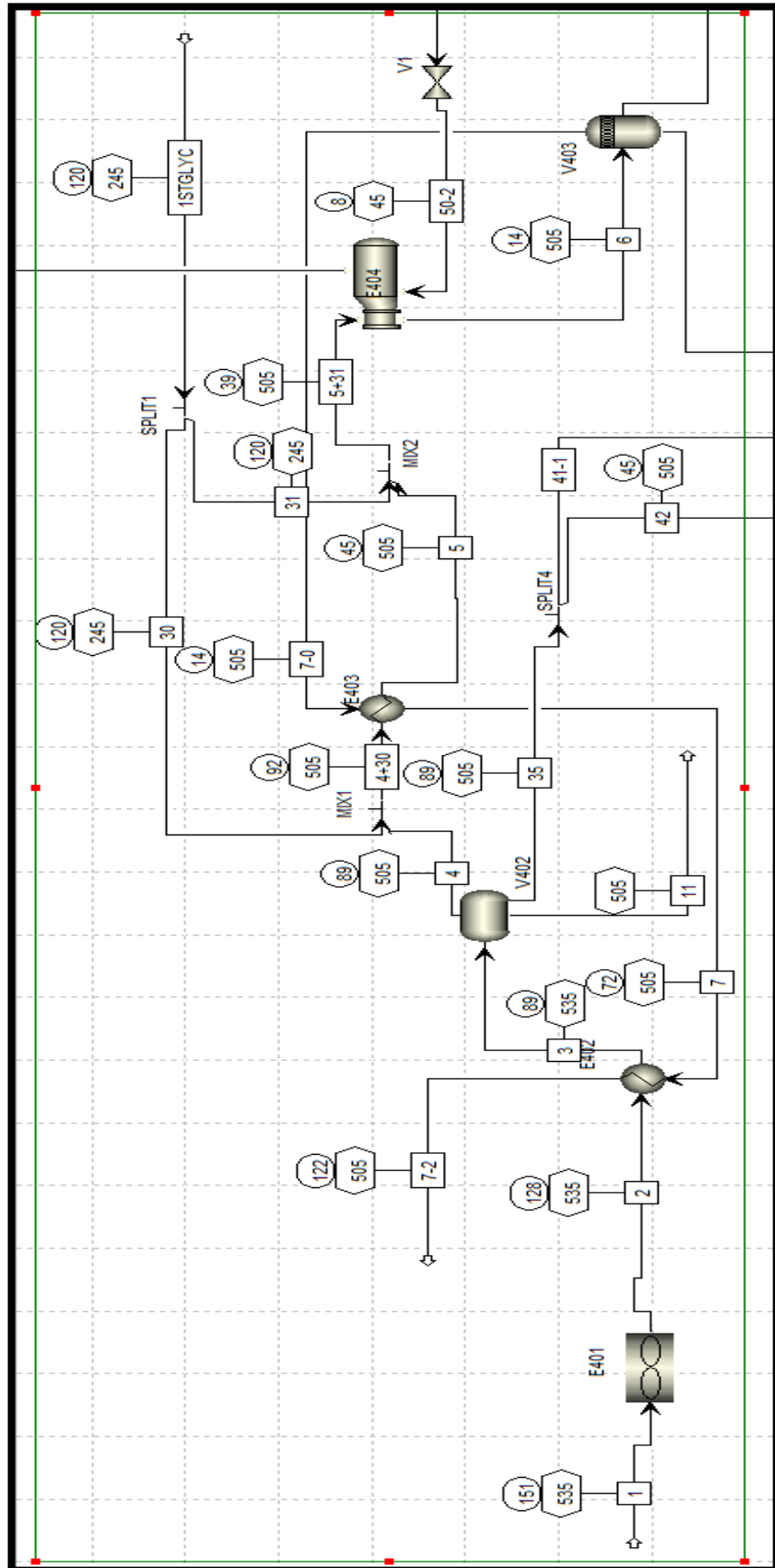
Results Summary Streams Material

	KK	KK-1	L	NONAME	PROP	PROPANE
Temperature F	260.0	255.4		8.0	-20.9	-0.5
Pressure psia	17.00	17.00	24.98	44.76	24.98	38.01
Vapor Frac	0.226	0.045		0.983	1.000	1.000
Mole Flow lbmol/hr	262.537	262.537	0.000	3686.319	1719.570	6305.380
Mass Flow lb/hr	10940.000	10940.000	0.000	162553.822	75827.053	278045.315
Volume Flow cuft/hr	26824.942	5493.847	0.000	374986.991	307968.497	761341.397
Enthalpy MMBtu/hr	-40.018	-40.868		-171.286	-80.316	-292.867
Mole Flow lbmol/hr						
METHANE						
ETHANE						
PROPANE				3686.319	1719.570	6305.380
C4H10-01						
C4H10-02						
C5H12-01						
C5H12-02						
C6H14-01						
C7H16-01						
CO2						
H2S						
H2O	121.563	121.563				
C2H6O-01	140.973	140.973				

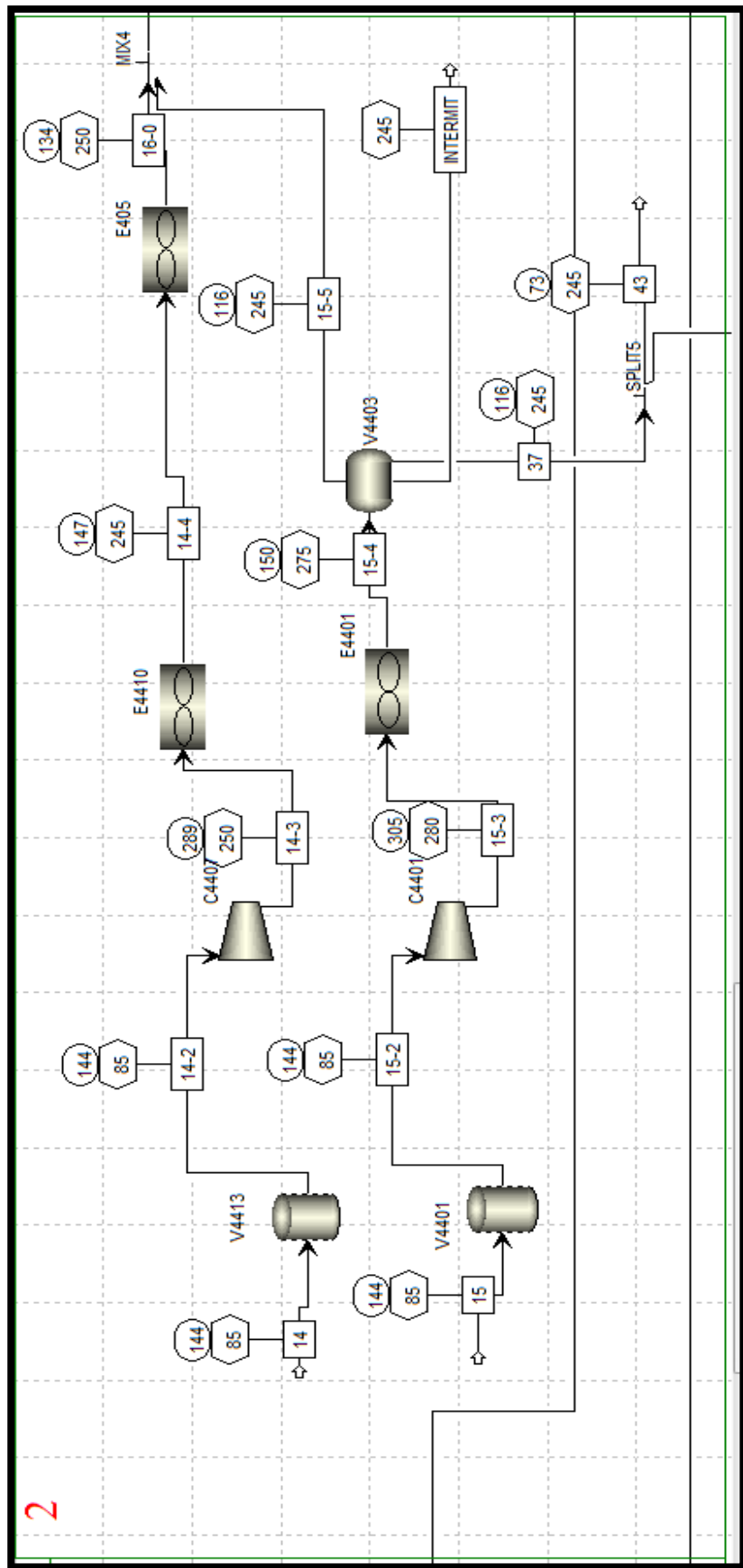
پیوست ۶ - سایت NGL400 شبیه سازی شده با اسپن پلاس



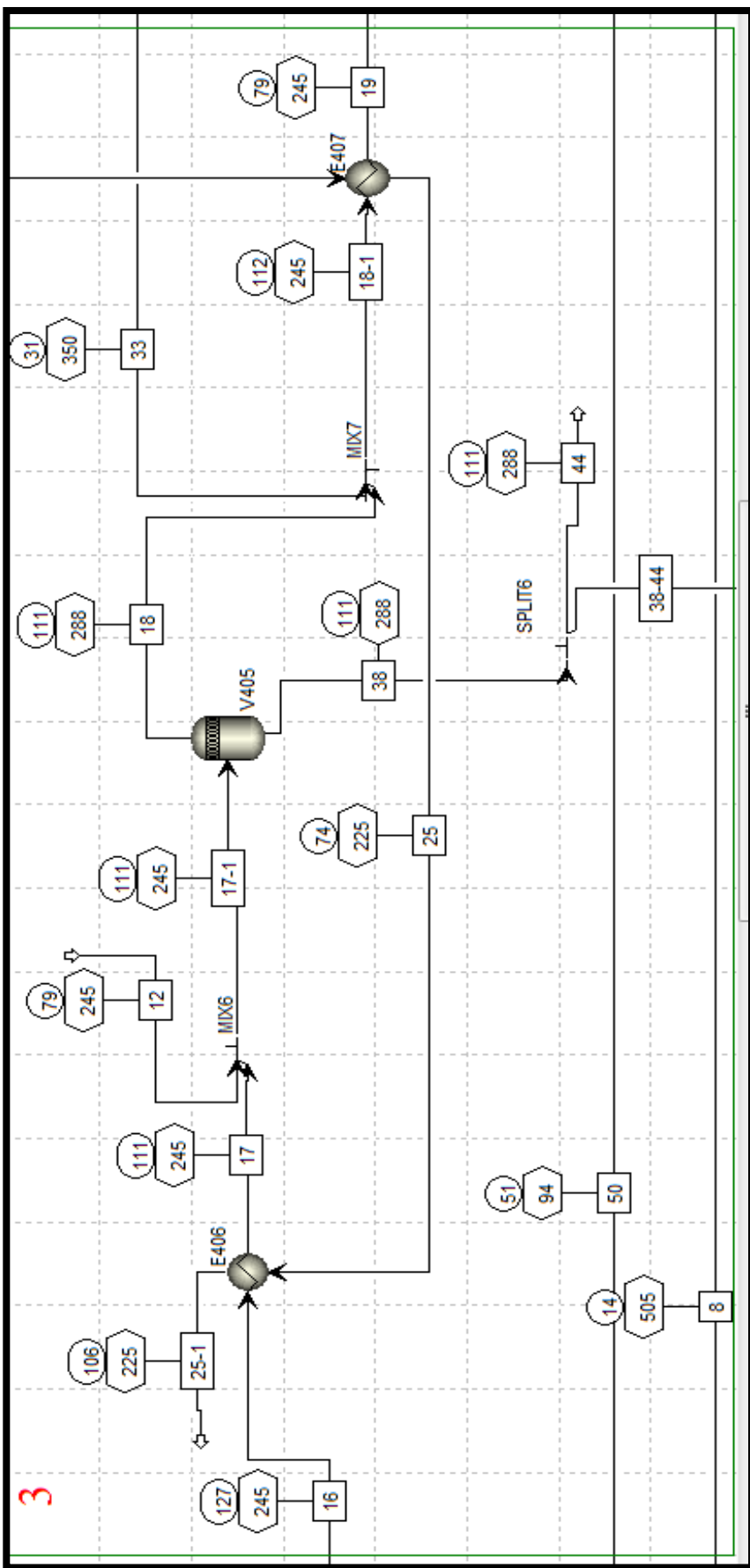
شکل (۱-۱) : نمای کلی سایت NGL شبیه سازی شده با برنامه اسپن پلاس



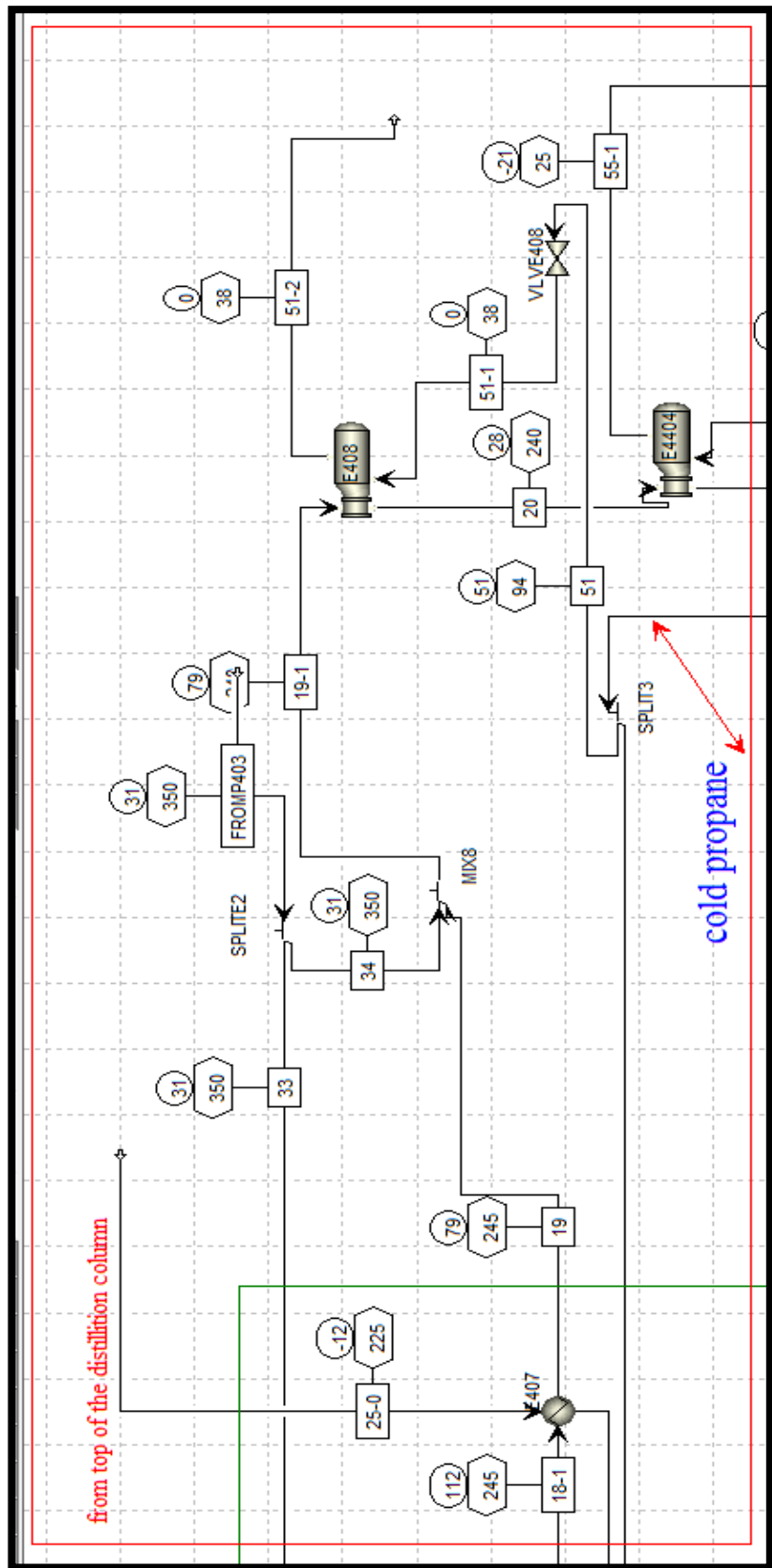
شکل (۱-۲) فلوشیت شبیه سازی شده با Aspen Plus



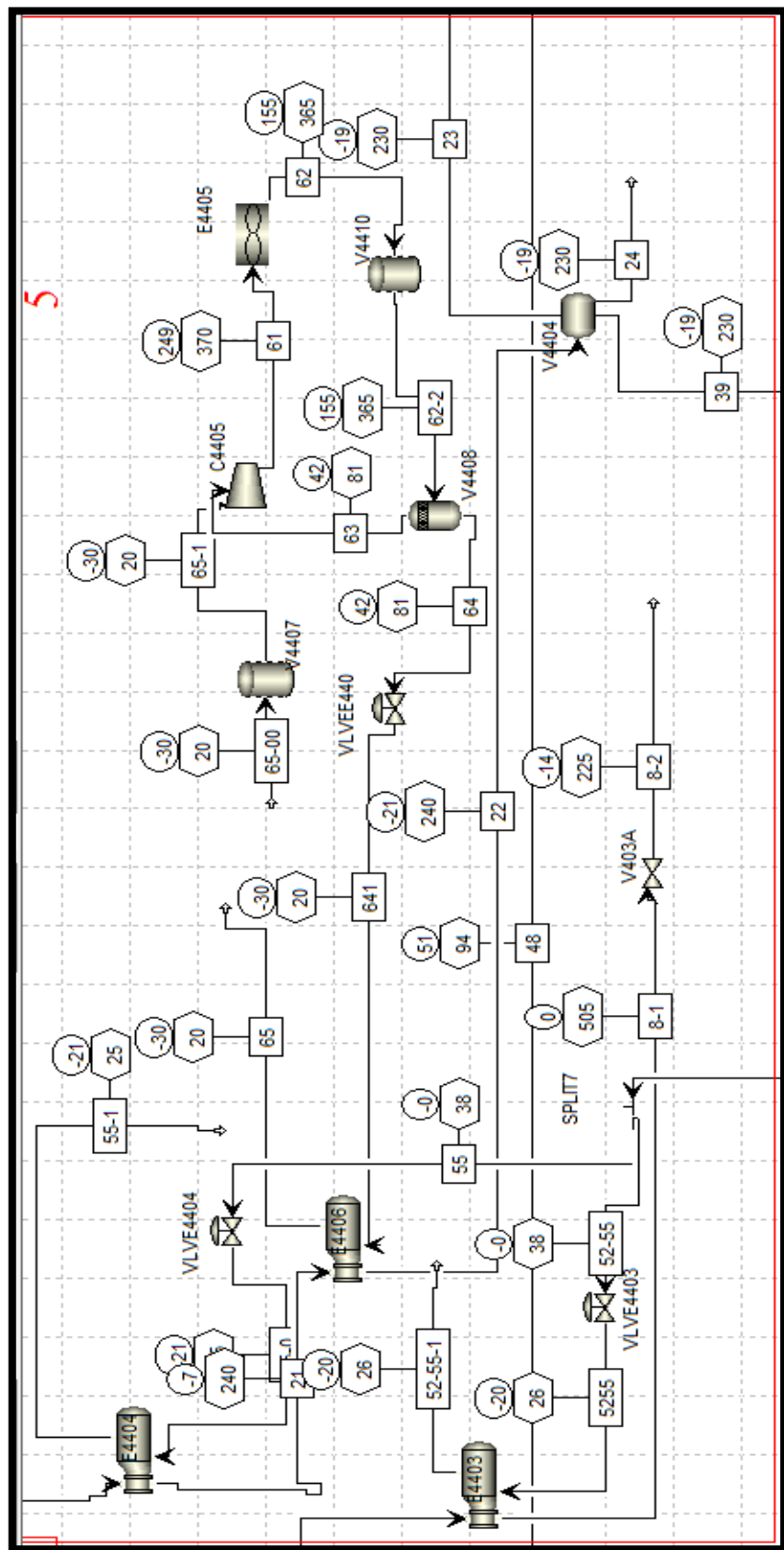
شکل (۳-۱) فلوشیت شبیه سازی شده با Aspen Plus



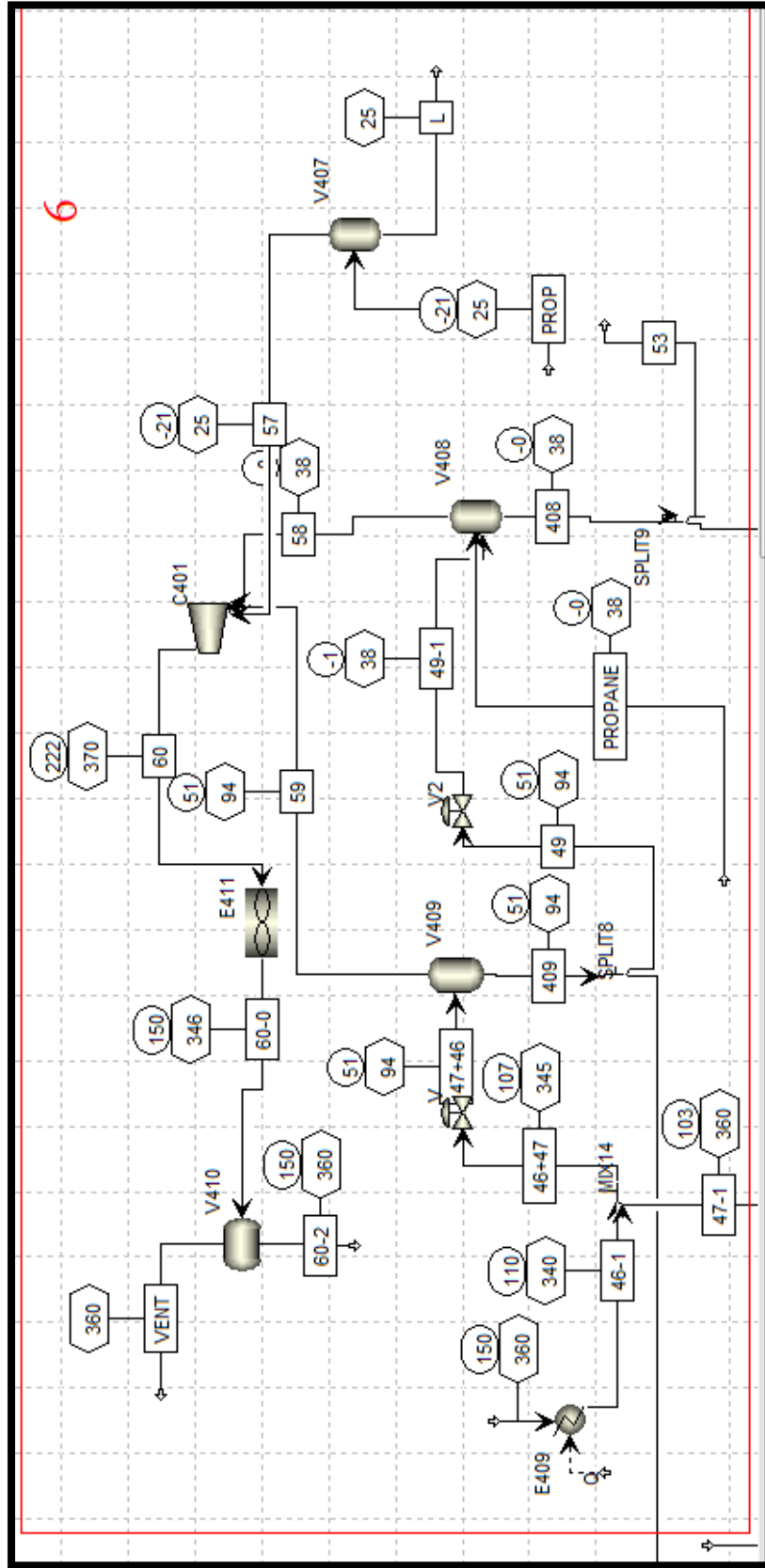
(3) Aspen Plus (4-1) فلوشیت شبیه سازی شده با



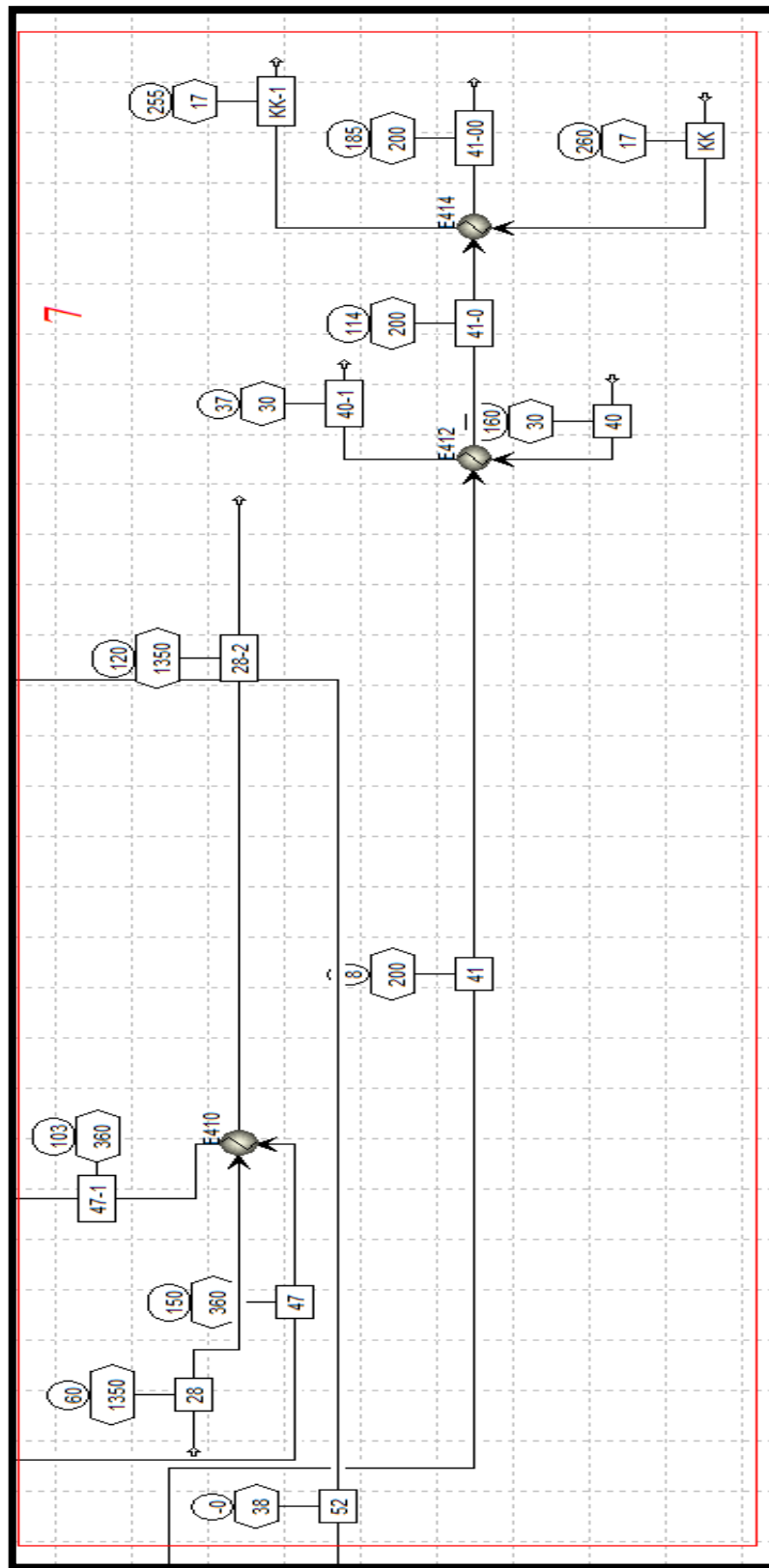
(4) شکل (۱-۵) فلوشیت شبیه سازی شده با Aspen Plus



شکل (6-۱) فلوشیت شبیه سازی شده با Aspen Plus



شکل (۶-۷) فلوشیت شبیه سازی شده با Aspen Plus



(7) شکل (۸-۱) فلوشیت شبیه سازی شده با Aspen Plus

منابع:

۱- دبیری ع-۱۳۶۳- آشنایی با کارخانه گاز و گاز مایع ۴۰۰ - شرکت ملی مناطق

نفتخیز جنوب-

۲- پنجه شاهی م ح-عتابی ف-عطایی آ-گلزاری ۵- ۲۰۰۷- بهبود عملکرد سیکل

حرارتی نیروگاه بخار شازند اراک با استفاده از تحلیل مرکب پینچ و اکسرژی -

بیست و دومین کنفرانس بین المللی برق

۳- آذرنوش ر- شهرکی ف- ۱۳۸۶- تحلیل پینچ اکسرژی برج تقطیر جهت کاهش

صرف انرژی - هفتمین همایش ملی، دانشجویی مهندسی شیمی ایران- دانشگاه

شیراز

۴- جعفری نصر م- شاهروندی م- ۱۳۸۴- بکارگیری فن آوری بهبود انتقال حرارت

در اصلاح شبکه مبدل های حرارتی به منظور افزایش کارایی انرژی- هشتمین

کنگره ملی مهندسی شیمی ایران-مشهد- دانشگاه فردوسی

۵- شیروانی پ- صنایع س- ۱۳۸۱- بررسی کاربرد روش بهینه سازی پینچ در نیروگاه

بخار - سومین همایش کیفیت و بهره وری در صنعت برق- تهران - پژوهشگاه نیرو

۶- لطفی ر- سنندجی ف- ۱۳۸۴- کاربرد آنالیز ترکیبی پینچ و اکسرژی در افزایش

توان نیروگاه های حرارتی تولید برق- دهمین کنگره ملی مهندسی شیمی- دانشگاه

سیستان و بلوچستان

۷- مهرپویا م- وطنی ع- ۱۳۸۴- پایان نامه کارشناسی ارشد - شبیه سازی و

بهینه سازی واحد NGL 1300 - تهران- دانشگاه تهران

8- Parisutkul S -Seimanond K- Chuvaree R -Laorrattanasak S- 2009- Improving Energy Efficiency of the Natural Gas Separation Plant by Pinch Analysis- CHEMICAL ENGINEERING TRANSACTIONS – VOL18- page 213-

- ۹- سنندجی ف - مولوی ح - ۱۳۸۳- طراحی و بهینه سازی فرایند ها با ،
B-Jac , Pinch
ناشر کاروان حله- نشر طراح- تهران - چاپ اول
- 10- Aspen Energy Analyzer user guide-2009 - Aspen technology ,
inc- USA
- ۱۱- عمیدپور م - ۱۳۸۳- احمدی دانش ح- پنجه شاهی م ح - استفاده از روش های
تجزیه کلی و جزئی در یکپارچه سازی شبکه مبدل های حرارتی مختلط و با در نظر
گرفتن عوامل اقتصادی- نشریه دانشکده فنی - دانشگاه تهران-
- 12- Mechanical Flow Diagram Of A Glycol Reconcentrator
& Overhead Condensate Units
- NGL 400 ۱۳ - پژوهشگاه صنعت نفت ، بخش انرژی- ممیزی انرژی تجهیزات واحد
سال ۱۳۸۷
- کریم زادگان ح - انرژی و محیط زیست - علوم تحقیقات - تهران-
- ۱۴- ۱۵- سعیدی م - ۱۳۸۴- مدیریت زیست محیطی نیروگاه ها- سازمان بهره وری انرژی
ایران - ناشر وزارت نیرو- چاپ اول
- 16- Kemp I C -2007-“Pinch Analysis and Process Integration” -
second edition- -Elsevier-New York-
- 17-Linnhoff M -1998- “ Introduction to PinchTechnology” -
Copyright - London –England
- ۱۸- عمید پور م - گوگل م - ۱۳۸۱- تکنولوژی پینچ (بهینه سازی انرژی)-جلد ۱ -
موسسه نشر جهاد- تهران- ویرایش اول-
- 19- www.bamdadgharn.ir/articles/41-financial-and-economic/93-pay-back-period.html
- 20- Process Flow Diagram N.G.L Marun plant PU:3- Unit
400- 520 MMSCFD Rich Gas Feed
- 21- http://www.engineeringtoolbox.com/fluids-evaporation-latent-heat-d_147.html
- 22- http://www.engineeringtoolbox.com/ethylene-glycol-d_146.html

23- Aspen Energy Analyzer – 2009- Reference guide- Aspen technology , inc- USA-

ABSTRACT :

Since 30 years ago, industrialized Countries using from pinch analyze to designation and retrofitting their site plans of companies and factories that had high levels of Energy consumption, like fuel and heat.

Of course that pinch analyze was used in many of third world, but it wasn't a great position that it must be. With using this modern technology we can decrease the energy consumption and hot and cold utilities in high level.

In this case study, we could decrease the heating and electrical energy with using the pinch technology and heat recovery. And as decrease amounts of emission costs.

In this feasibility study, at first, NGL400 site plan was simulated with Aspen Plus 7.1 and then extract the data with Aspen Energy Analyzer 7.1 from Aspen Plus. With study the result from these datas , estimated that there is a large amounts of heatlosses in process and hot smoke that exit from the exhaust of gas turbine, without using its heat.

For heat recovery from this gas, we must use much as possible processing heat transferring instead of fuel consumption and hot and cold utilities. We study this topic with editing the heat exchanger network.

Finally, for assay the economical of this project , with calculating amounts of energy and cost saving and the prices of heat exchangers, estimate the pay back period and determined that are these offers effective or not!



Shahrood University of Technology

Faculty of Mechanical Engineering

Study of using pinch analysis to decreasing energy consumption in NGL400 unit of NISOC

Gholamreza Ghoshouni

Supervisor:

Prof As. Mahmood Chahartaghi

Advisor :

Prof As. Salem Banooni

Feb - 2013